

JAERI - M

86-197

高転換軽水炉格子の燃焼パラメータ・  
サーベイ

1987年2月

秋江 拓志・石黒 幸雄・井戸 勝\*

日本原子力研究所  
Japan Atomic Energy Research Institute

JAERI-M レポートは、日本原子力研究所が不定期に公刊している研究報告書です。  
人手の問合せは、日本原子力研究所技術情報部情報資料課（〒319-11 茨城県那珂郡東海村）  
あて、お申しこしください。なお、このほかに財団法人原子力弘済会資料センター（〒319-11 茨城  
県那珂郡東海村日本原子力研究所内）で複写による実費頒布をおこなっております。

JAERI-M reports are issued irregularly.

Inquiries about availability of the reports should be addressed to Information Division, Department  
of Technical Information, Japan Atomic Energy Research Institute, Tokai-mura, Naka-gun,  
Ibaraki-ken 319-11, Japan.

© Japan Atomic Energy Research Institute, 1986

---

編集兼発行 日本原子力研究所  
印 刷 山田軽印刷所

## 目 次

1. まえがき	1
2. 格子モデルと計算条件	2
3. 計算結果	9
4. 燃料組成の影響	23
5. 2種類の燃料棒からなる格子モデル	25
6. まとめ	31
謝　　辞	32
参考文献	33
付　　録	35
1. 燃焼計算結果	35
2. ボイド反応度計算結果	58

## Contents

1. Introduction .....	1
2. Lattice Model and Calculation Conditions .....	2
3. Calculated Results .....	9
4. The Effect of Fuel Composition on Burnup or Void Characteristics .....	23
5. Lattice Model with Two Rods .....	25
6. Conclusions .....	31
Acknowledgement .....	32
References .....	33
Appendices .....	35
1. Results of Depletion Calculations .....	35
2. Results of Void Reactivity Calculations .....	58

高転換軽水炉格子の燃焼パラメータ・サーベイ

日本原子力研究所東海研究所原子炉工学部

秋江拓志・石黒幸雄・井戸 勝\*

(1986年12月26日受理)

高転換軽水炉（HCLWR）の概念成立の可能範囲を明確にし核特性の概要を把握する上で参考とするデータを得るため、HCLWR格子モデルに対する燃焼計算を行なった。プルトニウム富化度、減速材対燃料体積比、燃料ピン径等の格子パラメータを広範囲に変化させ、それ等と燃焼度、転換率、核分裂性Puインベントリ、ボイド反応度等との関係をパラメトリックにサーベイした。

---

東海研究所：〒319-11 茨城県那珂郡東海村白方字白根2-4

\* 株式会社アイ・エス・エル

Parameter Survey for Burnup of High Conversion  
Light Water Reactor Lattice

Hiroshi AKIE, Yukio ISHIGURO and Masaru IDO\*

Department of Reactor Engineering  
Tokai Research Establishment  
Japan Atomic Energy Research Institute  
Tokai-mura, Naka-gun, Ibaraki-ken

(Received December 26, 1986)

Burnup calculations were made on a lattice model for high conversion light water reactor (HCLWR) in order to assess the feasibility of HCLWR concept and to obtain reference data on considering its neutronic characteristics. In these calculations, lattice parameters such as Pu enrichment, moderator to fuel volume ratio and fuel pin diameter are widely and parametrically changed to survey the relations between these parameters and the basic characteristics of the lattice, i.e. burnup, conversion ratio, fissile Pu inventory, void reactivity and so on.

Keywords : HCLWR, Lattice Parameters, Conversion Ratio, Burnup,  
Fissile Pu Inventory, Void Reactivity, Parametric Survey

---

\* I.S.L. Co. Ltd.

## 1. まえがき

高速炉の本格的導入時期が大幅に遅れることがほぼ確実となり、軽水炉利用の長期化の見通しが定着しつつある。このような動向に対処するため、天然U及び再処理Puを一層有効に利用できる高転換軽水炉（HCLWR）の開発が期待されている。HCLWRにおいては、MOX燃料を使用し、予想される転換率は0.8～0.9程度であり、従来の軽水炉の0.55に比べ、資源有効利用率は優れている。さらに、Puサーマルに比べ、燃焼によるPu同位体元素組成中の核分裂核種の劣化が少ないとにより核分裂性Puの目減りが少なく、HCLWRはPu貯蔵炉と呼び得る特性を持っている。従って、Puの保有制限による高速炉導入制約を少なくでき、軽水炉から高速炉への柔軟な橋渡しの役目を果すものとして関心を集め、近年各国・各機関において積極的に開発研究が行われている<sup>1), 2)</sup>。

これまで提案されているHCLWRの概念設計に用いられた核計算は、FBR又はLWRに対して開発された標準的なセル・スペクトル計算コードを改良して行われている。しかし、これ等の解析手法の実験的な検証が充分なされているとはいえないのが現状である。1981年の夏以来スイスのEIRのPROTEUS臨界実験施設で、 $PuO_2/UO_2$ の稠密格子に対する適当な積分ベンチマーク問題設定のための実験研究が精力的になされてきた<sup>3)</sup>。ここでは、減速材のボイド率を変えて $k_{\infty}$ 及び各種の中心反応率比などが測定されており、ボイド反応度係数に主眼を置いた実験がなされている。これらの測定値に対して世界各国で行われた解析の結果がChawlaによってまとめられている<sup>4)</sup>。この報告によれば、HCLWR系での解析結果は、LWR格子系での積分量に対して一般的に得られている予測精度に比べてはるかに悪いものであると結論されている。特に、実験値に対する予測値の比（C/E）がボイド率に大きく依存しており、計算された中性子スペクトルが実験体系内のスペクトルを充分再現していないと見なすべきであろう。

一方、EIRでは、1つのレファレンスHCLWR格子に対して、データ及び手法の冷却材ボイド係数の予測値に対する不確定性を調べる目的で、ベンチマーク計算が行われた<sup>5)</sup>。その結果、減速材密度の関数としての $k_{\infty}$ の変化は種々のデータ及び手法間で大きくバラつき、HCLWR系のATWS計算等の動特性解析に関して動特性的振舞いの予測に大きな影響があることが示された。このように、少なくとも1985年以前に整備された核設計コードに基づいて設計されたHCLWR概念は、信頼性に乏しく再検討の必要があると判断される。

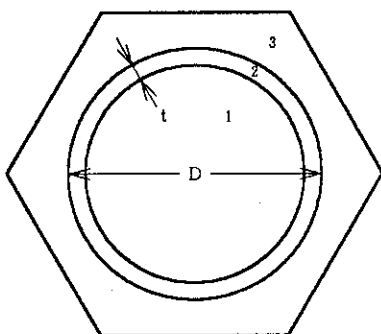
新らしい原子炉の核特性を把握するためには、まず、炉心の主要パラメータである核分裂性核種の濃縮度（富化度）、燃料ピン直径（D）対ピン・ピッチ（P）の比P/D等を変数とするパラメータ・サーベイを主な炉物理特性量に対して行う必要がある。ここでは、HCLWRの核特性の概要を把握するとともに、そのエネルギー戦略上の位置付けを考えるうえでの参考データを得るために、HCLWR格子モデルに対する格子燃焼パラメータ・サーベイを行った。特に、HCLWRの概念成立の可能な範囲を明確にすることが本サーベイ計算の主要な目的である。なお、燃焼計算はSRACシステム<sup>6)</sup>を用いて行った。ChawlaのPROTEUSの実験解析のまとめにおいて、このシステムは実験値の予測精度が総合的に最も高いと評価されたものである<sup>4)</sup>。その後もSRAC

システムの改良が進められる一方、MAPI及びNAIGとの研究協力<sup>7), 8)</sup>によって、信頼度がさらに高まっていると考えられる。

HCLWRの概念、その目標や諸問題に関しては文献9)および10)、あるいは第18回炉物理夏期セミナーテキスト<sup>11)</sup>等の解説を参照されたい。なお文献11)には本サーベイ計算の予備的な結果についてもまとめてある。

## 2. 格子モデルと計算条件

HCLWRでは同じ燃料ピンピッチで正方格子よりも減速材 / 燃料体積比を小さくできる六角格子がこれまでの設計例で採用されている。本計算においても格子モデルはFig.1 にあるように、燃料、被覆管、減速材の3領域からなる六角格子とした。その諸元をTable 1に、各材質の組成をTable 2に示す。



- 1.  $\text{PuO}_2 + \text{UO}_2$
- 2. Stainless steel or Zr
- 3.  $\text{H}_2\text{O}$

Fig. 1 Unit cell of hexagonal lattice

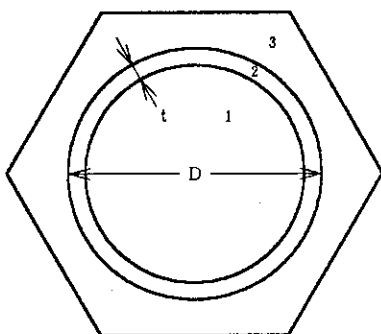
燃料としては、減損U(0.2% U-235)とPu(Am-241を含む)からなるMOX燃料を仮定した。ここで燃料組成、特にPuの組成はHCLWRの核特性上重要である。例えばPu-240及びPu-242の割合が増えるとこれらの核種の数eVの共鳴吸収の重要性が増し、ボイド特性は悪化する。Pu-241は $\eta$ 値の高い非常に良い核分裂性核種であるが、一方14.4年という比較的短い半減期を持つ。一般には軽水炉燃料の燃焼度、炉外取り出し後の冷却期間や再処理の時期によってPuの組成は決定されるが、本サーベイ計算では3.2%濃縮UをPWRで33GWD/t燃焼させた後、再処理前3年再処理後2年冷却させたものを用いた(Table 1)。これは、西独GKSSによる3.2%濃縮Uを33GWD/t燃焼させ、炉外で1年冷却したという組成<sup>12)</sup>をもとに、再処理前のPu-241の崩壊(半減期14.4年)及び再処理後のPu-241の崩壊とAm-241の生成を考慮して求めたものである。なお、燃料ペレット一被覆管間のギャップは燃料領域に含めて燃料は被覆管内に均一に存在させた。

システムの改良が進められる一方、MAPI及びNAIGとの研究協力<sup>7), 8)</sup>によって、信頼度がさらに高まっていると考えられる。

HCLWRの概念、その目標や諸問題に関しては文献9)および10)、あるいは第18回炉物理夏期セミナーテキスト<sup>11)</sup>等の解説を参照されたい。なお文献11)には本サーベイ計算の予備的な結果についてもまとめてある。

## 2. 格子モデルと計算条件

HCLWRでは同じ燃料ピンピッチで正方格子よりも減速材 / 燃料体積比を小さくできる六角格子がこれまでの設計例で採用されている。本計算においても格子モデルはFig.1 にあるように、燃料、被覆管、減速材の3領域からなる六角格子とした。その諸元をTable 1に、各材質の組成をTable 2に示す。



- 1.  $\text{PuO}_2 + \text{UO}_2$
- 2. Stainless steel or Zr
- 3.  $\text{H}_2\text{O}$

Fig. 1 Unit cell of hexagonal lattice

燃料としては、減損U(0.2% U-235)とPu(Am-241を含む)からなるMOX燃料を仮定した。ここで燃料組成、特にPuの組成はHCLWRの核特性上重要である。例えばPu-240及びPu-242の割合が増えるとこれらの核種の数eVの共鳴吸収の重要性が増し、ボイド特性は悪化する。Pu-241は $\eta$ 値の高い非常に良い核分裂性核種であるが、一方14.4年という比較的短い半減期を持つ。一般には軽水炉燃料の燃焼度、炉外取り出し後の冷却期間や再処理の時期によってPuの組成は決定されるが、本サーベイ計算では3.2%濃縮UをPWRで33GWD/t燃焼させた後、再処理前3年再処理後2年冷却させたものを用いた(Table 1)。これは、西独GKSSによる3.2%濃縮Uを33GWD/t燃焼させ、炉外で1年冷却したという組成<sup>12)</sup>をもとに、再処理前のPu-241の崩壊(半減期14.4年)及び再処理後のPu-241の崩壊とAm-241の生成を考慮して求めたものである。なお、燃料ペレット一被覆管間のギャップは燃料領域に含めて燃料は被覆管内に均一に存在させた。

Table 1 Cell specification

<u>fuel</u>	(Pu02 + U02)
<u>U composition (%)</u>	
U-235	0.2
U-238	99.8
<u>Pu composition (%)</u>	
Pu-239	57.5
Pu-240	24.5
Pu-241	10.6
Pu-242	6.3
Am-241	1.1
<u>fissile Pu enrichment (%)</u>	5.0 , 6.0 , 7.0 , 8.0 , 9.0
<u>cladding</u>	(zircaloy or stainless steel)
outer diameter (cm)	0.85 , 0.95 , 1.05
thickness (cm)	0.06 (for Zry) , 0.04 (for SUS)
<u>moderator</u>	(H2O)
void fraction (%)	0.0 , 100.0
<u>moderator/fuel</u>	
volume ratio	0.6 , 0.7 , 0.8 , 0.9 , 1.0 (for SUS) 0.9 , 1.0 , 1.1 , 1.4 (for Zry)

Table 2 Composition of each material ( $10^{24} / \text{cm}^3$ )

(a) fuel

nuclide	5% Puf	6% Puf	7% Puf	8% Puf	9% Puf
U235	4.099E-5	4.035E-5	3.971E-5	3.908E-5	3.844E-5
U238	2.020E-2	1.988E-2	1.957E-2	1.925E-2	1.894E-2
Pu239	9.018E-4	1.082E-3	1.263E-3	1.443E-3	1.623E-3
Pu240	3.836E-4	4.603E-4	5.370E-4	6.137E-4	6.904E-4
Pu241	1.660E-4	1.992E-4	2.325E-4	2.657E-4	2.989E-4
Pu242	9.827E-5	1.179E-4	1.376E-4	1.572E-4	1.769E-4
Am241	1.678E-5	2.014E-5	2.349E-5	2.685E-5	3.020E-5
O	4.361E-2	4.361E-2	4.360E-2	4.360E-2	4.359E-2

(b) cladding

nuclide	Zry	SUS	
Zr	4.290E-2	-	(Zr natural)
Fe	-	5.960E-2	(Fe natural)
Cr	-	1.740E-2	(Cr natural)
Ni	-	8.100E-3	(Ni natural)
Mn	-	8.660E-4	

(c) moderator

nuclide	H2O+SUS
H	4.403E-2
O	2.201E-2
Fe	3.577E-3
Cr	1.043E-3
Ni	4.859E-4
Mn	5.195E-5

被覆管はステンレス・スチール (SUS) あるいはジルカロイ (Zry)とした。ステンレス被覆管は強度的にジルカロイ被覆管に勝るため、ピッチの狭いより稠密な格子でのLOCA時の被覆管の膨れによる流路閉塞の問題は軽減するとされている<sup>13)</sup>。一方、ジルカロイはFig.2に見られるように100 eV以下の中性子捕獲がステンレスに比べてはるかに小さい。稠密度の低い格子は、被覆管の膨れの問題が軽減され、かつスペクトルが柔らかくなるためジルコニウム被覆管が有利となる。これらの理由から稠密な格子ではステンレス被覆管を、稠密度が低くなるとジルコニウム被覆管を用いた (Table 1)。在来軽水炉の被覆管の使用例及びこれまでのHCLWRの設計例から、被覆管厚はステンレス 0.04 cm ジルカロイ 0.06 cmとした。なお、この厚さのステンレスとジルカロイは稠密格子炉では核的に等価であるという計算結果がある<sup>13)</sup>。

減速材は、ヘリカル・フィンまたはワイヤ・スペーサ、燃料集合体内の制御棒案内管等の構造材を考慮するため、ステンレスを減速材体積の6%分軽水に溶かし込んだものとした。ジルカロイ被覆管を用いた場合でも構造材はステンレスとしたが、上でも述べたようにステンレスの方が中性子吸収が大きいので、燃焼特性等はより控え目な結果を与えるものと思われる。軽水の密度は運転状態のPWRの水の温度 (~ 580K) と圧力 (~ 1.55 × 10<sup>7</sup> Pa) 条件下のものに相当する 0.7 g/cm<sup>3</sup>とした。

計算上の各領域の温度は運転時を考えて燃料 900 K、被覆管と減速材を 600 Kとした。

サーベイを行った格子パラメータは次の通りである。

D : 燃料ピン外径 (cm)

$V_m / V_f (R_v)$  : 減速材体積 ( $V_m$ ) / 燃料体積 ( $V_f$ )

E : 初装荷時の燃料の核分裂性 Pu 富化度 (%)

ただし、ここで  $V_m$  は減速材中に溶かし込んだ構造材の分を除いた体積、 $V_f$  は被覆管内の体積である。サーベイ範囲はTable 1にある通りで、さきにも述べたように、 $V_m / V_f$  によって被覆管材質を変えてあるが、 $V_m / V_f = 0.9$  と 1.0 については、ステンレスとジルカロイの両方について計算を行った。また、核分裂性 Pu 富化度については、 $V_m / V_f$  に応じて適当な燃焼度を確保する条件のもとで 5% ~ 9% の範囲から選んだ。

さらに、減速材ボイド反応度の様子を検討するために、各計算ケースにおいて減速材をボイド状態にした計算も行った。実際の計算では減速材の数密度を0%ボイド時の0.01%にして100%ボイド状態に対応するものとした。各ケースの燃焼計算の0及び50 GWD/t燃焼時点で減速材をボイド状態にした計算を行い、ボイド特性の燃焼依存性についても調べた。

本サーベイにおける格子燃焼計算は原研のSRACシステムを用いた。HCLWR系は軽水炉ともあるいは高速炉とも異なる中性子スペクトルを有しており、特に、共鳴エネルギー領域の重要性が非常に高い。SRACシステムでは実効共鳴断面積の計算法として3種類が用意されているが、本計算では超詳細群に対する衝突確率法による中性子スペクトル計算ルーチンPEACO<sup>14)</sup>を用いる方法を採用した。SRACシステムによるスイスEIRのPROTEUS炉実験解析<sup>15)</sup>における連続エネルギー・モンテカルロ・コードVIMとの比較に見られるように稠密格子系におけるPEACOの計算精度は他の2つの方法に比べて最も高いと考えられる。ただし、PEACOルーチンを用いる方法は中性子エネルギー  $E < 131$  eVでのみ使用可能であり（現在は  $E < 275$  eVまで可能<sup>16)</sup>）それ以上のエネルギー領域ではNR近似に基づくTable—look—up法を用いている。

これらの方針により得られた多群実効断面積を用いて多群格子スペクトルが衝突確率法により計算される。用いたエネルギー群構造はTable 3にある通り高速群(10MeV ~ 0.683 eV) 66群、熱群(0.683 eV ~ 10<sup>-5</sup> eV) 20群である。群定数ライブラリーはJENDL-2に基づいて作成されたSRACLIB-JENDL 2<sup>17)</sup>を使用した。

格子計算においては各ケースに応じて炉心の大きさを想定しバックリングB<sup>2</sup>を決めて中性子のもの影響を考慮した。ここでB<sup>2</sup>は、炉心半径Rを195cmに固定し炉心高さHを以下のようにして決め、 $B^2 = (\pi / H)^2 + (2.405 / R)^2$ として決定した。格子の燃料ピンピッチPはピン径をD、体積比V<sub>m</sub>/V<sub>f</sub>をR<sub>v</sub>、被覆管厚さをt、減速材領域の構造材の体積割合をxとすると

$$P = \sqrt{\frac{2}{\sqrt{3}} \left[ \frac{\pi D^2}{4} + R_v \frac{\pi (D - 2t)^2}{4} \frac{x}{1-x} \right]}$$

となる。一方、燃料ピンの平均線出力をq'、炉心の全熱出力をQとすると燃料ピンの炉心内の総延長はQ/q'となる。従って炉心体積は

$$\pi R^2 H = \frac{Q}{q'} \frac{\sqrt{3} P^2}{2}$$

となりHを計算できる。ここでは、Q=3400MW、q'=160W/cmという値を採用してB<sup>2</sup>を決めた。線出力密度は炉心の熱設計上重要なパラメータであり燃料中心温度によって制限を受ける。160W/cmという値は出力ピーキング・ファクター等を考慮しても中心温度≤2100°C程度におさまると考えられ、現行PWR(~180W/cm)や種々のHCLWR設計例と比較しても充分現実的である。Fig. 3にV<sub>m</sub>/V<sub>f</sub>と上の方法で求められた炉心高さHの関係をピン径Dをパラメータとして示す。

燃焼計算においては、各燃焼ステップでの格子計算に引き続き、一定出力のもとでそれぞれの燃焼チェーンに沿って各核種の数密度の燃焼変化が計算される。SRACシステムにおいては、燃焼チェーンに沿った各核種の数密度の時間変化を表わす燃焼方程式の解析的な解を用いることによって数値解法による誤差を避けるというCITATIONコードと同様の方法<sup>18)</sup>を用いている。

HCLWRでは転換率が高いため、燃焼反応度損失は核分裂性核種の減少によるよりも主としてF.P核種の蓄積によって起こる。また、燃焼度が高くなると、AmやCmなどのアクチナイトの影響も無視できない。SRACでは、F.Pの燃焼チェーンとしていくつかのチェーンモデルから選択できるようになっている。本サーベイ計算では45F.P核種と1つの擬似F.P核種を扱う飯島等のモデル<sup>19)</sup>を用いた(Fig. 4)。重核種のチェーンについては文献20)にあるものからFig. 5に示されている、AmやCmを含むより詳細なチェーン<sup>6), 21)</sup>に改良されたものを用いた。

SRACシステムにおける群定数作成法は文献(17)を、格子スペクトル計算法あるいは燃焼計算等の詳細は文献(6)を参照して頂きたい。

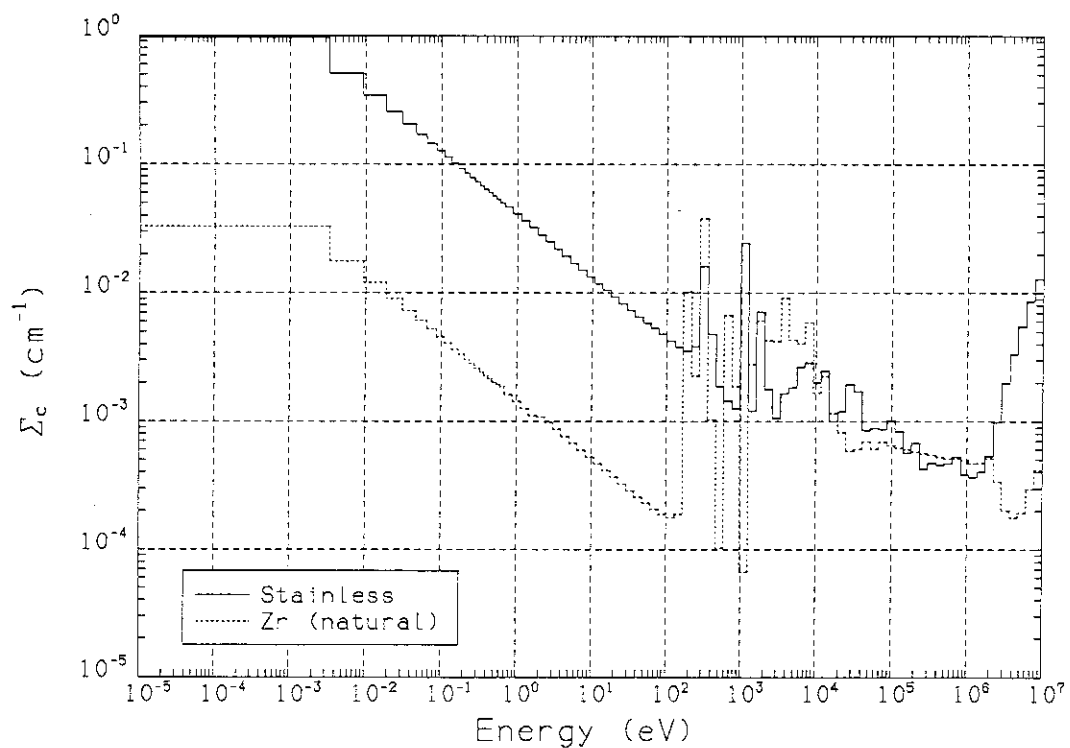


Fig. 2 Macroscopic capture cross sections of cladding materials

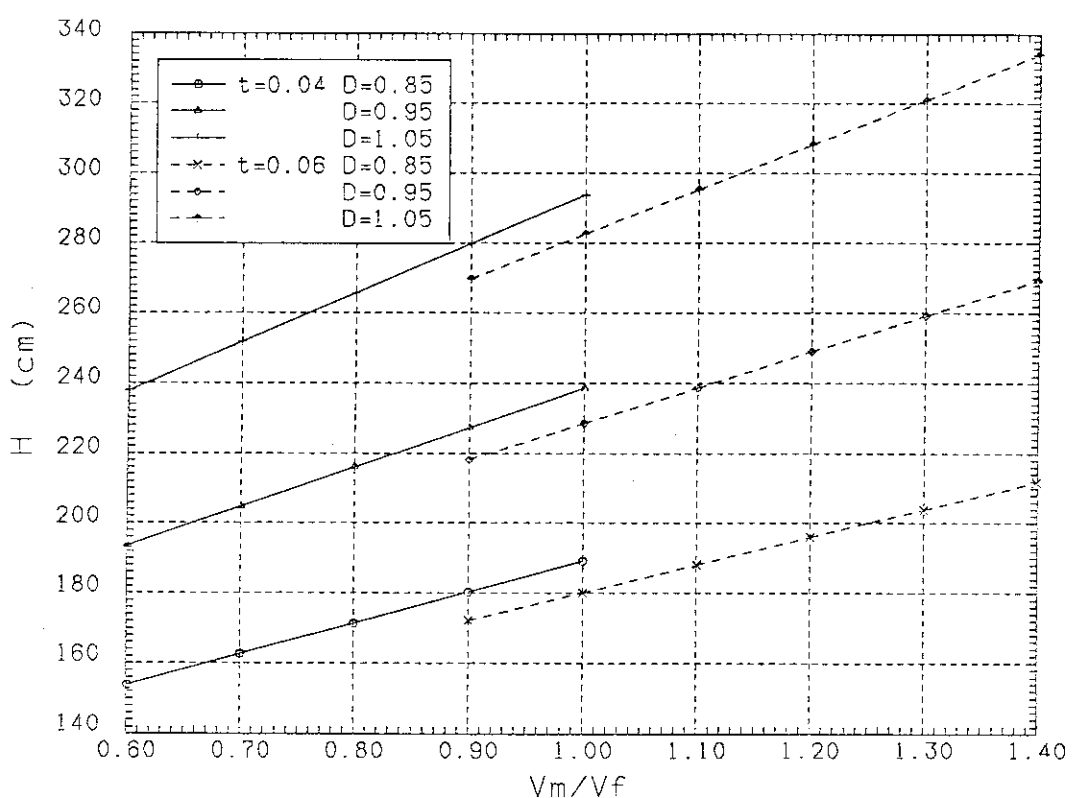
Fig. 3  $V_m/V_f$  vs core height decided by linear heat  $q' = 160 \text{ W/cm}$  and core power  $Q = 3400 \text{ MWt}$

Table 3 Energy Group Structure of User Library.

Total number of users fast groups ..... 66  
 Total number of users thermal groups .... 20

group	E <sub>upper</sub> (ev)	ΔU	group	E <sub>upper</sub> (ev)	ΔU
<<< fast >>>					
1	0.10000E+08	0.2500	45	0.16702E+03	0.2500
2	0.77880E+07	0.2500	46	0.13007E+03	0.2500
3	0.60653E+07	0.2500	47	0.10130E+03	0.2500
4	0.47237E+07	0.2500	48	0.78893E+02	0.2500
5	0.36788E+07	0.2500	49	0.61442E+02	0.2500
6	0.28651E+07	0.2500	50	0.47851E+02	0.2500
7	0.22313E+07	0.2500	51	0.37266E+02	0.2500
8	0.17377E+07	0.2500	52	0.29023E+02	0.2500
9	0.13534E+07	0.2500	53	0.22603E+02	0.2500
10	0.10540E+07	0.2500	54	0.17604E+02	0.2500
11	0.82085E+06	0.2500	55	0.13710E+02	0.2500
12	0.63928E+06	0.2500	56	0.10677E+02	0.2500
13	0.49787E+06	0.2500	57	0.83153E+01	0.2500
14	0.38774E+06	0.2500	58	0.64760E+01	0.2500
15	0.30197E+06	0.2500	59	0.50435E+01	0.2500
16	0.23518E+06	0.2500	60	0.39279E+01	0.2500
17	0.18316E+06	0.2500	61	0.30590E+01	0.2500
18	0.14264E+06	0.2500	62	0.23824E+01	0.2500
19	0.11109E+06	0.2500	63	0.18554E+01	0.2500
20	0.86517E+05	0.2500	64	0.14450E+01	0.2500
21	0.67380E+05	0.2500	65	0.11253E+01	0.2500
22	0.52475E+05	0.2500	66	0.87643E+00	0.2500
<<< thermal >>>					
23	0.40868E+05	0.2500	67	0.68256E+00	0.1250
24	0.31828E+05	0.2500	68	0.60236E+00	0.1250
25	0.24788E+05	0.2500	69	0.53158E+00	0.1250
26	0.19305E+05	0.2500	70	0.46912E+00	0.1250
27	0.15034E+05	0.2500	71	0.41399E+00	0.1252
28	0.11709E+05	0.2500	72	0.36528E+00	0.1252
29	0.91188E+04	0.2500	73	0.31961E+00	0.1432
30	0.71017E+04	0.2500	74	0.27699E+00	0.1541
31	0.55308E+04	0.2500	75	0.23742E+00	0.1670
32	0.43074E+04	0.2500	76	0.20090E+00	0.1823
33	0.33546E+04	0.2500	77	0.16743E+00	0.2006
34	0.26126E+04	0.2500	78	0.13700E+00	0.2228
35	0.20347E+04	0.2500	79	0.10963E+00	0.2498
36	0.15846E+04	0.2500	80	0.85397E-01	0.2882
37	0.12341E+04	0.2500	81	0.64017E-01	0.3352
38	0.96112E+03	0.2500	82	0.45785E-01	0.4029
39	0.74852E+03	0.2500	83	0.30602E-01	0.5051
40	0.58295E+03	0.2500	84	0.18467E-01	0.6773
41	0.45400E+03	0.2500	85	0.93805E-02	1.0320
42	0.35357E+03	0.2500	86	0.33423E-02	5.8117
43	0.27536E+03	0.2500			1.00000E-05
44	0.21445E+03	0.2500			

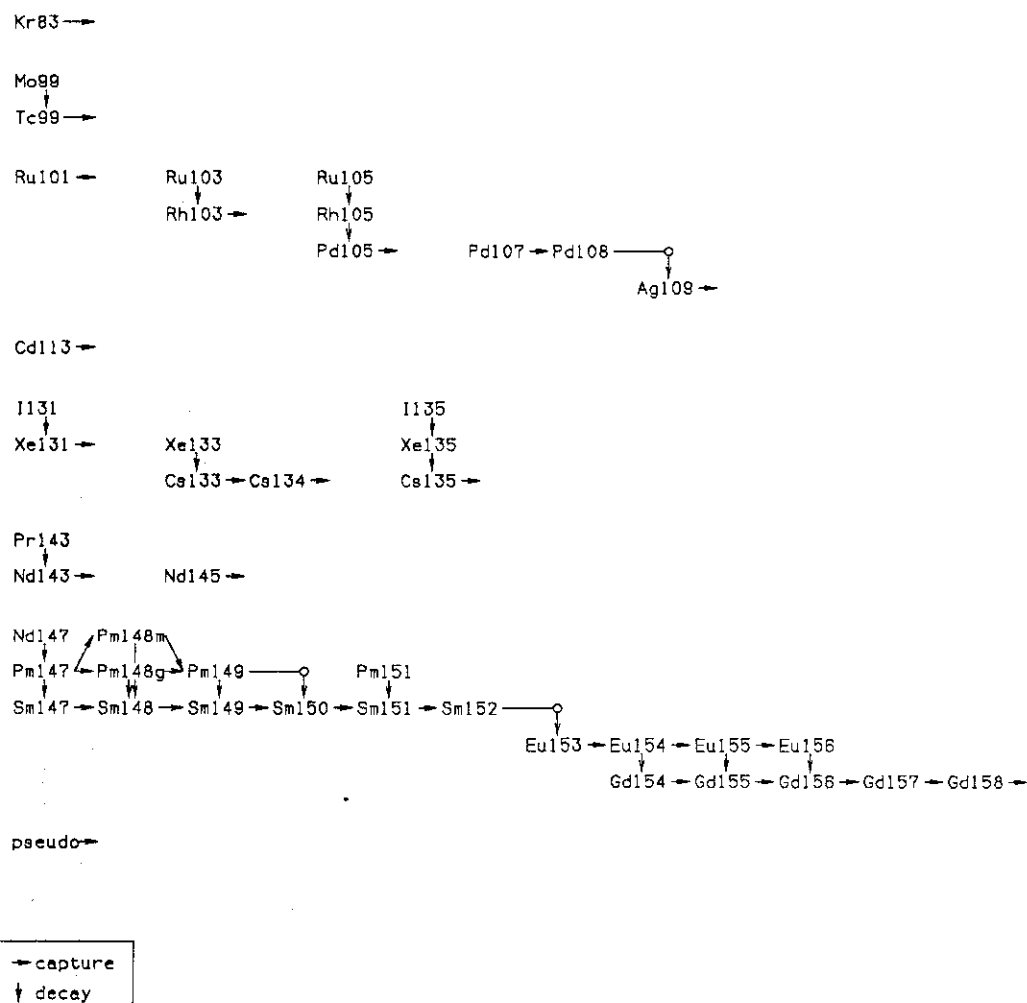


Fig. 4 Fission product chain model (45 explicit and 1 pseudo F.P)

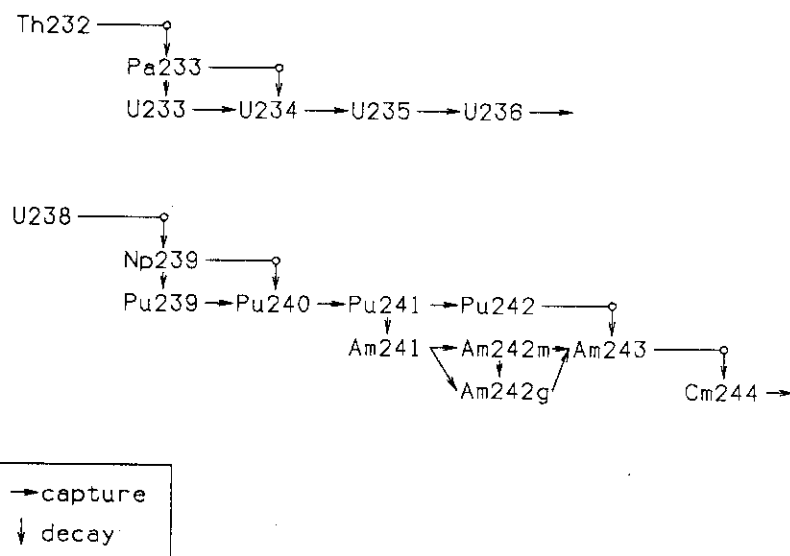


Fig. 5 Heavy nuclide chain model

### 3. 計 算 結 果

ここでは数百ケースに及ぶサーベイ結果を整理し、各格子パラメータと格子の特性との関係を論じる。

まず、サーベイ結果を検討するに先立って、臨界調整の有無が燃焼特性に及ぼす影響を調べた。今回のサーベイ計算では、余剰反応度に対する制御は行っていないため燃焼期間の大部分で $k_{\text{eff}}$ は1より大きい。実際の原子炉は $k_{\text{eff}} = 1$ で運転されているのであるからこれを模擬する格子計算では臨界調整を行なながら燃焼を進めないと転換率等の中性子スペクトルに依存する量が正確に評価されない恐れがある。臨界調整の方法としては模擬 $1/v$ 吸収物質による調整（PWR等）とボイド率あるいはバックリングによる調整（BWR等）の2つが考えられる。Fig.6はHCLWR系において、 $1/v$ 吸収物質による簡単な調界調整を行って燃焼計算を進めた例である。HCLWR系では余剰反応度が小さいため臨界調整の影響はほとんど無いことがわかる。

なおFig.6及び以下の図や文中には次に定義される2つの転換率が用いられている。

#### 転換率 (Conversion Ratio)

各燃焼時点における核分裂性核種の中性子吸収率に対する親核種の中性子捕獲率の割合として表わされる。 $\Sigma_c^{\text{fer}}(t)$ と $\Sigma_a^{\text{fis}}(t)$ を燃焼時刻 $t$ における、それぞれU-238とPu-240の中性子捕獲及びU-235, Pu-239, Pu-241の中性子吸収の一群巨視断面積として、転換率を次式で定義する。

$$\text{転換率} = \Sigma_c^{\text{fer}}(t) / \Sigma_a^{\text{fis}}(t)$$

#### 平均転換率 (Average Conversion Ratio)

燃焼度ゼロ時の核分裂性核種の量に対する各燃焼時点での核分裂性核種の量の割合として表わす。燃焼時刻 $t$ におけるU-235, Pu-239, Pu-241の個数密度の総和を $N^{\text{fis}}(t)$ として平均転換率は

$$\text{平均転換率} = N^{\text{fis}}(t) / N^{\text{fis}}(0)$$

と定義される。

Fig.7は $k_{\text{eff}}$ , 転換率, 平均転換率の燃焼変化を燃料ピン径Dをパラメータとしてまとめた例である。図に示した以外の全ケースを通じてもDが大きいほど燃焼度は高く、転換率, 平均転換率は低くなる。これはU-238の中性子吸収の自己遮蔽、及びピン径の違いによるPuインベントリの差によると理解される。即ちDが大きくなれば、空間的な遮蔽効果が大きくなり相対的にU-238の中性子吸収は減る。一方、Puインベントリが増加することによってPuの中性子吸収（核分裂）は増えるため余剰反応度は大きくなり燃焼度は伸びるが転換率は低下する。しかし、細径のピンで太径のピンと同じ燃焼度を達成しようとすれば富化度を高める必要があり、その結果、転換率は低下してしまい両者に著しい差異は現われない。

Fig.8は $V_m / V_f$ をパラメータとして変化させた例である。 $V_m / V_f$ が小さい稠密な格子ほど転換率は上がるが燃焼度は低下する。これは格子の稠密化による中性子スペクトルの硬化のため、U-238の中性子吸収が増加し転換率を高め逆に余剰反応度を減少させるからである。しか

し、格子の体積比変化に伴う  $k_{\text{eff}}$  の変化の度合いは富化度が高くなると小さくなる。Fig. 8は Fig. 7 よりも拡大して示してあるが、それでも富化度 9 %の図などでは体積比 0.6 ~ 0.8 の稠密な格子に対する  $k_{\text{eff}}$  の線の区別がつけてにくい。さらにこれらの線が交差している事からわかるように、燃焼が進むと稠密な格子の方が高い  $k_{\text{eff}}$  を与える場合も出てくる。これは与えられた富化度において、増倍率が体積比の変化に対して最小値を持つこと（あるいは最小値がサーベイ範囲の近傍にあること）を意味する。このような特性は、HCLWRの安全性を考える上で重要な冷却材ボイド反応度係数の富化度特性と関係がある。ここで注意すべきことは、ボイド率を高めることと体積比を小さくすることは同等であるということである。富化度が上がったり燃焼が進んだりすると Pu-240 や Pu-242 が増加し、燃焼が進んだ状態ではさらに F.P の蓄積も多くなる。このような状態では Pu-240 や Pu-242 の 1 ~ 数 eV の共鳴吸収や F.P 核種の熱領域における中性子吸収の全中性子吸収率に対する比率が大きくなる。体積比の減少やボイド率の増加に伴うスペクトルの硬化によるこれら低エネルギーでの中性子吸収の減少の効果が富化度が高い燃焼の進んだ格子では U-238 の共鳴吸収の増加等の効果よりも大きくなり  $k_{\text{eff}}$  の増加をもたらす。ボイド反応度については後で改めて述べるが、これを負にするためには体積比 0.6 ~ 0.8 の格子では富化度を 9 %より高くできないことは Fig. 8 からもうかがえる。

上に述べたことからもわかるように中性子スペクトルの硬化の影響は  $k_{\text{eff}}$  に対しては打ち消し合うように働く。即ち、上にも述べた低エネルギー領域での中性子吸収の減少あるいは核分裂の減少、U-238 の共鳴吸収や高速核分裂の増加、Pu-239 と Pu-241 の  $\eta$  値の増加等が  $k_{\text{eff}}$  に与える効果は相殺する。一方、これらは転換率に対しては増加させる方向へ働くため、体積比  $V_m / V_f$  の効果は転換率に大きく増倍率に対しては比較的小さい。

Fig. 9 は核分裂性 Pu 富化度 E をパラメータとした場合である。富化度を上げると余剰反応度が大きくなり、取り出し燃焼度は高くなる。一方核分裂性核種の中性子吸収率が相対的に増えることにより転換率は下がる。しかし、この転換率の低下は必ずしも平均転換率の低下にはつながらない。即ち、富化度の高い格子は初装荷時の核分裂性核種の量も多くなるので、転換率が低下して、ある燃焼期間を通じての核分裂性核種の減少量が多くなっても、初装荷量に対する減少割合としては大きくならない可能性がある。Fig. 9 を見るとわかるように体積比  $\leq 1.1$  までの格子では転換率が増加すると平均転換率も増加しているが、体積比が 1.4 になると逆に富化度の低い高転換率の格子ほど平均転換率は低くなっている。 $V_m / V_f$  が大きい格子は Fig. 9 からもわかるように、転換率が低いだけでなく富化度の増加による転換率の減少率も小さくなる。即ち、 $V_m / V_f$  の大きな格子では平均転換率に対する転換率の寄与が富化度の変化によって稠密な格子ほど大きくは変化しない。このため、 $V_m / V_f$  が 1.1 から 1.4 に変わる間に、富化度の変化による初装荷量の変化が転換率の変化の寄与に比べて大きくなるものと考えられる。

Fig. 10 は、 $k_{\text{eff}}$  あるいは転換率の 0 及び 50 GWD/t 時における富化度依存性をピン径 D = 0.95 cm についてまとめたものである。この図にはまた、100 % ボイド状態での  $k_{\text{eff}}$  の値も示されている。0 % 及び 100 % ボイド時の  $k_{\text{eff}}$  を比べることによってボイド反応度の大小あるいはボイド反応度が正となる富化度を読み取ることができる。例えば、体積比 1.4 の格子では 50 GWD/t までの燃焼段階を通して富化度 9 % でもボイド反応度は負であるが、体積比 0.6 の格子では燃焼初期でも富化度 ~ 8.7 % になるとボイド反応度が正になっている。その他にも余剰反応度とそ

の富化度依存性、燃焼に伴う反応度損失や転換率の増加、あるいは余剰反応度や反応度損失から可能燃焼度等に関してその概要をこの図からつかむことができよう。

ボイド反応度については、Fig. 11に体積比との関係を各燃料ピン径ごとに整理して示している。前述の通り、格子の稠密化や富化度の増加はPu-240やPu-242のインベントリの増加につながり、ボイド特性を悪化させる。ジルカロイ被覆の方が管が厚いため、構造材を含めた実効的減速材領域が大きくなるのでボイド特性が良いこともわかる。

Fig. 12及び13は達成可能な取り出し燃焼度、即ち、3バッチ燃料交換を想定して $k_{eff}=1$ となる燃焼度の1.5倍、とその時の平均転換率値を体積比や富化度をパラメータとして示している。また、これらの図にはボイド反応度係数が0となる線も示されている。この線は以下のようにして得られた。まず、各体系の炉心の達成燃焼度として格子燃焼計算で $k_{eff}=1.0$ となる点を求める。次に燃焼度0及び50GWD/tにおけるボイド状態の $k_{eff}$ の計算結果から、炉心達成燃焼度におけるボイド状態での $k_{eff}$ を一次内挿によって求める。体積比、富化度を変えた各サーベイ・ケースごとに、この $k_{eff}$ （ボイド状態、炉心達成燃焼度）と $k_{eff}$ （通常状態、炉心達成燃焼度：即ち1.0）とからボイド反応度を得ることができる。これらの計算結果を体積比、富化度に対し内、外挿することによりボイド反応度=0となる体積比-富化度の組合せが決定される。この組合せに対応する点をFig. 12及び13上にプロットし、ボイド係数=0となる限界ラインを評価した。図中で、これら曲線上部の斜線部分はボイド係数が正となる領域である。同じ体積比、同じ富化度に2つの点があるのは2種の被覆管に対応している。ここで、体積比を固定した場合、転換率と燃焼度の関係は被覆管材質が異なっていても同一の線上にあることは注目すべきである。被覆管材質が核的な特性におよぼす影響は小さいことがわかる。被覆管による違いが比較的はつきり現われるのはボイド係数であり、これは管厚の違いによるPuインベントリの大小及びSUS中のFeの吸収によるものである。

Fig. 12から高転換率と高燃焼度を同時に達成することが非常に困難であることがわかる。転換率、燃焼度を共に高める方向は格子の稠密度を上げかつ富化度を高める方向であり、その結果としてPuのインベントリもまた増加してボイド反応度も正側へと向かう。ボイド係数=0の線は、また設計上の転換率・燃焼度の上限でもある。ここで、安全性の観点から、適当なマージンを設ける必要がある。Fig. 12及び13からこの線はピン径によらずほぼ同じ所にあることもわかる。

Fig. 14は、ピン径D=0.95cmの格子について上記の達成可能な燃焼度における平均転換率と核分裂性Puインベントリーの関係をまとめたものである。ここでインベントリーは、バッククリングを決めた際に想定した炉心の大きさから求めたものであり、出力1GWeあたりに換算されている。炉心内の燃料組成は、3領域炉心を仮定し可能燃焼度の0/3, 1/3, 2/3時点での組成の平均とした。各サーベイ点の燃焼度を内、外挿することによって35あるいは45GWD/tの燃焼度が得られるような線も示している。この図からわかるように、燃焼度と転換率を共に高くしようとするとインベントリーが急速に増加することがわかる。インベントリーの増加は燃料の有効利用という点からみて望ましくないとされている。

Fig. 15, 16は、35及び45GWD/t時の平均転換率やPuインベントリと体積比の関係を示したもので、Fig. 14から読みとれる値をまとめ直したものである。

以上、今回のパラメータ・サーベイ計算の結果を様々な方法で簡単にまとめてみた。なお、巻末にサーベイ計算結果をまとめて添付したので興味のある向きは各人なりの方法で整理して頂きたい。

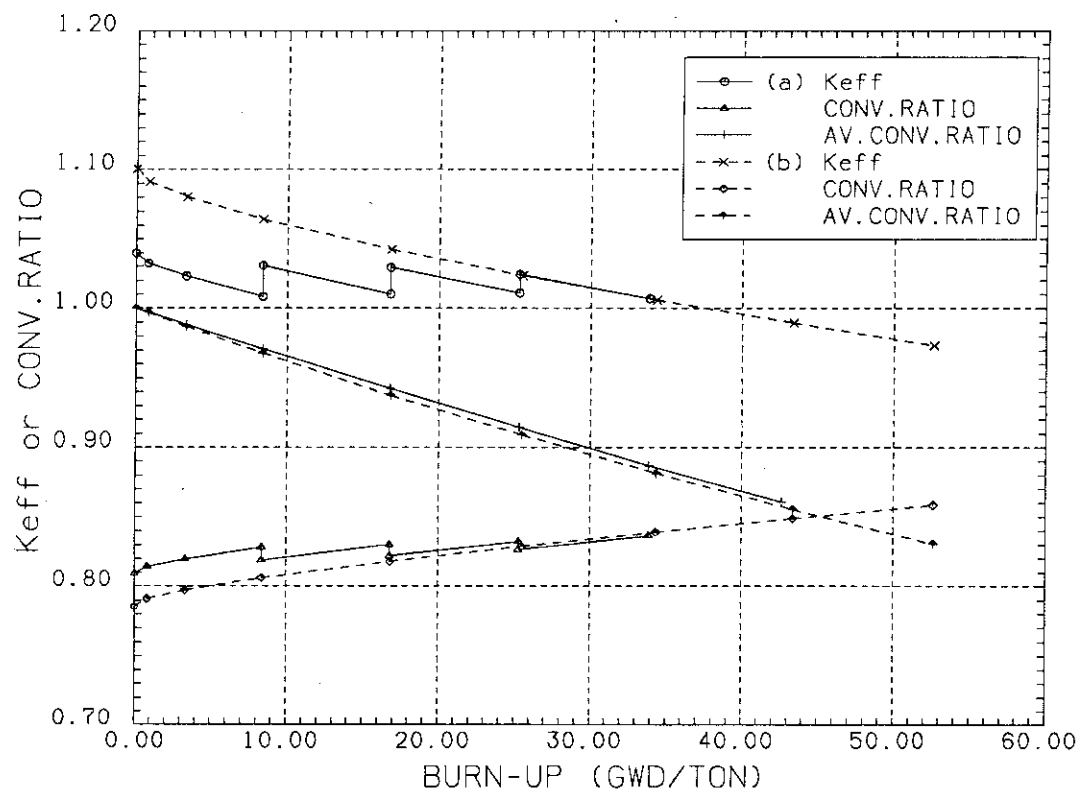


Fig. 6 Burnup reactivity loss and conversion ratios in controlled and uncontrolled cells ( $D=1.0\text{cm}$   $V_m/V_f=0.8$   $E=8\%$ )  
(a) controlled by  $1/v$  absorber (b) uncontrolled

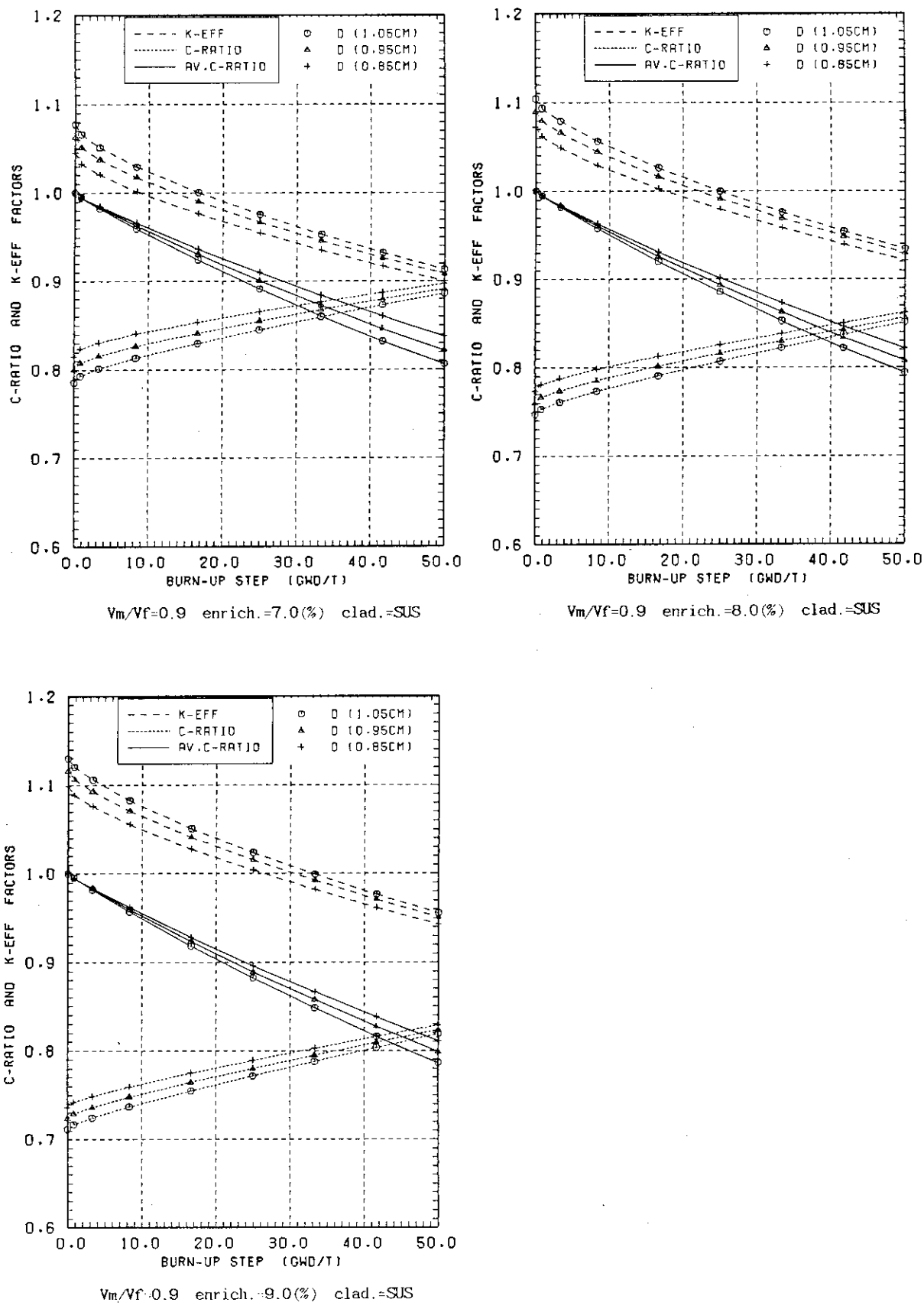
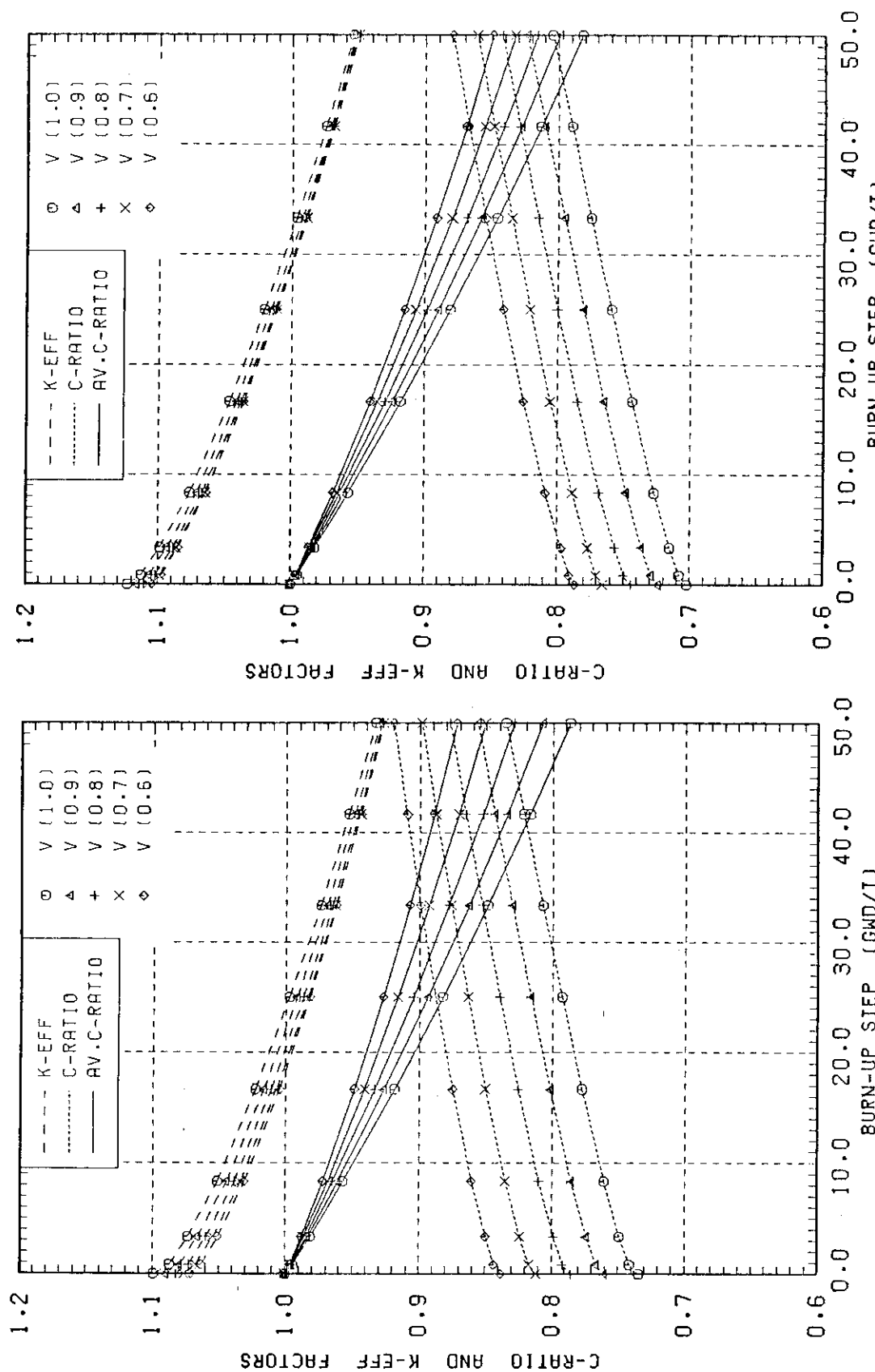


Fig. 7 Burnup characteristics of  $k_{eff}$  and conversion ratio  
(parameter:D)



D=0.95(cm) enrich.=8.0(%) clad.=SUS  
**Fig. 8** Burnup characteristics of  $k_{eff}$  and conversion ratio  
 (parameter:  $V_m/V_f$ )

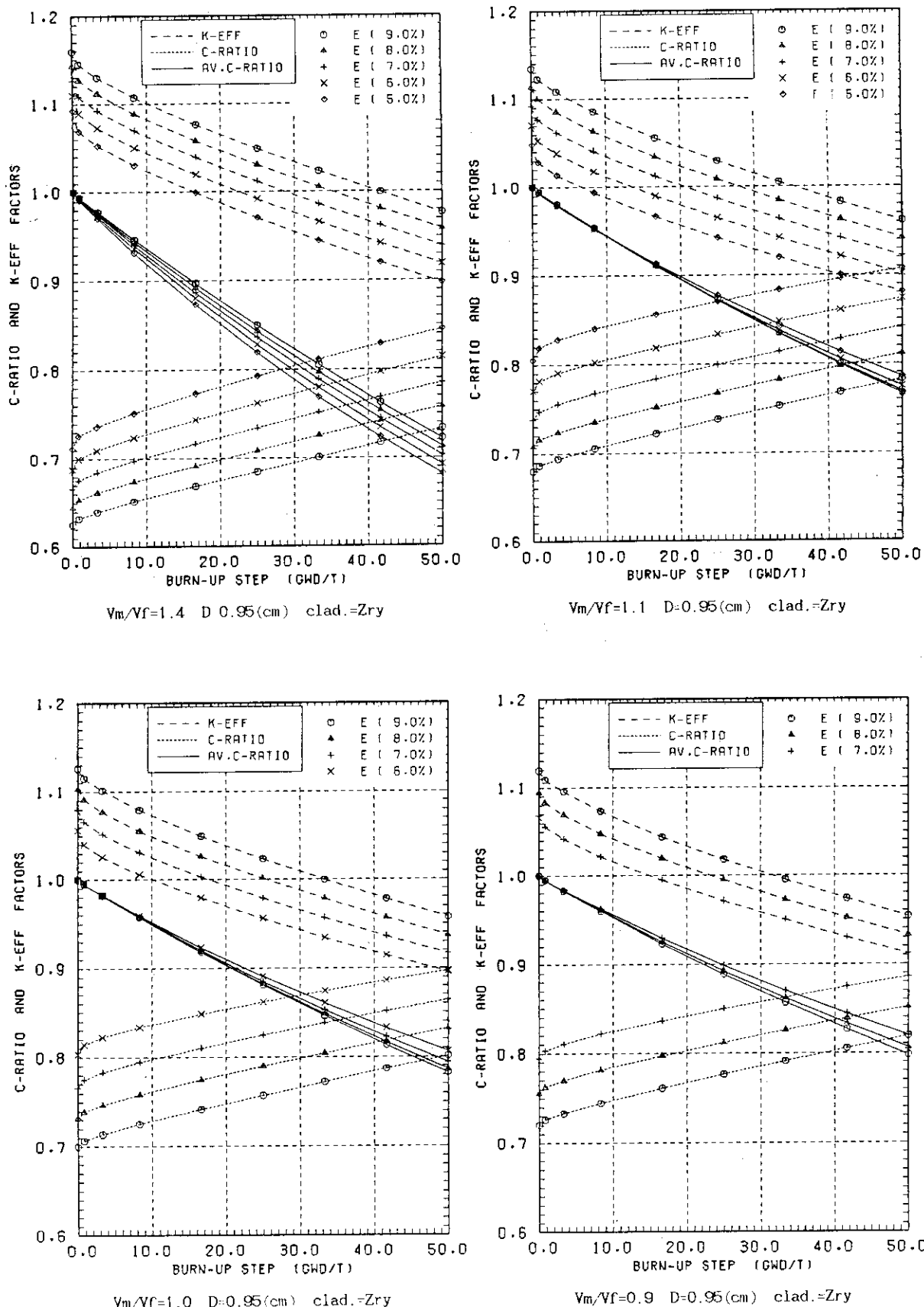


Fig. 9 Burnup characteristics of  $k_{eff}$  and conversion ratio  
(parameter:E)

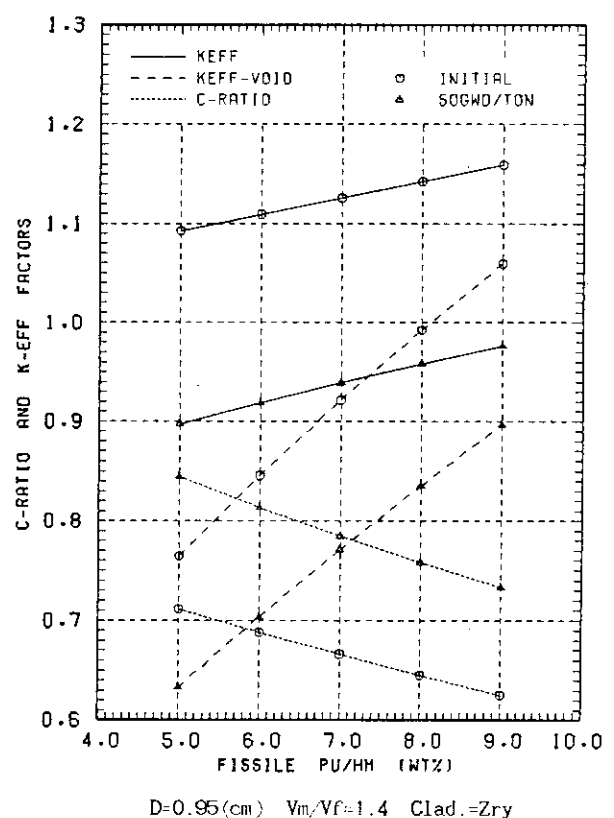
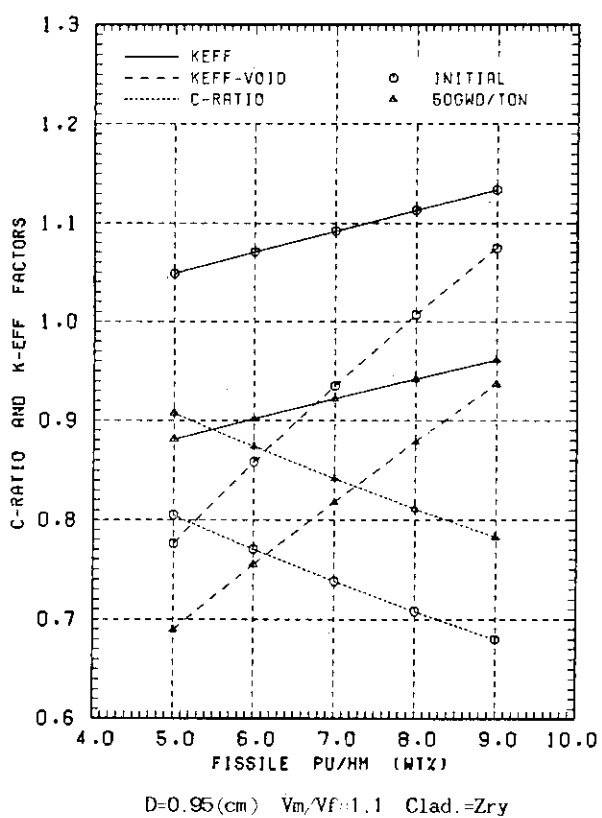
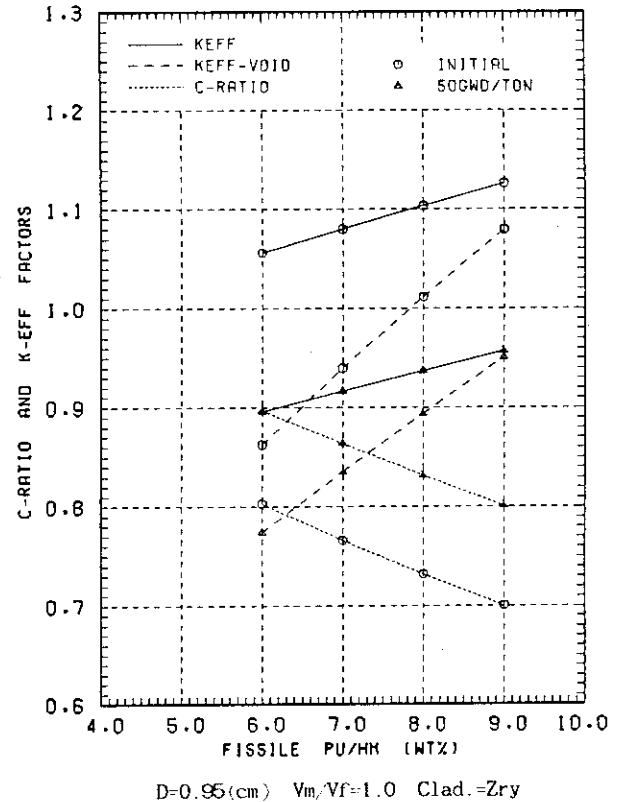
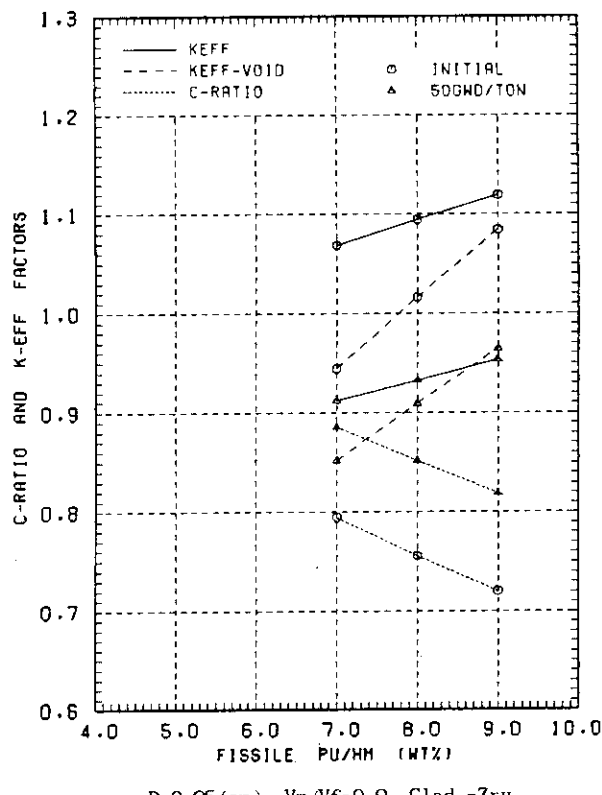


Fig.10 Conversion ratio and  $k_{eff}$  as function of fissile Pu enrichment

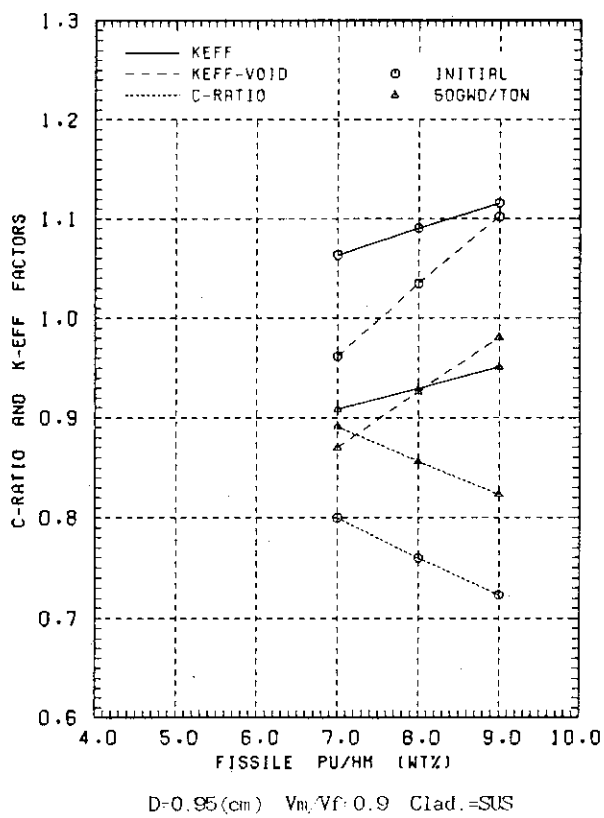
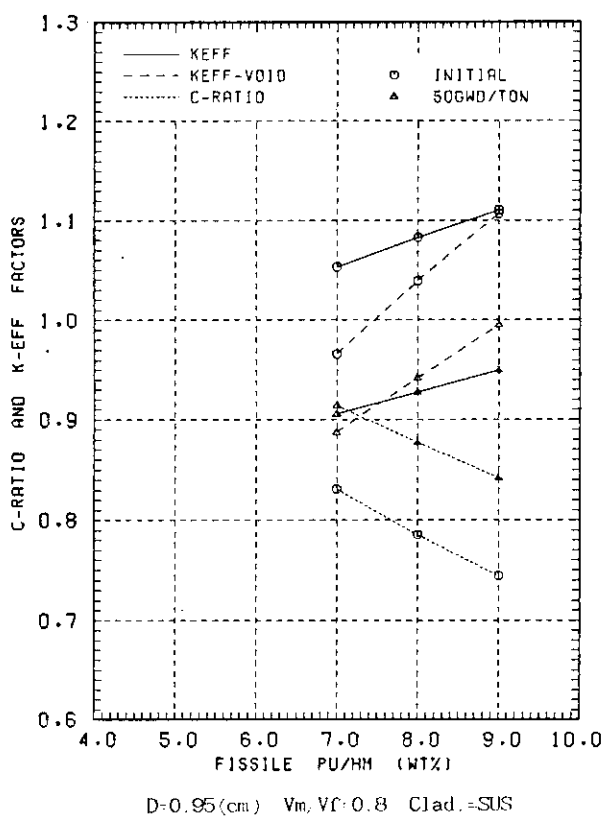
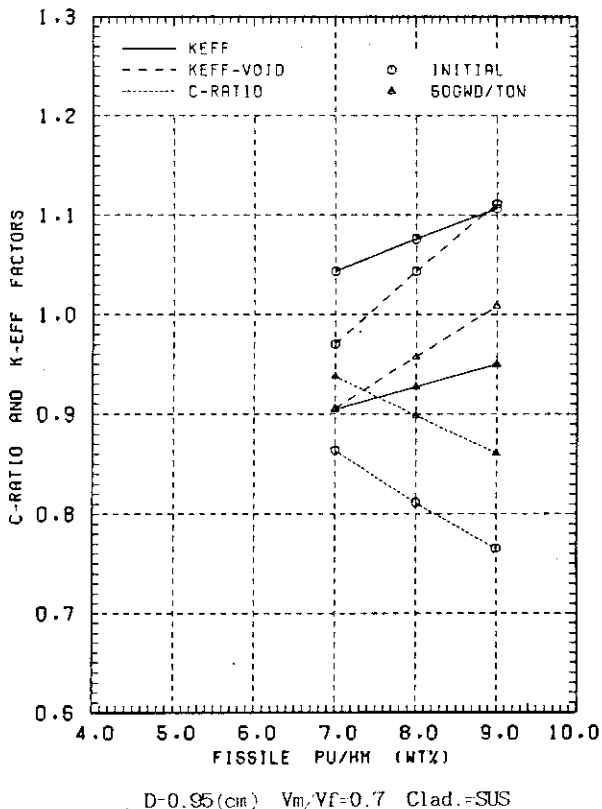
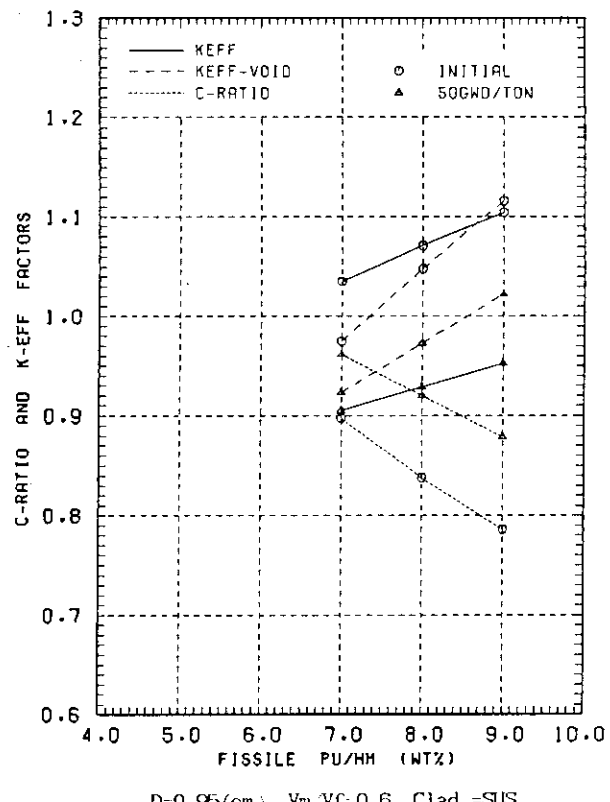
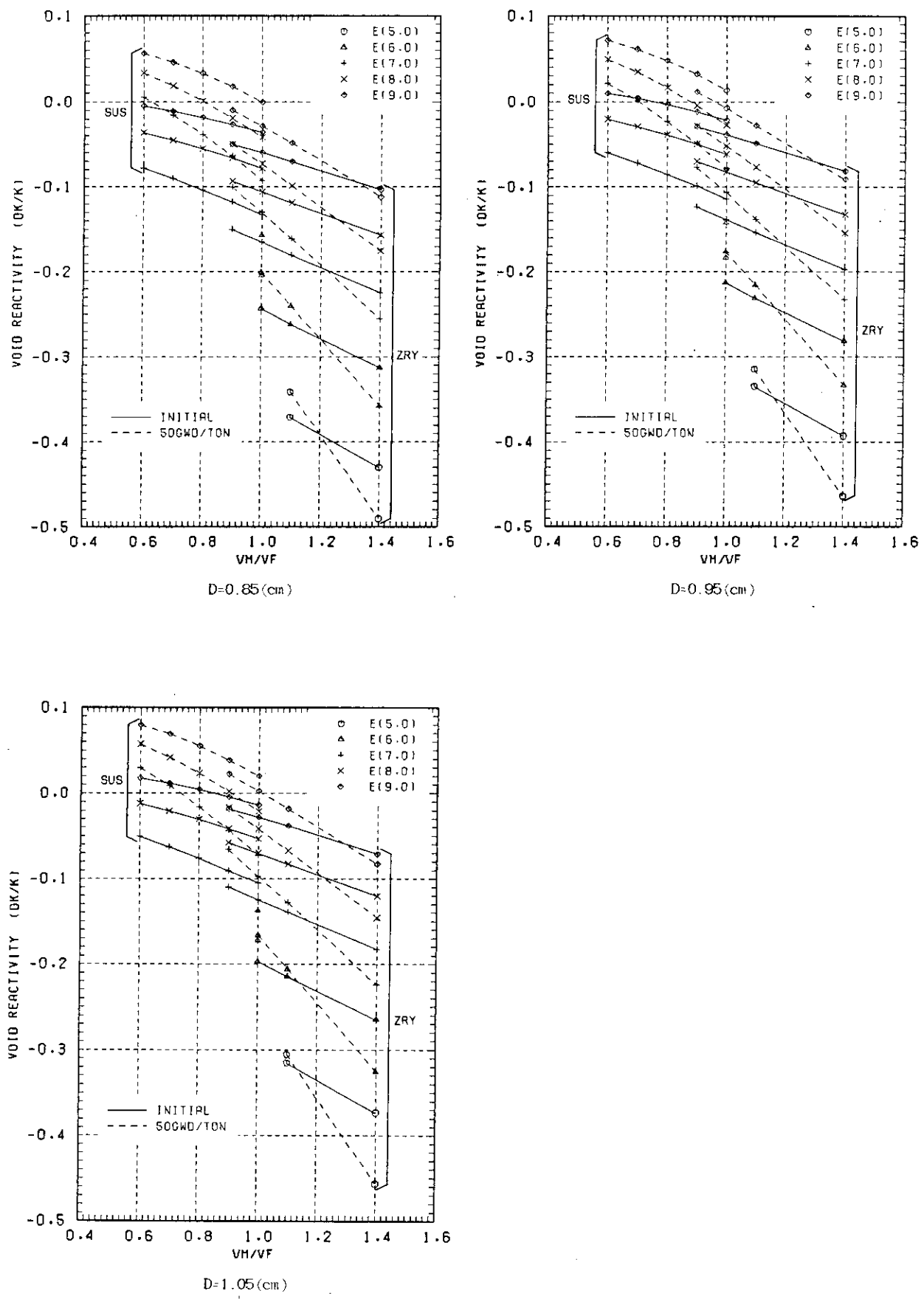
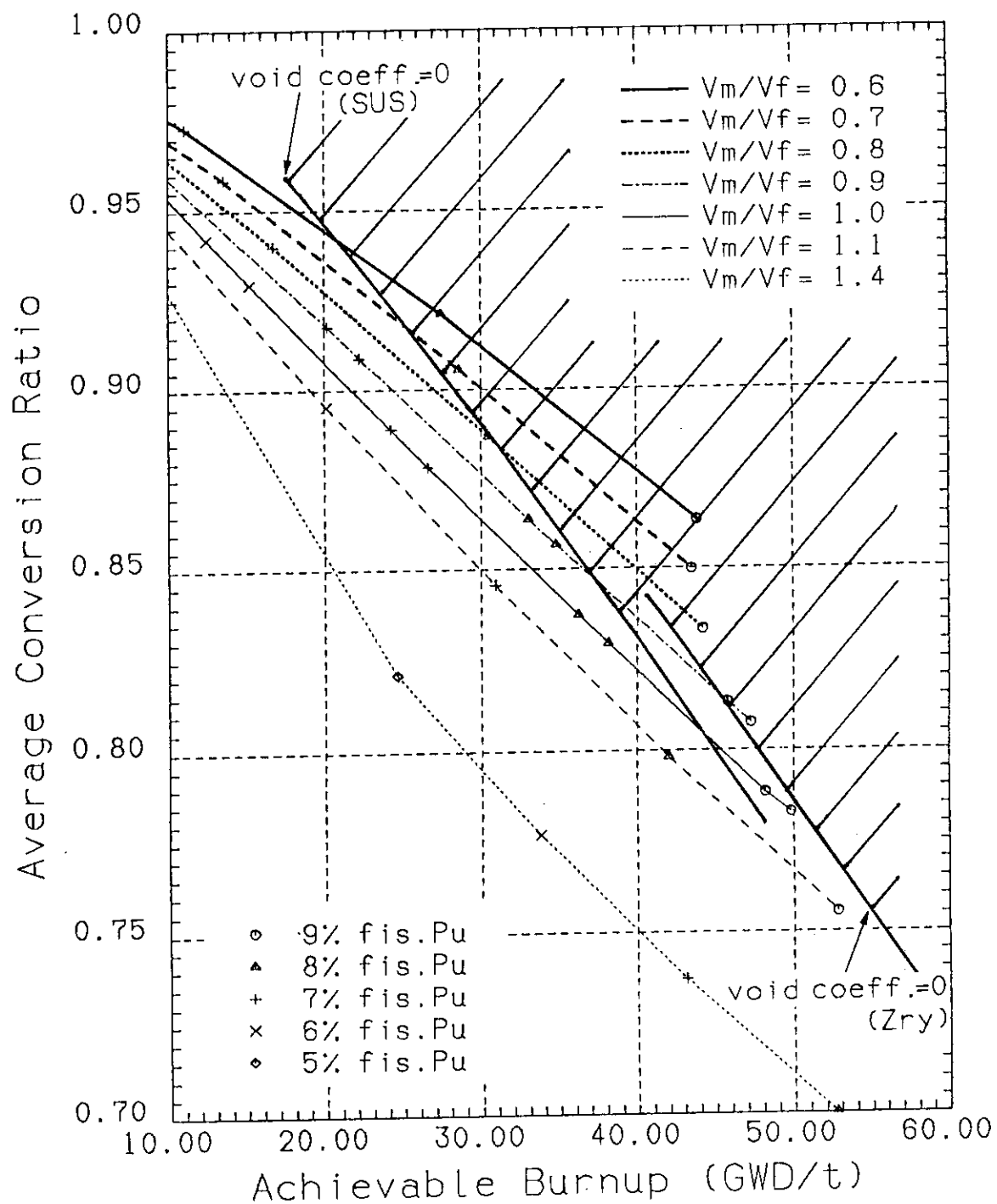


Fig.10 (continued)

Fig.11 Void reactivity  $\Delta k/k$  as function of  $V_m/V_f$

Fig.12 Achievable burnup and conversion ratio ( $D=0.95\text{cm}$ )

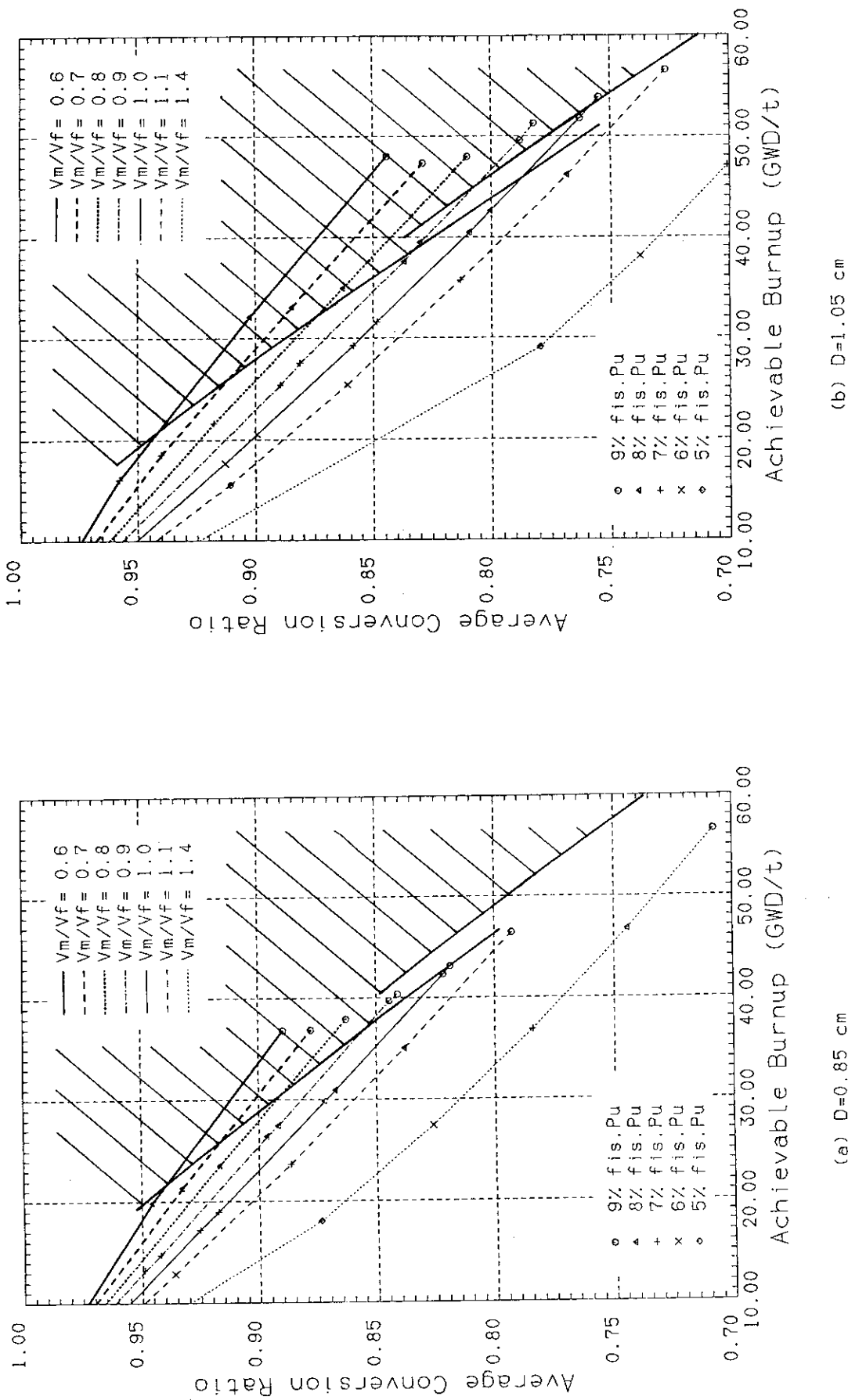


Fig.13 Achievable burnup and conversion ratio

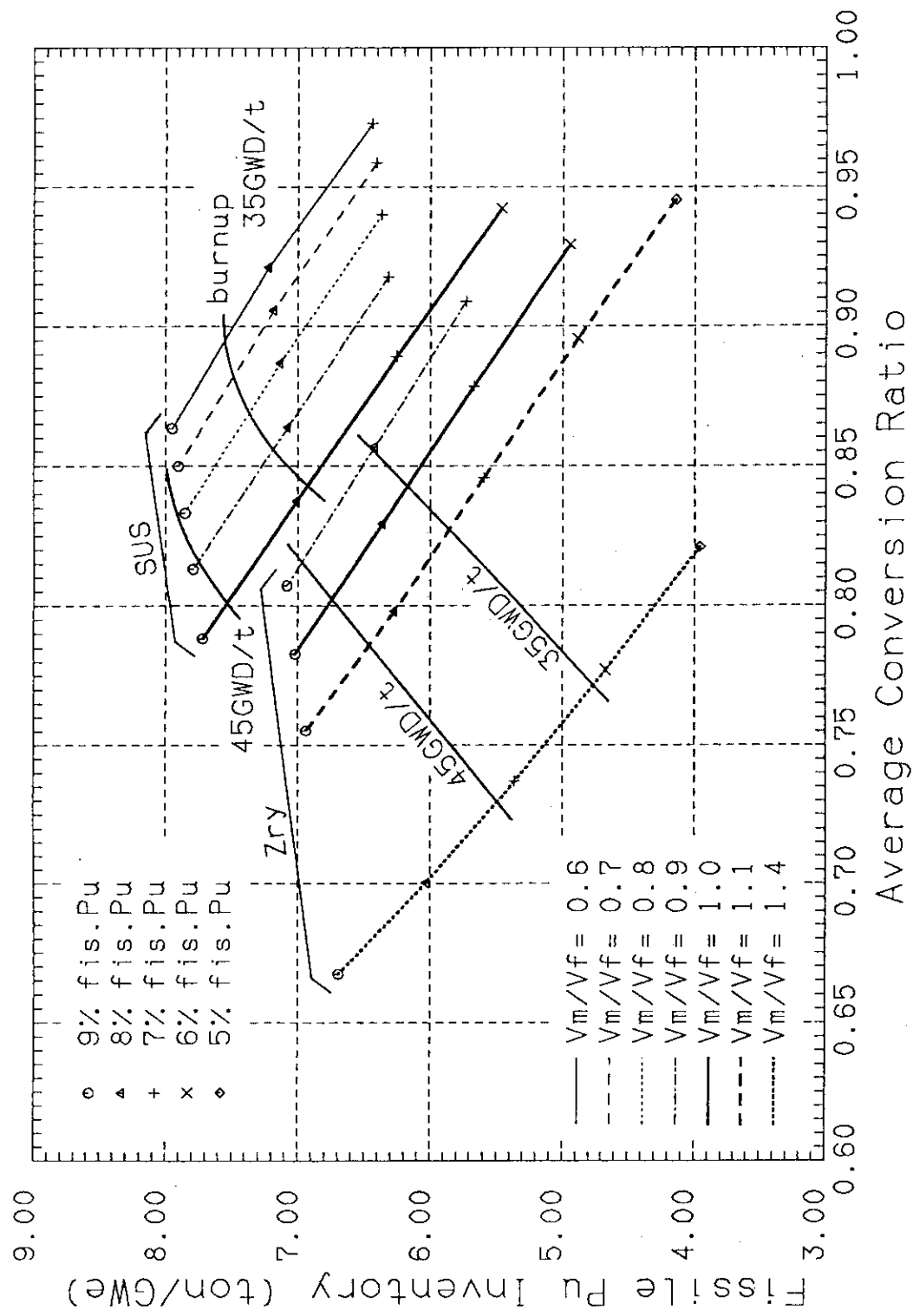
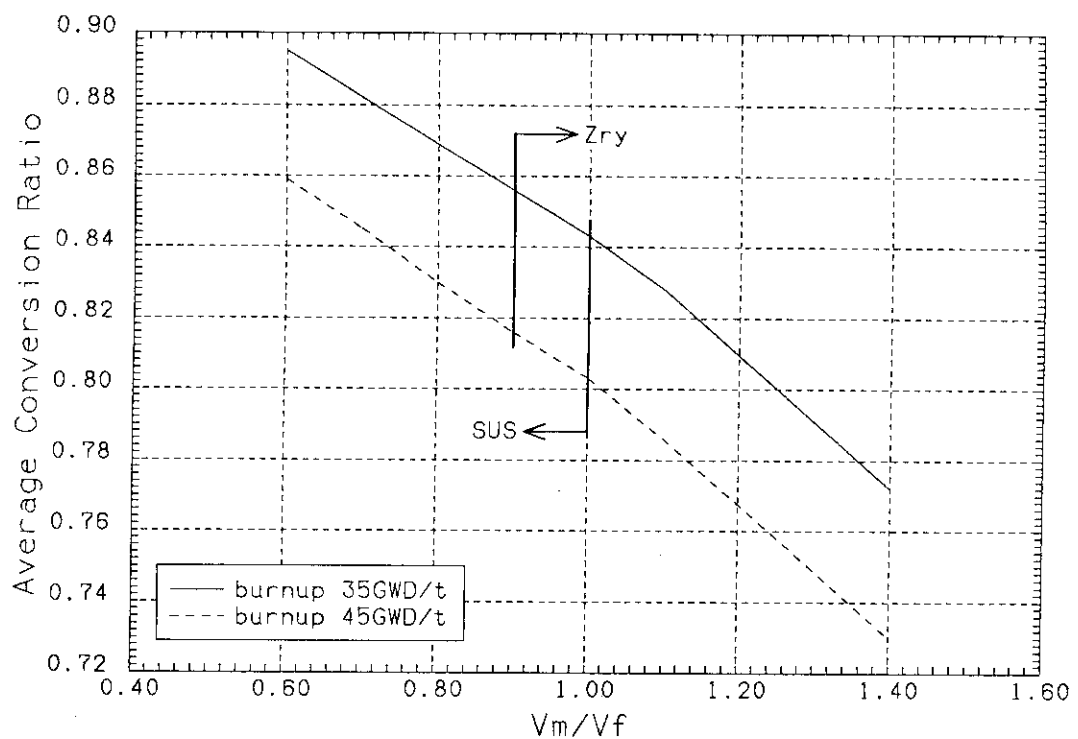
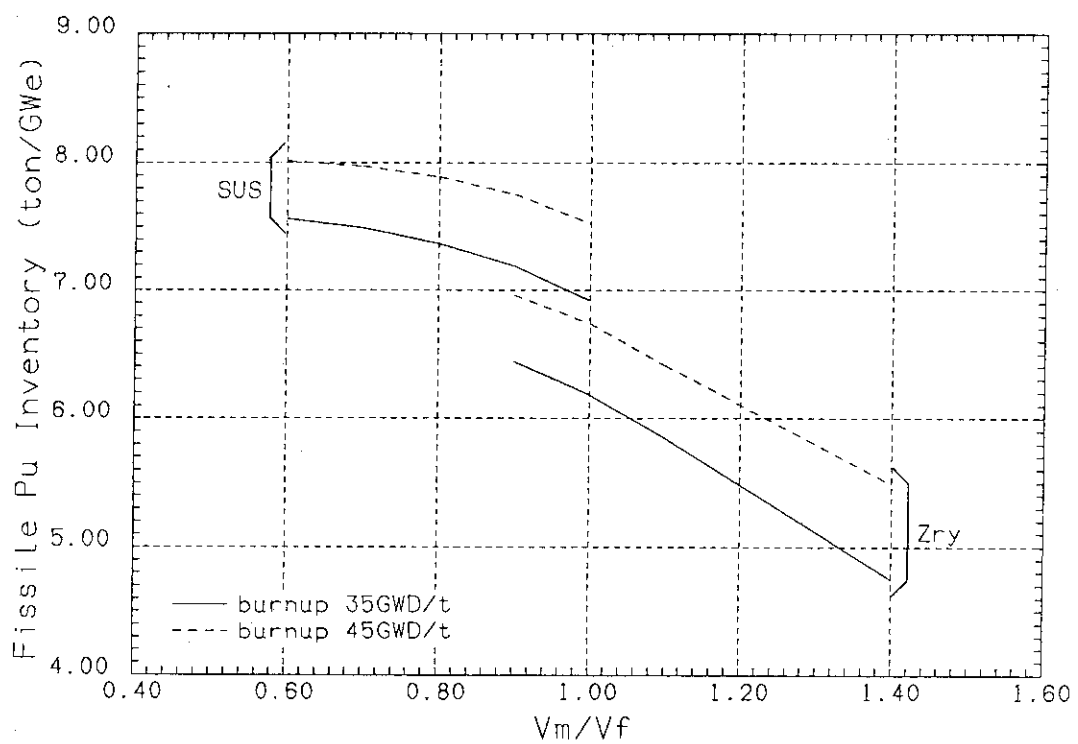


Fig. 14 Average conversion ratio vs fissile Pu inventory  
(D=0.95cm)

Fig.15  $V_m/V_f$  vs average conversion ratio ( $D=0.95\text{cm}$ )Fig.16  $V_m/V_f$  vs fissile Pu inventory ( $D=0.95\text{cm}$ )

#### 4. 燃料組成の影響

本サーベイに先立って、重核種のチェーンについてはAm及びCmを無視してPu—242までのものを用いた予備的なサーベイが行なわれた<sup>11)</sup>。これらの結果は、燃焼特性については誤差が大きいものと思われるが、燃焼初期の計算結果については信頼できるものである。特に本サーベイとは異なるPu組成を用いているため、ボイド特性についてPu組成の影響を見るためにここで比較検討することにする。

前の計算で用いられたPu組成は、Braunschweich大学によるPWRで34 GWD / t燃焼後10年冷却したものに相当する組成 (Pu—239 : Pu—240 : Pu—241 : Pu—242 = 57.81 : 26.57 : 9.47 : 6.15)<sup>22)</sup>である。本サーベイのPu組成 (Table 1) と比べPu—240がかなり多いことがわかる。そのためボイド反応度係数はより大きな(正側の)値になるものと考えられる。Fig. 17は0 GWD / t時のボイド係数をFig. 11と同様に整理したもので、ピン径は1.0 cmでFig. 11に対応するものはないが、Fig. 11におけるD=0.95 cmやD=1.05 cmの場合と比べてもより大きなボイド係数が得られている。Fig. 11と17からPu中のPu—240の割合の増加1%当たりのボイド反応度の増加は約0.015 Δk/k程度であろうと予想される。

Puの組成は、軽水炉燃料の燃焼度や取り出し後の冷却期間によってかなり異なる。高転換軽水炉設計上非常に重要なパラメータの一つであると考えられる。

次に、Uの組成が燃焼度や転換率に及ぼす影響を見てみる。Puのインベントリの増加は繰返し述べたように燃料有効利用やボイド特性から見て望ましくない。Puの量が制約条件となる場合U—235を増やすことによってPuのインベントリをおさえたり、またPuの富化度を上げずにU—235を加えてボイド特性の悪化を避けながら燃焼度を延ばすことが考えられる。

ここではUに軽水炉からの回収Uを用いることを想定して、ピン径Dが0.95 cmのケースについてサーベイを行った。用いたUの濃縮度は1.045% U—235で、3.3% U—235の燃料をPWRで33 GWD / t燃焼させたものに相当する。

Fig. 18はこの回収Uを用いた場合のサーベイ結果をFig. 12及び13と同様のまとめ方をしたものである。

Fig. 18をFig. 12と比較してみると、同じ稠密度で同じPu富化度の格子ではU—235の分だけ核分裂性核種が増えたので(燃料中の核分裂性核種の富化度にして0.77%程度)当然燃焼度は伸び、転換率は低下している。しかしFig. 18とFig. 12から、0.77%の核分裂性Puをえた場合ほど燃焼度は伸びず(約0.4% Pu富化度相当しか伸びていない)、また転換率はPuを増やした場合以上に低下することがわかる。同一の体積比の線で比較するとわかるように、回収Uを用いた場合減損Uより体積比にして0.1程度稠密度の低い格子に相当する特性を与える。この原因としてはU—235とPu—239及び241のエピサーマル領域でのη値の違いが考えられる。燃焼特性だけから見ると、稠密格子系ではPuの方がU—235より良い燃料であると言える。

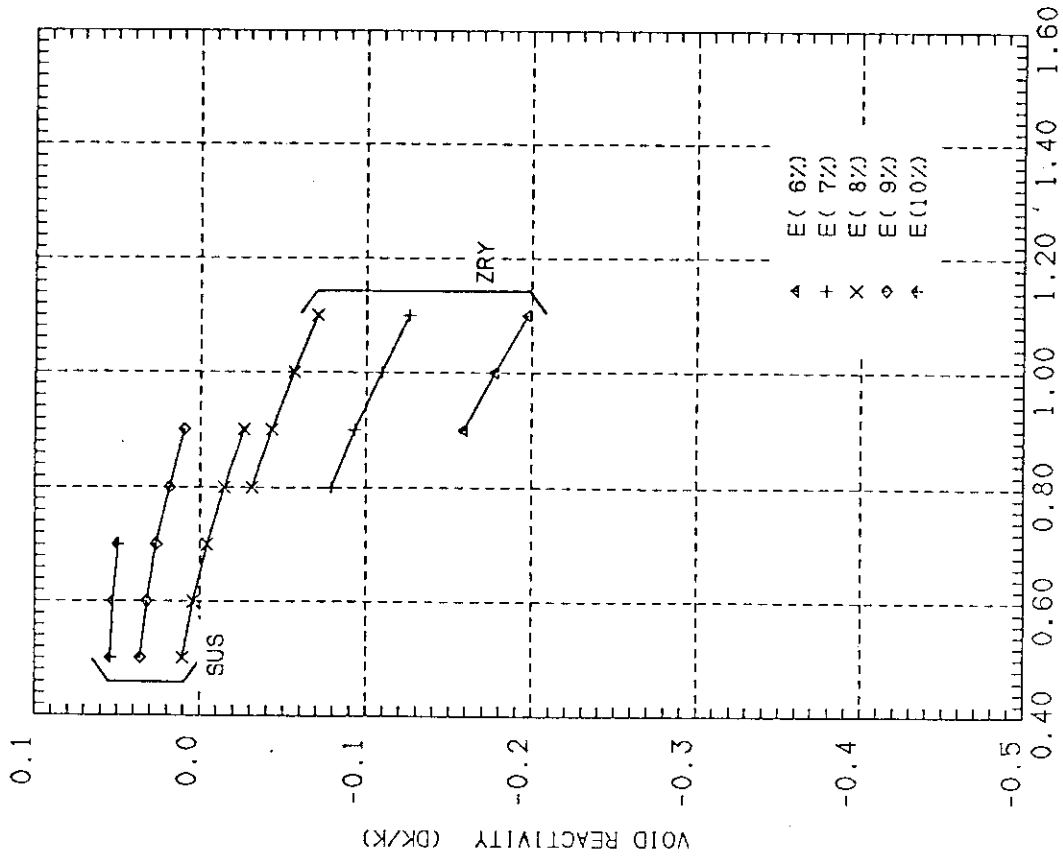


Fig.17 Void reactivity as function of  $V_m/V_f$   
(Pu from PWR fuel with 34 GWD/t burnup and 10 years of cooling  
time is used ;  $D=1.0\text{cm}$   $0 \text{ GWD/t}$ )

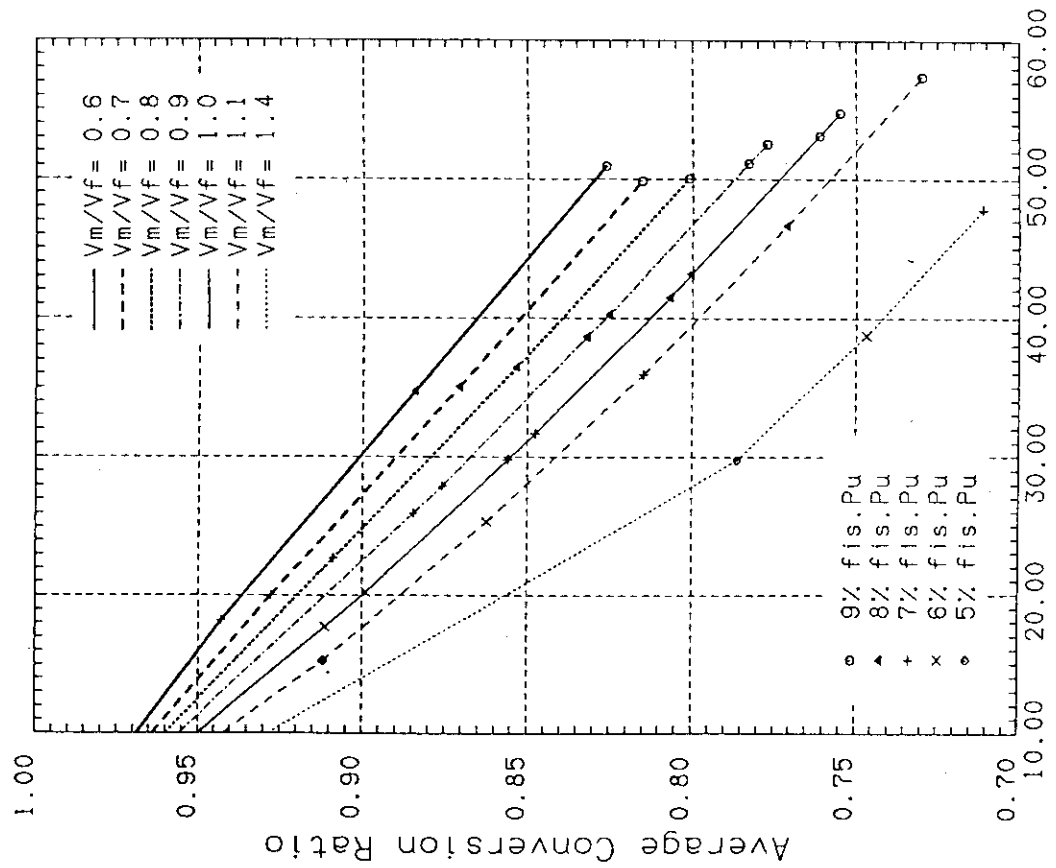


Fig.18 Achievable Burnup and conversion ratio  
(using recovery U from LWRs ;  $D=0.95\text{cm}$ )

## 5. 2種類の燃料棒からなる格子モデル

ここまで結果からわかるように、燃焼度を高く保ちながら転換率を高めることは困難である。前節までは、同じ燃料ピンを燃料集合体中に均質に並べることが前提となっていたが、ここでは1つの試みとして富化度の異なる燃料棒を非均質に並べることの効果を調べる。考え方としては、親物質の燃料棒を設け、その径を小さくして親物質に効率良く中性子を吸わせることで転換率の向上を目指したものである。格子のモデルはFig. 19 にあるように現行の  $17 \times 17$  型 PWR 格子（rod 1）の間に同数の細径のピン（rod 2）を挿入したものである。燃料は MOX とし親物質棒として減損 U を用いた。U の組成は Table 1 にあるものを、Pu の組成は第 3 章の PWR で 34 GWD / t 燃焼後 10 年冷却したものを使用した。被覆管はジルカロイとした。格子ピッチ P は PWR 格子の集合体単位の体積比から  $1.323 \text{ cm}$  とした。ここでは、体積比  $V_m/V_f$  や rod 1 と rod 2 の径  $D_1$ ,  $D_2$  や富化度  $E_1$ ,  $E_2$  を変化させて Table 4 に指定してあるケースについて計算を行なった。P1C5 というケースでは rod 2 に  $\text{ThO}_2$  を用いている。計算法では重核種のチェーンが Am, Cm 等を含まない簡単なモデルである点が第 2 章と異なる。Am, Cm を考慮すると燃焼度はもっと低下するであろうが、各ケース間の比較については有意義と考えられる。

Fig. 20 は、体積比  $V_m/V_f = 1.0$ , rod 1 の径  $D_1 = 0.95 \text{ cm}$ , rod 2 の径  $D_2 = 0.6 \text{ cm}$  のセルについて rod 1 に Pu を集めた P1C1 と rod 1 と rod 2 の富化度を同一にした P1C3 とを比較している。図に見られるように両者の差は小さい。ここで考えている 2 本の燃料ピンから成る格子内の Pu の量を変えないで rod 1 の富化度  $E_1$  と rod 2 の富化度  $E_2$  を変化させた場合、 $E_2$  が  $E_1$  より多少大きい場合に転換率が最も大きくなる。しかし、転換率の増加は高々 1 % である。また、その分  $k_{\text{eff}}$  は減少している。

Fig. 21 及び 22 は、体積比、平均の富化度を固定し、 $D_1$  と  $D_2$  を変化させたケースの比較である。ピン径  $D_1$  と  $D_2$  を多少変えても特性にはほとんど影響がない。P3C1 のように太い燃料棒を用いた場合、燃焼度はかなり上がるが転換率は落ちる。

Fig. 23 及び Fig. 24 は体積比を変化させた場合である。ピン径の変化としては  $0.02 \text{ cm}$  程度で Fig. 21 及び 22 におけるピン径の変化と比べても大きくはないが、転換率に影響があることがわかる。 $k_{\text{eff}}$  に対してはあまり大きな影響はない。

以上の結果から体積比や平均の富化度を変えずに転換率を上げるには、rod 1 と rod 2 の径や富化度をそろえた方が良いことがわかる。しかし、その差はあまり大きくなく、また、転換率を上げるとそれだけ  $k_{\text{eff}}$  は下がる。それ故、これまで提案されている HCLWR の設計で用いられている同じ燃料ピンの均質な配列は、燃料集合体を考える上で充分であると結論される。

最後に、上で考えた 2 種類のピンから成る格子を Th 利用の観点から検討して見よう。Th を用いることの利点はよく言われるように、生成する核分裂性核種である U-233 の  $\gamma$  値が高く中性子を効率良く利用できることである。一方、問題点としては U-233 や U-234、あるいは Th-232 の ( $n, 2n$ ) 反応等を通してできる U-232, Th-228 に始まる崩壊系列による強い  $\alpha$  及び  $\gamma$  放射能がある。このため、中性子に照射された Th の再処理は非常にやっかいになると言

われている。Thを用いる場合にこれをUやPuと分けて別の燃料棒に入れて使用するとすれば再処理を別々に行えるし、あるいはThだけそのまま保存することもできて都合が良いと思われる。

Fig. 25 は rod 2 に減損  $\text{UO}_2$  を用いた場合と  $\text{ThO}_2$  を用いた場合を比較している。ThはU-238に比べて核分裂が少ないので燃焼初期の  $k_{\text{eff}}$  は下がる。しかし、これは初期の余剰反応度をおさえる上で好都合であり、U-233の $\eta$ 値が高いので燃焼反応度変化も小さい。特に燃焼初期の転換率が高いので、燃焼末期まで平均転換率は高くなる。Thを用いた場合燃焼度、転換率共に上がる可能性がある。それ故、将来の核エネルギー資源としてTh利用は検討に値すると考えられる。

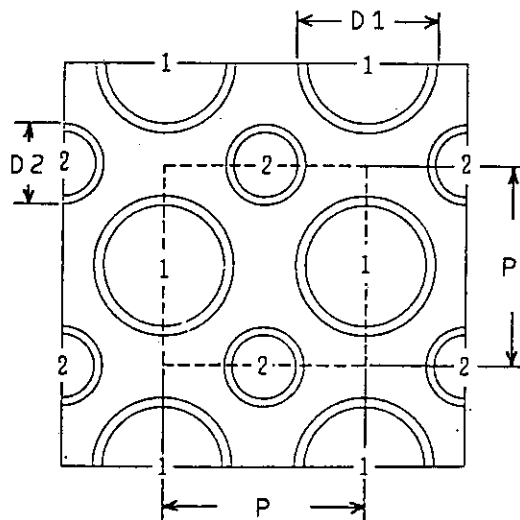


Fig.19 Lattice arrangement of two-rod-cell

Table 4 Case specifications

case name	$V_m/V_f$	D1(cm)	D2(cm)	E1(%)	E2(%)
P1C1	1.0	0.95	0.6	9.5	0.0
P1C3	1.0	0.95	0.6	6.8	6.8
P1C5	1.0	0.95	0.6	9.5	0.0 ( $\text{ThO}_2$ )
P2C1	1.0	0.79	0.79	6.8	6.8
P2C4	1.0	0.79	0.79	13.6	0.0
P3C1	1.0	1.12	0.0	6.8	-
P8C1	1.0	0.87	0.71	11.6	0.0
P4C1	0.9	0.98	0.6	8.9	0.0
P5C2	0.9	0.81	0.81	6.8	6.8
P6C1	1.1	0.93	0.6	9.7	0.0
P7C1	1.1	0.78	0.78	6.8	6.8

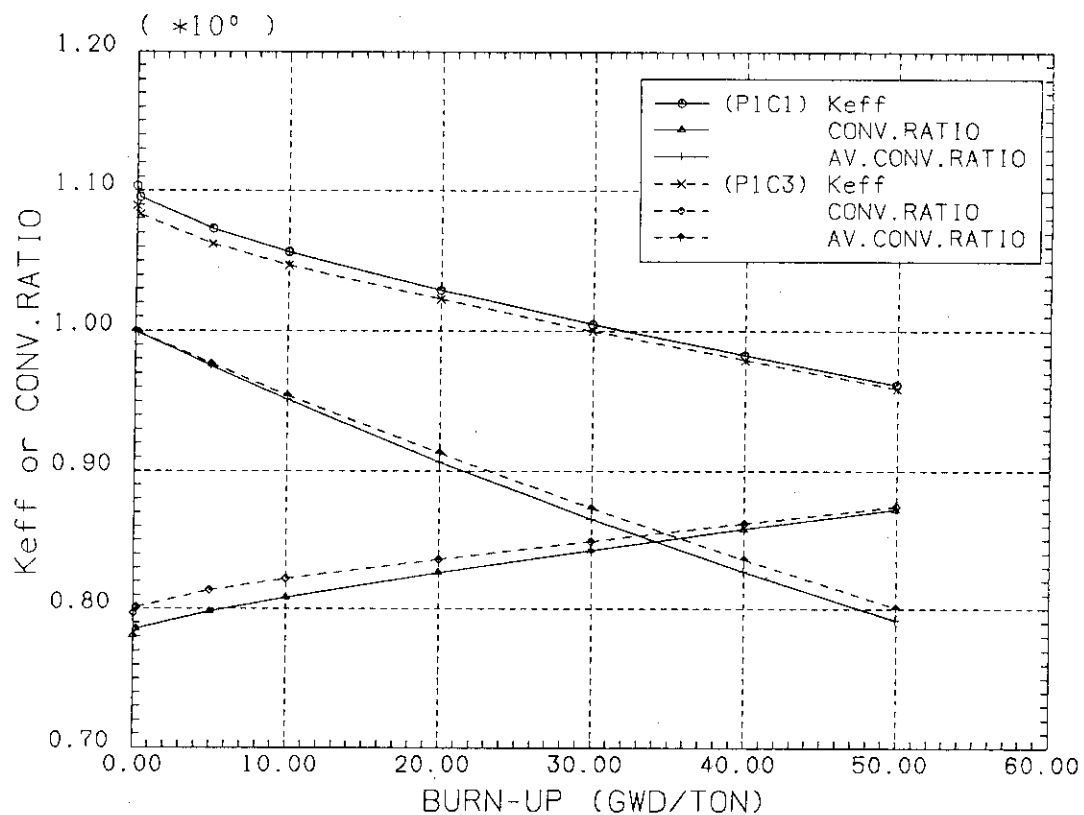


Fig.20 Burnup characteristics of  $k_{eff}$  and conversion ratio  
 (D1=0.95cm D2=0.6cm parameter:E1,E2)

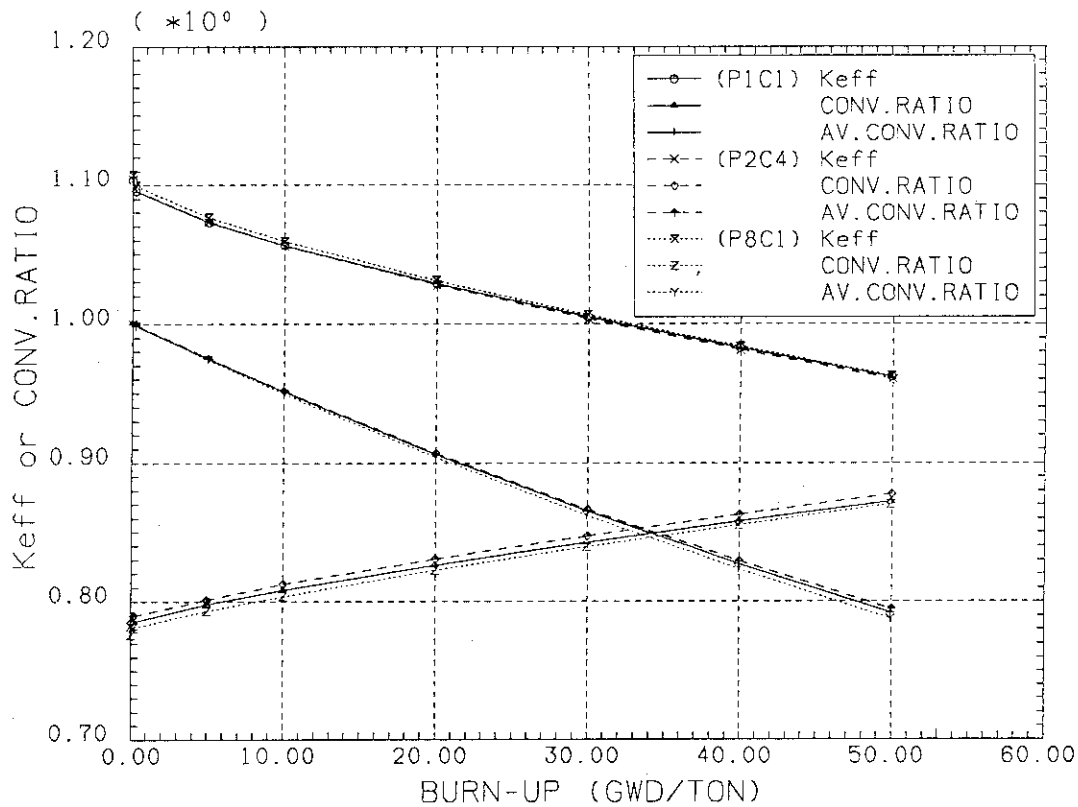


Fig.21 Burnup characteristics of  $k_{eff}$  and conversion ratio  
( $V_m/V_f=1.0$  E2=0.0% parameter:D1,D2)

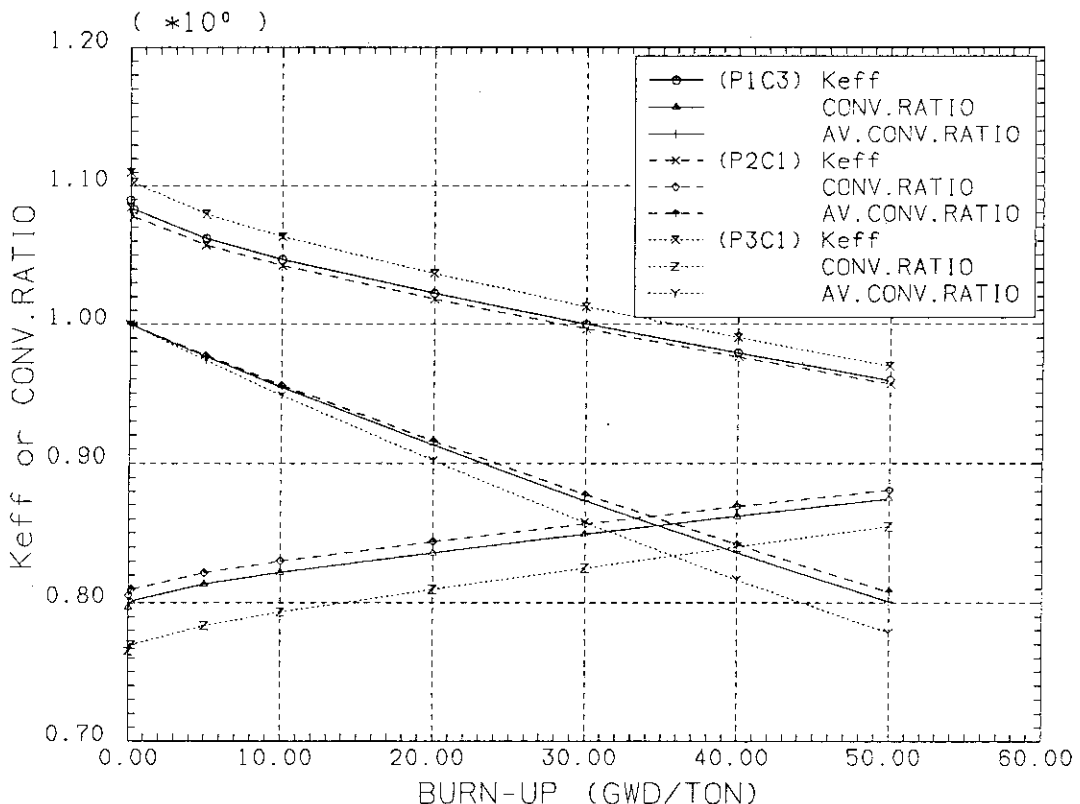


Fig.22 Burnup characteristics of  $k_{eff}$  and conversion ratio  
( $V_m/V_f=1.0$  E1=E2 parameter:D1,D2)

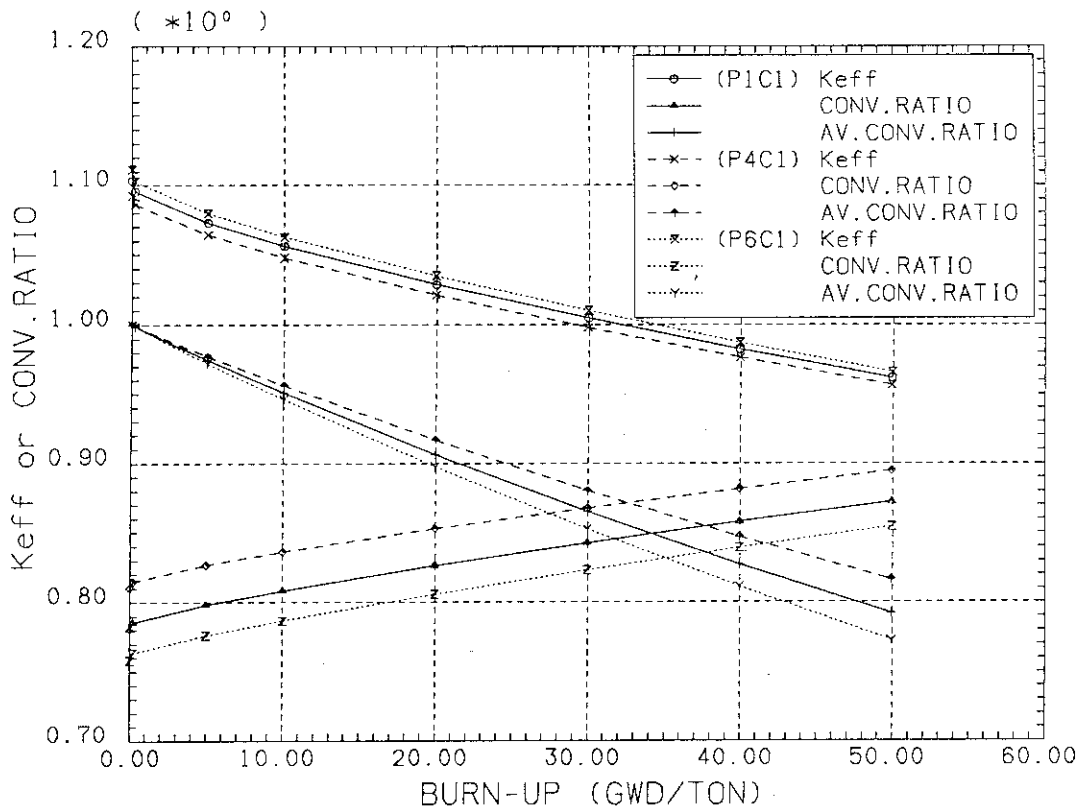


Fig.23 Burnup characteristics of  $k_{eff}$  and conversion ratio  
 $(D2=0.6\text{cm } E2=0.0\% \text{ parameter: } Vm/Vf)$

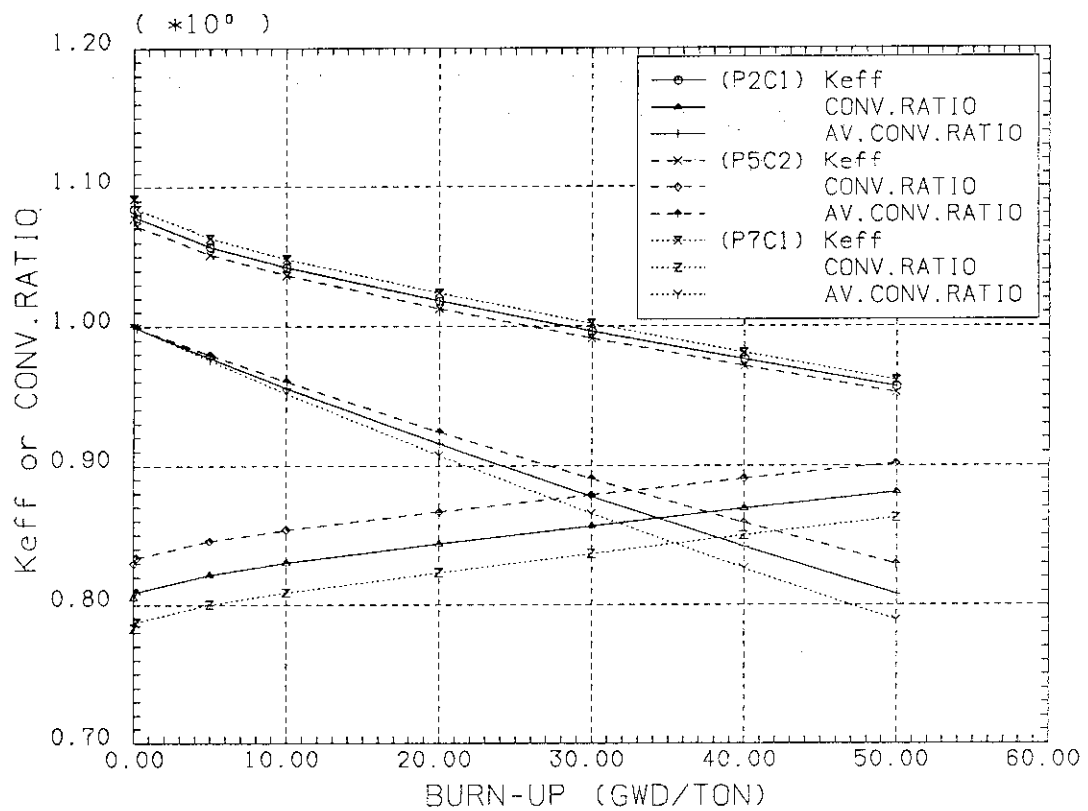
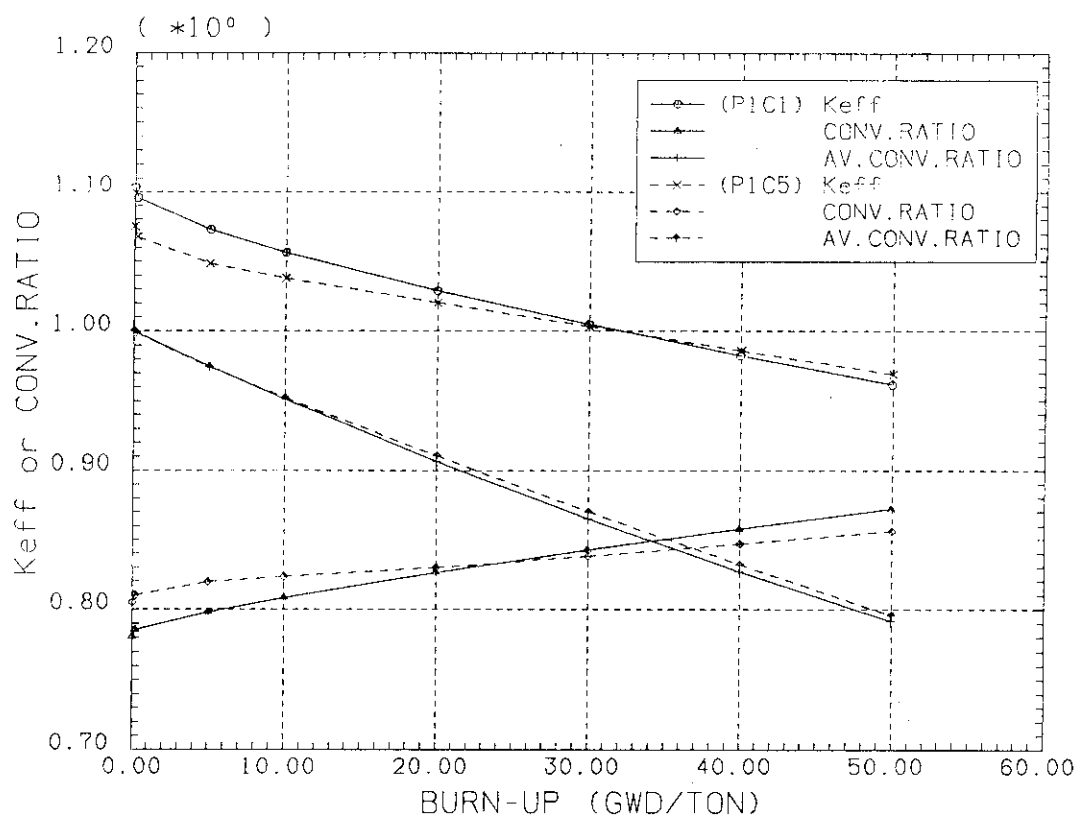


Fig.24 Burnup characteristics of  $k_{eff}$  and conversion ratio  
 $(D1=D2 \text{ } E1=E2 \text{ parameter: } Vm/Vf)$



**Fig.25** Burnup characteristics of  $k_{eff}$  and conversion ratio  
 $(D_1=0.95\text{cm } D_2=0.6\text{cm } E_1=9.5\%)$   
(P1C1) dep. $\text{UO}_2$  in rod 2 (P1C5) Th $\text{O}_2$  in rod 2

## 6. ま　と　め

本サーベイを通じて、HCLWRの転換率（資源利用率）、取り出し燃焼度（経済性）及び冷却材ボイド係数（安全性）の間の関係が定量的に明確になった。ここで、従来の軽水炉技術をベースに炉構造回り以外のプラント設備変更を最少限とする、というHCLWRに対して広く受け入れられている基本的前提に基づいて議論を行った。この前提のもとで、HCLWRに期待されている核的性能（或は核的性能に対する目標）は、以下のようなものであるとされている。

- ① 平均転換率 0.9 以上
- ② 達成可能な取り出し平均燃焼度 45000 MWD / t
- ③ 従来軽水炉と同等かそれ以上の安全性の確保

目標③を最低限の条件“冷却材ボイド係数が負”の条件に置き換えたとしても、上記の 3 つの目標を同時に満すことは困難である（Fig. 12 及び 13）。ここで計算は、あくまでも格子燃焼計算に基づくものであり、炉心計算を行うと全ての集合体を均一に燃焼させることが難かしく、さらに取り出し平均燃焼度の低下が懸念される。

一方、これまでの設計経験から、ブランケットを付けることにより平均転換率を 0.05程度上げることが可能であるとされている。さらに、ファータイルロッドや水排除棒による平均転換率に対する効果が 0.03 程度期待できると仮定すると、計 0.08 程度格子計算による結果より高い平均転換率が期待できることになる。このような大胆な仮定のもとでは、目標②及び③を前提にしても、転換率 0.88 ~ 0.83 ( $V_m / V_f$  ; 1.0 ~ 1.4) が何とか達成できそうである。それ故、原研のHCLWRの設計研究分野における平均転換率に対する目標値として、前記①の 0.9 を採用し研究計画を進めていきたい。但し、ここで、炉の制御性に関して何らの制約も設けないで議論を進めたことに注意されたい。

本サーベイで得られたその他の結果を以下に簡単にまとめておく。

- 1) Pu インベントリーと転換率及び燃焼度とのトレード・オフの関係が定量的に確認された。  
(Fig. 14)
- 2) Pu の組成がボイド係数に及ぼす影響は無視できない。  
HCLWR設計上どのような履歴の Pu を用いるかは、1つの重要な設計パラメータとなる。
- 3)  $V_m / V_f$  が低い炉心では、U-235 は、Pu に比べ燃焼特性上かなり効率が落ちる。  
回収 U を HCLWR で使用する場合、稠密度の低い炉心 ( $V_m / V_f \geq 1.5$ ) に限られると考えられる。
- 4) Th をファータイルロッドとして用いると、理想的な燃焼核特性が得られる。  
Th は核エネルギー資源として高い潜在力を持っており、Th を利用する HCLWR は将来検討に値すると判断される。
- 5) 富化度や径の異なる燃料棒を集合体内で非均質に配置しても、核特性は向上しない。
- 6) 燃料棒径の変化の転換率及び取り出し燃焼度への影響は小さいが、Pu インベントリやボイド係数に対して影響がある。

- 7)  $V_m/V_f$  は転換比に、富化度は燃焼度に対して影響が大きい。
- 8) 被覆管について、0.04 cm厚のステンレスと0.06 cm厚のジルカロイは、ほぼ同じ核特性を与える。

## 謝 辞

草稿に目を通し数多くの有用なコメントを下された高野秀機原子炉システム研究室主任研究員に謝意を表します。

また、特に燃料組成に関して様々な情報をいただいた原子炉システム研究室奥村啓介氏、及び本サーベイ計算に御助力をいただいた I. S. L の土井英示、古沢真人の両氏に感謝致します。

- 7)  $V_m / V_f$  は転換比に、富化度は燃焼度に対して影響が大きい。
- 8) 被覆管について、0.04 cm厚のステンレスと0.06 cm厚のジルカロイは、ほぼ同じ核特性を与える。

## 謝 辞

草稿に目を通し数多くの有用なコメントを下された高野秀機原子炉システム研究室主任研究員に謝意を表します。

また、特に燃料組成に関して様々な情報をいただいた原子炉システム研究室奥村啓介氏、及び本サーベイ計算に御助力をいただいた I. S. L の土井英示、古沢真人の両氏に感謝致します。

## 参 考 文 献

- 1) Barre B. et al. : "Advanced PWRs: Prospects and Experimental Basis," ENC (European Nuclear Conf.) '86, June 1-5 1986 (Geneva).
- 2) Brogli R. et al. : "Assessing High Conversion PWR Concepts," ENC'86, June 1-5 1986 (Geneva).
- 3) Chawla R. et al. : "Reactivity and Reaction Rate Ratio Changes with Moderator Viodage in a Light Water High Converter Reactor Lattice," Nucl. Technol., 67, 360 (1984).
- 4) Chawla R. : "A Review of Lattice Calculation for the PROTEUS-LWHCR Phase I Experiments," NEACRP A-726 (1985).
- 5) Brogli R. et al. : "Research Activities on LWHCRs at EIR: Present Status and Future Development," EIR-Bericht Nr. 525 (1984).
- 6) Tsuchihashi K. et al. : "Reviced SRAC Code System," JAERI 1302 (1986).
- 7) 桜田光一他：“高転換沸騰水型炉の燃焼ベンチマーク計算,” 日本原子力学会昭和61年秋の分科会F 9.
- 8) 秋江拓志他：“高転換加圧水型炉のベンチマーク計算,” 同上F 18
- 9) 松浦祥次郎：“高転換加圧水炉の概念と技術課題” 日本原子力学会誌 Vol. 26 No. 26 (1984).
- 10) 竹田敏一：“高転換軽水炉 —— 各国の開発状況とわが国の現状 ---,” 日刊工業新聞社「原子力工業」第31巻3号, 4号 (1985).
- 11) 松浦祥次郎他：“高転換軽水炉の諸問題,” 第18回炉物理夏期セミナー (1986).
- 12) Penndorff K. et al. : "Some Neutron Physical Consequences of Maximizing the Conversion Ratio of Pressurized Water Reactors Operated in the Uranium-Plutonium Cycle," Nucl. Technol. 59, 256 (1982).
- 13) Broeders C.H.M. et al. : "Conceptual Design of a (Pu,U)<sub>0.2</sub> Core with a Tight Fuel Rod Lattice for an Advanced Pressurized Light Water Reactor," Nucl. Technol. 71, 82 (1985).
- 14) Ishiguro Y. : "PEACO-II: A Code for Calculation of Effective Cross Section in Heterogeneous Systems," JAERI-M 5527 (1974).
- 15) 石黒幸雄他：“高転換加圧水炉（HCPWR）の核特性解析上の問題点（SRACシステムによるPROTEUS-LWHCR炉心の解析）,” JAERI-M 84-180 (1984).
- 16) 石黒幸雄他：to be published.
- 17) Takano H. et al. : to be published.
- 18) Fowler T.B. et al. : "Nuclear Reactor Core Analysis Code: CITATION," ORNL-TM-2496 (1969).

- 19) Iijima S. et al. : "Fission Product Model for BWR Lattice Calculation Code," J. Nucl. Sci. Technol. 19, No.2 (1982).
- 20) Tsuchihashi K. et al. : "SRAC: JAERI Thermal Reactor Standard Code System for Reactor Design and Analysis," JAERI 1285 (1983).
- 21) 高野秀機他: to be published.
- 22) Oldekop W. et al. : "General Features of Advanced Pressurized Water Reactors with Improved Fuel Utilization," Nucl. Technol. 59, 212 (1982).

## 付録1. 燃焼計算結果

ピン径D, 体積比V, 富化度Eの格子に対する $k_{eff}$ , 転換率, 平均転換率の燃焼時間(Day及びMWD / t)依存性をまとめた表を示す。さらに, Eをパラメータとして $k_{eff}$ , 転換率, 平均転換率の燃焼変化をプロットした図も示す。

```
*****  
*****  
**      RESULT OF DEPLETION CALCULATION      **  
**          CLADDING MATERIAL IS ZRY          **  
*****  
*****
```

		NO.		V	E	1	2	3	4	5	6	7	8	9
1	1	0.851	0.91	7.01	BURN-UP(DAY)	0.0	18.79	75.25	188.41	377.72	567.77	758.58	950.15	1142.51
BURN-UP(MWDT/TON)		0.0	832.87	3331.49	8328.72	16657.0	24986.20	33314.90	41643.60	49972.40				
K-EFF		1.05030	1.03666	1.02398	1.00480	0.97956	0.95761	0.93760	0.91908	0.90184				
C-RATIO		0.80824	0.81762	0.82464	0.83459	0.84751	0.85930	0.87050	0.88116	0.89123				
AV.C-RATIO		1.00000	0.99481	0.98433	0.96559	0.93518	0.90757	0.88132	0.85667	0.83411				
2	1	0.851	0.91	8.01	BURN-UP(DAY)	0.0	18.79	75.26	188.45	377.83	567.93	758.76	950.34	1142.70
BURN-UP(MWDT/TON)		0.0	833.08	3332.33	8330.84	16661.70	24992.50	33323.40	41654.20	49985.10				
K-EFF		1.07598	1.06390	1.05124	1.03120	1.00460	0.98153	0.96049	0.94099	0.92279				
C-RATIO		0.76822	0.77591	0.78273	0.79326	0.80755	0.82069	0.83327	0.84536	0.85691				
AV.C-RATIO		1.00000	0.99466	0.98381	0.96291	0.93043	0.90032	0.87159	0.84446	0.81967				
3	1	0.851	0.91	9.01	BURN-UP(DAY)	0.0	18.79	75.26	188.48	377.90	568.02	758.85	950.43	1142.76
BURN-UP(MWDT/TON)		0.0	832.91	3331.64	8329.11	16658.20	24987.40	33316.40	41645.50	49974.70				
K-EFF		1.10094	1.09011	1.07755	1.05694	1.02918	1.00512	0.98318	0.96281	0.94375				
C-RATIO		0.73169	0.73811	0.74467	0.75544	0.77059	0.78466	0.79821	0.81132	0.82398				
AV.C-RATIO		1.00000	0.99506	0.98391	0.96185	0.92768	0.89544	0.86512	0.83666	0.80951				
4	1	0.851	1.01	6.01	BURN-UP(DAY)	0.0	18.79	75.25	188.42	377.74	567.80	758.60	950.16	1142.48
BURN-UP(MWDT/TON)		0.0	833.09	3332.35	8330.87	16661.80	24992.70	33323.50	41654.40	49985.30				
K-EFF		1.03781	1.02079	1.00766	0.98896	0.96418	0.94233	0.92228	0.90368	0.88639				
C-RATIO		0.81871	0.83089	0.83856	0.84843	0.86107	0.87263	0.88358	0.89393	0.90360				
AV.C-RATIO		1.00000	0.99432	0.98319	0.96233	0.93072	0.90120	0.87362	0.84812	0.82442				
5	1	0.851	1.01	7.01	BURN-UP(DAY)	0.0	18.79	75.26	188.46	377.85	567.95	758.78	950.34	1142.66
BURN-UP(MWDT/TON)		0.0	832.87	3331.49	8328.72	16657.50	24986.20	33314.90	41643.60	49985.10				
K-EFF		1.06172	1.04685	1.03370	1.01410	0.98818	0.96442	0.94453	0.92510	0.86695				
C-RATIO		0.78046	0.79031	0.79771	0.80819	0.82206	0.83485	0.84710	0.85883	0.86997				
AV.C-RATIO		1.00000	0.99423	0.98280	0.96066	0.92646	0.89427	0.86380	0.83591	0.80964				
6	1	0.851	1.01	8.01	BURN-UP(DAY)	0.0	18.79	75.27	188.48	377.92	568.04	758.87	950.42	1142.72
BURN-UP(MWDT/TON)		0.0	833.08	3332.33	8330.84	16661.70	24992.50	33323.40	41654.20	49985.10				
K-EFF		1.08513	1.07196	1.0590	1.03859	1.01116	0.98802	0.96637	0.94619	0.92727				
C-RATIO		0.74520	0.75331	0.76338	0.77116	0.78585	0.79951	0.81268	0.82533	0.83769				
AV.C-RATIO		1.00000	0.99479	0.98247	0.95989	0.92368	0.89011	0.85837	0.82811	0.80058				
7	1	0.851	1.01	9.01	BURN-UP(DAY)	0.0	18.79	75.27	188.50	377.95	568.08	758.90	950.43	1142.68
BURN-UP(MWDT/TON)		0.0	832.91	3331.64	8329.11	16658.20	24987.40	33316.40	41645.50	49985.10				
K-EFF		1.10801	1.09628	1.08340	1.06262	1.03473	1.01043	0.98814	0.96733	0.94776				
C-RATIO		0.71268	0.71947	0.72618	0.73701	0.75220	0.76642	0.78021	0.7965	0.80671				
AV.C-RATIO		1.00000	0.99465	0.98276	0.95925	0.92282	0.88761	0.85475	0.82387	0.79452				
8	1	0.851	1.11	5.01	BURN-UP(DAY)	0.0	18.80	75.26	188.46	377.85	567.97	758.81	950.38	1142.70
BURN-UP(MWDT/TON)		0.0	832.88	3331.54	8328.85	16657.70	24986.60	33315.40	41644.20	49985.10				
K-EFF		1.03019	1.00890	0.99534	0.97682	0.95167	0.92929	0.90869	0.88860	0.87191				
C-RATIO		0.82232	0.83799	0.84657	0.85702	0.87054	0.88275	0.89413	0.90470	0.91439				
AV.C-RATIO		1.00000	0.99318	0.98077	0.95774	0.92252	0.89014	0.86038	0.83293	0.80774				

NO.	B	V	F	1	2	3	4	5	6	7	8	9
9   0.85   1.1   6.0 BURN-UP(DAY)	0.0	18.79	75.27	188.49	377.94	568.10	758.97	950.55	1142.88			
BURN-UP(MWDT/TON)	0.0	833.09	333.35	8330.87	16661.80	24992.70	33323.50	41654.40	49985.30			
K-EFF	1.05204	1.03366	1.01999	1.00069	0.97431	0.95186	0.93068	0.91096	0.89255			
C-RATIO	0.78658	0.79914	0.80732	0.81811	0.83236	0.84547	0.85793	0.86975	0.88083			
AV.C-RATIO	1.50000	0.99357	0.98111	0.95682	0.91906	0.88414	0.85172	0.82554	0.79344			
10   0.85   1.11 7.0 BURN-UP(DAY)	0.0	18.79	75.27	188.51	377.99	568.16	759.02	950.59	1142.89			
BURN-UP(MWDT/TON)	0.0	832.87	3331.49	8328.72	16657.50	24986.20	33314.90	41643.60	49972.40			
K-EFF	1.07375	1.05767	1.04407	1.02407	0.99443	0.97386	0.95213	0.93182	0.91276			
C-RATIO	0.75322	0.76345	0.77119	0.78218	0.79697	0.81074	0.82399	0.83674	0.84890			
AV.C-RATIO	1.00000	0.99431	0.98114	0.95610	0.91727	0.88088	0.84738	0.81525	0.78553			
11   0.85   1.11 8.0 BURN-UP(DAY)	0.0	18.79	75.27	188.52	378.02	568.18	759.02	950.56	1142.82			
BURN-UP(MWDT/TON)	0.0	833.08	3332.33	8330.84	16661.70	24992.50	33323.40	41654.40	49985.10			
K-EFF	1.09512	1.08094	1.06751	1.04695	1.01939	0.99551	0.97329	0.95249	0.93290			
C-RATIO	0.72215	0.73061	0.73790	0.74892	0.76605	0.77823	0.79199	0.80537	0.81830			
AV.C-RATIO	1.00000	0.99428	0.98106	0.95606	0.91697	0.87989	0.84503	0.81203	0.78112			
12   0.85   1.11 9.0 BURN-UP(DAY)	0.0	18.79	75.28	188.52	378.02	568.18	758.99	950.49	1142.69			
BURN-UP(MWDT/TON)	0.0	832.91	3331.64	8329.11	16658.00	24987.40	33316.40	41655.50	49974.70			
K-EFF	1.11613	1.10343	1.09021	1.06925	1.04117	1.01655	0.99383	0.97253	0.95243			
C-RATIO	0.69321	0.70033	0.70719	0.71810	0.73742	0.74786	0.76195	0.77576	0.78924			
AV.C-RATIO	1.00000	0.99476	0.98155	0.95696	0.91705	0.87976	0.84469	0.81100	0.77927			
13   0.85   1.41 5.0 BURN-UP(DAY)	0.0	18.80	75.32	188.72	378.65	569.21	760.41	952.26	1144.78			
BURN-UP(MWDT/TON)	0.0	832.88	3331.54	8328.85	16657.70	24986.60	33315.0	41644.20	49973.10			
K-EFF	1.07458	1.04943	1.03436	1.01352	0.98445	0.95827	0.93391	0.91108	0.88970			
C-RATIO	0.72918	0.74514	0.75523	0.76911	0.78836	0.80601	0.82228	0.83808	0.85241			
AV.C-RATIO	1.00000	0.99122	0.97224	0.93655	0.88227	0.83218	0.78626	0.74396	0.70515			
14   0.85   1.41 6.0 BURN-UP(DAY)	0.0	18.80	75.31	188.68	378.53	569.00	760.11	951.87	1144.29			
BURN-UP(MWDT/TON)	0.0	833.09	3332.35	8330.87	16661.80	24992.70	33323.50	41654.40	49985.30			
K-EFF	1.09126	1.06935	1.05444	1.03362	1.00493	0.97910	0.95499	0.93228	0.91084			
C-RATIO	0.70522	0.71832	0.72750	0.74037	0.75839	0.77525	0.79141	0.80637	0.82152			
AV.C-RATIO	1.00000	0.99209	0.97448	0.94063	0.88841	0.83979	0.79438	0.75209	0.71282			
15   0.85   1.41 7.0 BURN-UP(DAY)	0.0	18.80	75.30	188.65	378.42	568.81	759.83	951.49	1143.80			
BURN-UP(MWDT/TON)	0.0	832.87	3331.49	8328.72	16657.50	24986.20	33314.90	41643.60	49972.40			
K-EFF	1.10795	1.08866	1.07400	1.05302	1.02446	0.99880	0.97483	0.95217	0.93068			
C-RATIO	0.68235	0.69324	0.70167	0.71384	0.73096	0.74713	0.76225	0.77828	0.79306			
AV.C-RATIO	1.00000	0.99309	0.97626	0.94404	0.88360	0.84656	0.80299	0.76027	0.72109			
16   0.85   1.41 8.0 BURN-UP(DAY)	0.0	18.80	75.30	188.62	378.34	568.65	759.58	951.14	1143.36			
BURN-UP(MWDT/TON)	0.0	833.08	3332.33	8330.84	16661.70	24992.50	33323.40	41654.20	49985.10			
K-EFF	1.12455	1.10745	1.09309	1.07194	1.04341	1.01785	0.9939	0.97139	0.94989			
C-RATIO	0.66055	0.66972	0.67749	0.68910	0.70551	0.72117	0.73633	0.75163	0.76639			
AV.C-RATIO	1.00000	0.99327	0.97753	0.94683	0.88852	0.85248	0.80351	0.76804	0.72913			

NO.	0	V	E	1	2	3	4	5	6	7	8	9
<hr/>												
17   0.851 1.41 9.01 BURN-UP(DAY)	0.0	18.80	75.29	188.60	378.26	568.50	759.35	950.83	1142.94			
BURN-UP(MW/DAY)	0.0	832.91	3331.64	8329.11	16658.20	24987.40	33316.40	41645.50	49974.70			
K-EFF	4.14106	1.12572	1.11168	1.09036	1.06169	1.03612	1.01125	0.98962	0.96805			
C-RATIO	0.63978	0.64740	0.65479	0.66593	0.68177	0.69696	0.71195	0.72621	0.74147			
AV.C-RATIO	1.00000	0.99386	0.97849	0.94907	0.90267	0.85811	0.81549	0.77500	0.73670			
<hr/>												
18   0.951 0.91 7.01 BURN-UP(DAY)	0.0	24.30	97.29	243.63	488.47	734.28	981.08	1228.89	1477.72			
BURN-UP(MW/DAY)	0.0	832.87	3331.49	8328.73	16657.40	24986.30	33315.00	41643.70	49972.30			
K-EFF	1.06864	1.05593	1.04226	1.02166	0.99462	0.97110	0.94970	0.92996	0.91167			
C-RATIO	0.79469	0.80309	0.81071	0.82171	0.83628	0.84965	0.86235	0.87441	0.88577			
AV.C-RATIO	1.00000	0.99461	0.98368	0.96273	0.92978	0.89923	0.87024	0.84427	0.81929			
<hr/>												
19   0.951 0.91 8.01 BURN-UP(DAY)	0.0	24.30	97.30	243.67	488.59	734.45	981.27	1229.08	1477.90			
BURN-UP(MW/DAY)	0.0	833.08	3332.34	8330.84	16661.70	24992.60	33323.40	41654.20	49985.00			
K-EFF	1.09424	1.08294	1.06933	1.04792	1.01934	0.99494	0.97254	0.95183	0.93256			
C-RATIO	0.75583	0.76275	0.77009	0.78152	0.79721	0.81173	0.82564	0.83999	0.85173			
AV.C-RATIO	1.00000	0.99506	0.98318	0.96092	0.92537	0.89271	0.86208	0.83318	0.80614			
<hr/>												
20   0.951 0.91 9.01 BURN-UP(DAY)	0.0	24.30	97.31	243.70	488.67	734.55	981.37	1229.15	1477.94			
BURN-UP(MW/DAY)	0.0	832.91	3331.65	8329.11	16658.20	24987.40	33316.50	41645.60	49974.60			
K-EFF	1.11913	1.10895	1.09547	1.07350	1.04398	1.01840	0.99512	0.97355	0.95343			
C-RATIO	0.72032	0.72615	0.73316	0.74470	0.76109	0.77636	0.79109	0.80535	0.81910			
AV.C-RATIO	1.00000	0.99495	0.98279	0.95997	0.92335	0.88891	0.85685	0.82356	0.79812			
<hr/>												
21   0.951 0.91 6.01 BURN-UP(DAY)	0.0	24.30	97.30	243.65	488.54	734.39	981.20	1229.00	1477.81			
BURN-UP(MW/DAY)	0.0	833.09	3332.36	8330.88	16661.90	24992.70	33323.60	41654.40	49985.30			
K-EFF	1.05613	1.04029	1.02613	1.00599	0.97927	0.95574	0.93421	0.91431	0.89586			
C-RATIO	0.80315	0.81403	0.82237	0.83345	0.84802	0.86140	0.87407	0.88601	0.89713			
AV.C-RATIO	1.00000	0.99409	0.98244	0.95900	0.92360	0.89083	0.86049	0.83234	0.80642			
<hr/>												
22   0.951 1.01 7.01 BURN-UP(DAY)	0.0	24.30	97.31	243.69	488.65	734.54	981.37	1229.17	1477.97			
BURN-UP(MW/DAY)	0.0	832.87	3331.49	8328.73	16657.40	24986.30	33315.00	41643.70	49972.30			
K-EFF	1.07997	1.06612	1.05196	1.03094	1.00315	0.97876	0.95642	0.93770	0.91641			
C-RATIO	0.76611	0.77493	0.77925	0.78291	0.79440	0.80988	0.82426	0.83803	0.85121	0.86370		
AV.C-RATIO	1.00000	0.99475	0.98209	0.95773	0.92027	0.88501	0.85239	0.82233	0.79397			
<hr/>												
23   0.951 1.01 8.01 BURN-UP(DAY)	0.0	24.30	97.31	243.71	488.72	734.62	981.45	1229.23	1477.98			
BURN-UP(MW/DAY)	0.0	833.08	3332.34	8330.84	16661.70	24992.60	33323.40	41654.20	49985.00			
K-EFF	1.10329	1.09099	1.07695	1.05527	1.02616	1.00128	0.97820	0.95674	0.93669			
C-RATIO	0.73194	0.73925	0.74681	0.75844	0.77453	0.78957	0.80410	0.81815	0.83166			
AV.C-RATIO	1.00000	0.99462	0.98184	0.95720	0.91859	0.88232	0.84806	0.81653	0.78619			
<hr/>												
24   0.951 1.01 9.01 BURN-UP(DAY)	0.0	24.30	97.31	243.73	488.75	734.66	981.46	1229.19	1477.89			
BURN-UP(MW/DAY)	0.0	832.91	3331.65	8329.11	16658.20	24987.40	33316.50	41645.60	49974.60			
K-EFF	1.12608	1.11508	1.10124	1.07909	1.04942	1.02355	0.99986	0.97779	0.95710			
C-RATIO	0.70042	0.70656	0.71371	0.72529	0.74170	0.75714	0.77243	0.8675	0.80095			
AV.C-RATIO	1.00000	0.99501	0.98215	0.95732	0.91819	0.88097	0.84623	0.8120	0.78231			

NO.	D	V	E	1	2	3	4	5	6	7	8	9
25	1 0.95 1 1.1 5.0	BURN-UP(DAY)	0.0	24.30	97.31	243.71	488.73	734.68	981.58	129.43	1478.26	
	BURN-UP(MWD/TON)	0.0	832.89	3331.55	8328.86	16657.70	24986.70	33315.50	41644.30	49973.10		
	K-EFF	1.04850	1.02864	1.01401	0.99396	0.96673	0.94254	0.92055	0.89887	0.88096		
	C-RATIO	0.80504	0.81908	0.82838	0.84023	0.85597	0.87028	0.88362	0.89597	0.90725		
	AV.C-RATIO	1.00000	0.99327	0.97925	0.95333	0.91376	0.87739	0.84418	0.81372	0.78529		
26	1 0.95 1 1.1 6.0	BURN-UP(DAY)	0.0	24.30	97.32	243.74	488.81	734.79	981.70	1229.56	1478.39	
	BURN-UP(MWD/TON)	0.0	833.09	3332.36	8330.88	16661.80	24992.70	33323.60	41654.40	49985.30		
	K-EFF	1.07032	1.05320	1.03850	1.01773	0.9987	0.96515	0.94242	0.92130	0.90167		
	C-RATIO	0.77046	0.78169	0.79050	0.80243	0.81855	0.83349	0.84769	0.86114	0.87373		
	AV.C-RATIO	1.00000	0.99342	0.97953	0.95267	0.91165	0.87338	0.83791	0.80507	0.77468		
27	1 0.95 1 1.1 7.0	BURN-UP(DAY)	0.0	24.30	97.32	243.76	488.84	734.83	981.72	1229.54	1478.32	
	BURN-UP(MWD/TON)	0.0	832.87	3331.49	8328.73	16657.40	24986.30	33315.00	41643.70	49972.30		
	K-EFF	1.09197	1.07699	1.06237	1.04094	1.01238	0.98713	0.96397	0.94219	0.92192		
	C-RATIO	0.73819	0.74736	0.75564	0.76759	0.78397	0.79932	0.81411	0.82834	0.84192		
	AV.C-RATIO	1.00000	0.99411	0.97977	0.95311	0.91089	0.87208	0.83554	0.80096	0.76900		
28	1 0.95 1 1.1 8.0	BURN-UP(DAY)	0.0	24.30	97.32	243.76	488.86	734.82	981.67	1229.44	1478.15	
	BURN-UP(MWD/TON)	0.0	833.08	3332.34	8330.84	16661.70	24992.60	33323.40	41654.20	49985.00		
	K-EFF	1.11325	1.10001	1.08558	1.06363	1.03442	1.00869	0.9848	0.96284	0.94204		
	C-RATIO	0.70814	0.71576	0.72352	0.73536	0.75186	0.76743	0.7825	0.79727	0.81149		
	AV.C-RATIO	1.00000	0.99411	0.98038	0.95331	0.91120	0.87188	0.83443	0.79965	0.76644		
29	1 0.95 1 1.1 9.0	BURN-UP(DAY)	0.0	24.30	97.32	243.76	488.85	734.79	981.59	1229.30	1477.93	
	BURN-UP(MWD/TON)	0.0	832.91	3331.65	8329.11	16658.20	24987.40	33316.50	41645.60	49974.60		
	K-EFF	1.13416	1.12227	1.10808	1.08574	1.05584	1.02960	1.00243	0.98282	0.96152		
	C-RATIO	0.68015	0.68688	0.69386	0.70550	0.72202	0.73768	0.75798	0.76600	0.78267		
	AV.C-RATIO	1.00000	0.99461	0.98089	0.95441	0.91226	0.87287	0.83494	0.79957	0.76624		
30	1 0.95 1 1.4 5.0	BURN-UP(DAY)	0.0	24.30	97.39	244.07	489.79	736.34	983.74	1237.00	1481.15	
	BURN-UP(MWD/TON)	0.0	832.89	3331.55	8328.86	16657.70	24986.70	33315.50	41654.30	49973.10		
	K-EFF	1.09261	1.06906	1.05294	1.03050	0.99917	0.97095	0.94472	0.92021	0.89733		
	C-RATIO	0.71147	0.72283	0.73646	0.75152	0.77279	0.79252	0.81114	0.82861	0.84477		
	AV.C-RATIO	1.00000	0.99114	0.97063	0.93185	0.87295	0.81878	0.76914	0.72373	0.68218		
31	1 0.95 1 1.4 6.0	BURN-UP(DAY)	0.0	24.30	97.37	244.00	489.59	736.01	983.26	1231.38	1480.38	
	BURN-UP(MWD/TON)	0.0	833.09	3332.36	8330.88	16661.80	24992.70	33323.60	41654.40	49985.30		
	K-EFF	1.10934	1.08890	1.07296	1.05063	1.01980	0.99201	0.96612	0.94178	0.91885		
	C-RATIO	0.68827	0.70003	0.70969	0.72354	0.74327	0.76192	0.77987	0.79709	0.81346		
	AV.C-RATIO	1.00000	0.99186	0.97282	0.93670	0.88053	0.82819	0.77930	0.73430	0.69260		
32	1 0.95 1 1.4 7.0	BURN-UP(DAY)	0.0	24.30	97.36	243.95	489.43	735.72	982.83	1230.79	1479.64	
	BURN-UP(MWD/TON)	0.0	832.87	3331.49	8328.73	16657.40	24986.30	33315.00	41643.70	49972.30		
	K-EFF	1.12602	1.10006	1.09237	1.06995	1.03936	1.01183	0.98614	0.96190	0.93897		
	C-RATIO	0.66619	0.67597	0.68482	0.69782	0.71641	0.73418	0.75152	0.76843	0.78478		
	AV.C-RATIO	1.00000	0.99289	0.97477	0.94078	0.88683	0.83644	0.78933	0.7459	0.70312		

NO.	D	V	E	1	2	3	4	5	6	7	8	9
33   0.95   1.4   8.0   BURN-UP(DAY)	0.0	24.30	97.35	243.90	489.29	735.47	982.45	1230.28	1478.96			
BURN-UP(MWDT/TON)	0.0	833.08	3332.34	8330.84	16666.70	24992.60	33323.40	41654.20	49985.00			
K-EFF	1.14257	1.12664	1.11128	1.08872	1.05823	1.03088	1.00536	0.98123	0.95832			
C-RATIO	0.64517	0.63341	0.66156	0.67390	0.69158	0.70860	0.72536	0.74186	0.75804			
AV.C-RATIO	1.00000	0.99361	0.97621	0.94396	0.89240	0.84337	0.79716	0.75388	0.71295			
34   0.95   1.4   9.0   BURN-UP(DAY)	0.0	24.30	97.35	243.87	489.18	735.25	982.12	1229.81	1478.35			
BURN-UP(MWDT/TON)	0.0	832.91	3331.65	8329.11	16658.20	24987.40	33316.50	41645.60	49974.60			
K-EFF	1.15901	1.14470	1.12967	1.10697	1.07639	1.04903	1.02360	0.9949	0.97654			
C-RATIO	0.62516	0.63220	0.63973	0.65152	0.66849	0.68487	0.70111	0.71723	0.73318			
AV.C-RATIO	1.00000	0.99365	0.97778	0.94637	0.89701	0.84974	0.80517	0.76238	0.72198			
35   1.05   0.9   7.0   BURN-UP(DAY)	0.0	30.50	122.16	305.94	613.49	922.25	1232.27	1543.58	1856.20			
BURN-UP(MWDT/TON)	0.0	832.87	3331.49	8328.72	16657.40	24986.10	33314.90	41643.70	49972.30			
K-EFF	1.08264	1.07057	1.05596	1.03403	1.00518	0.98012	0.95738	0.93648	0.91718			
C-RATIO	0.78219	0.78992	0.79812	0.81015	0.82636	0.84130	0.85548	0.86892	0.88157			
AV.C-RATIO	1.00000	0.99513	0.98303	0.95980	0.92359	0.89076	0.86025	0.83154	0.80512			
36   1.05   0.9   8.0   BURN-UP(DAY)	0.0	30.50	122.17	305.99	613.62	922.43	1232.47	1543.77	1856.37			
BURN-UP(MWDT/TON)	0.0	833.08	3332.34	8330.84	16661.70	24992.50	33323.40	41654.30	49985.00			
K-EFF	1.10813	1.09735	1.08282	1.06007	1.02993	1.00380	0.98098	0.95821	0.93794			
C-RATIO	0.74436	0.75078	0.75863	0.77095	0.79807	0.80398	0.81921	0.83382	0.84776			
AV.C-RATIO	1.00000	0.99490	0.98256	0.95823	0.92048	0.88549	0.85292	0.82229	0.79364			
37   1.05   0.9   9.0   BURN-UP(DAY)	0.0	30.50	122.18	306.02	613.70	922.53	1232.56	1543.82	1856.36			
BURN-UP(MWDT/TON)	0.0	832.91	3331.65	8329.10	16658.20	24987.30	33316.50	41645.60	49974.60			
K-EFF	1.13290	1.12314	1.10876	1.08546	1.05418	1.02710	1.00251	0.97980	0.95867			
C-RATIO	0.70980	0.71523	0.72269	0.73503	0.75267	0.76917	0.78509	0.80050	0.81536			
AV.C-RATIO	1.00000	0.99475	0.98218	0.95748	0.91897	0.88274	0.84838	0.81644	0.78647			
38   1.05   1.0   6.0   BURN-UP(DAY)	0.0	30.50	122.17	305.99	613.63	922.47	1232.54	1543.87	1856.49			
BURN-UP(MWDT/TON)	0.0	833.09	3332.35	8330.87	16661.80	24992.60	33323.60	41654.50	49985.20			
K-EFF	1.07087	1.05586	1.04069	1.01913	0.99006	0.96523	0.94222	0.92104	0.90149			
C-RATIO	0.78794	0.79791	0.80690	0.81916	0.83365	0.85088	0.86528	0.87882	0.89141			
AV.C-RATIO	1.00000	0.99386	0.98085	0.95561	0.91642	0.88044	0.84714	0.81655	0.78835			
39   1.05   1.0   7.0   BURN-UP(DAY)	0.0	30.50	122.18	306.02	613.74	922.61	1232.69	1544.01	1856.60			
BURN-UP(MWDT/TON)	0.0	832.87	3331.49	8328.72	16657.40	24986.10	33314.90	41643.70	49972.30			
K-EFF	1.09460	1.08144	1.06629	1.04389	1.01420	0.98816	0.96437	0.94238	0.92197			
C-RATIO	0.75204	0.76016	0.76870	0.78119	0.79832	0.81432	0.82962	0.84426	0.85813			
AV.C-RATIO	1.00000	0.99456	0.98072	0.95467	0.91389	0.87628	0.84149	0.80849	0.77816			
40   1.05   1.0   8.0   BURN-UP(DAY)	0.0	30.50	122.19	306.05	613.80	922.68	1232.74	1544.02	1856.54			
BURN-UP(MWDT/TON)	0.0	833.08	3332.34	8330.84	16661.70	24992.50	33323.40	41654.30	49985.00			
K-EFF	1.11779	1.10606	1.09106	1.06799	1.03754	1.01053	0.98603	0.96332	0.94215			
C-RATIO	0.71894	0.72569	0.73375	0.74625	0.76376	0.78022	0.79612	0.8151	0.82629			
AV.C-RATIO	1.00000	0.99444	0.98059	0.95446	0.91333	0.87431	0.83804	0.80816	0.77214			

NO.	D	V	E	1	2	3	4	5	6	7	8	9
41	1 1.051 1.01 9.01 BURN-UP(DAY)	0.0	30.50	122.19	306.06	613.82	922.69	1232.71	1543.92	1856.36		
	BURN-UP(MWDT/TON)	0.0	832.91	3331.65	8329.10	16658.20	24987.30	33316.50	41645.60	49974.60		
	K-EFF	1.14044	1.12989	1.11511	1.09159	1.06009	1.03264	1.00754	0.98423	0.96244		
	C-RATIO	0.68837	0.69409	0.70167	0.71403	0.73170	0.74838	0.76460	0.77043	0.79579		
	AV.C-RATIO	1.00000	0.99486	0.98098	0.95472	0.91279	0.87403	0.83699	0.80221	0.76933		
42	1 1.051 1.11 5.01 BURN-UP(DAY)	0.0	30.50	122.19	306.08	613.91	922.92	1233.12	1544.55	1857.23		
	BURN-UP(MWDT/TON)	0.0	832.88	3331.54	8328.84	16657.70	24986.50	33315.40	41644.30	49973.10		
	K-EFF	1.06293	1.04418	1.02854	1.00702	0.97776	0.95180	0.92807	0.90625	0.88621		
	C-RATIO	0.8930	0.80212	0.81209	0.82525	0.84312	0.85946	0.87469	0.88777	0.90159		
	AV.C-RATIO	1.00000	0.99318	0.97771	0.94900	0.90527	0.86536	0.82879	0.79551	0.76531		
43	1 1.051 1.11 6.01 BURN-UP(DAY)	0.0	30.50	122.20	306.10	613.97	922.99	1233.19	1544.61	1857.26		
	BURN-UP(MWDT/TON)	0.0	833.09	3332.35	8330.87	16661.80	24992.60	33323.60	41654.50	49985.20		
	K-EFF	1.08470	1.06851	1.05282	1.03065	1.00082	0.97439	0.95014	0.92770	0.90690		
	C-RATIO	0.75572	0.76601	0.77539	0.78841	0.80634	0.82306	0.83895	0.85400	0.86808		
	AV.C-RATIO	1.00000	0.99320	0.97794	0.94919	0.90445	0.86299	0.82478	0.78935	0.75675		
44	1 1.051 1.11 7.01 BURN-UP(DAY)	0.0	30.50	122.20	306.11	613.99	922.98	1233.14	1544.50	1857.07		
	BURN-UP(MWDT/TON)	0.0	832.87	3331.49	8328.72	16657.40	24986.10	33314.90	41643.70	49972.30		
	K-EFF	1.10627	1.09209	1.07649	1.05369	1.02223	0.99630	0.97155	0.94856	0.92712		
	C-RATIO	0.72442	0.73284	0.74163	0.75451	0.77245	0.78937	0.80567	0.82136	0.83632		
	AV.C-RATIO	1.00000	0.99392	0.97899	0.94999	0.90509	0.86321	0.82369	0.78711	0.75319		
45	1 1.051 1.11 8.01 BURN-UP(DAY)	0.0	30.50	122.20	306.11	613.98	922.94	1233.14	1544.50	1857.07		
	BURN-UP(MWDT/TON)	0.0	833.08	3332.34	8330.84	16661.70	24992.50	33323.40	41654.30	49985.00		
	K-EFF	1.12745	1.11486	1.09948	1.07617	1.04510	1.01772	0.99256	0.96912	0.94717		
	C-RATIO	0.69528	0.70231	0.71052	0.72318	0.74105	0.75799	0.77447	0.79052	0.80602		
	AV.C-RATIO	1.00000	0.99394	0.97912	0.95046	0.90582	0.86375	0.82429	0.78710	0.75222		
46	1 1.051 1.11 9.01 BURN-UP(DAY)	0.0	30.50	122.20	306.10	613.95	922.87	1232.89	1544.07	1856.44		
	BURN-UP(MWDT/TON)	0.0	832.91	3331.65	8329.10	16658.20	24987.30	33316.50	41655.60	49974.60		
	K-EFF	1.14823	1.13689	1.12176	1.09807	1.06635	1.03849	1.01289	0.98399	0.96655		
	C-RATIO	0.66814	0.67410	0.68178	0.69415	0.71188	0.72876	0.74510	0.76152	0.77737		
	AV.C-RATIO	1.00000	0.99440	0.97972	0.95176	0.90731	0.86537	0.82665	0.78842	0.75305		
47	1 1.051 1.11 9.01 BURN-UP(DAY)	0.0	30.51	122.29	306.53	615.28	925.08	1235.96	1547.95	1861.08		
	BURN-UP(MWDT/TON)	0.0	832.88	3331.54	8328.84	16657.70	24986.50	33315.40	41644.30	49973.10		
	K-EFF	1.10717	1.08490	1.06778	1.04380	1.01025	0.98003	0.95199	0.92584	0.90152		
	C-RATIO	0.69543	0.70958	0.71971	0.73586	0.75907	0.78079	0.80140	0.82079	0.83875		
	AV.C-RATIO	1.00000	0.99105	0.96891	0.92734	0.85400	0.80609	0.75229	0.70466	0.66083		
48	1 1.051 1.11 9.01 BURN-UP(DAY)	0.0	30.51	122.27	306.44	614.99	924.58	1235.25	1547.03	1859.95		
	BURN-UP(MWDT/TON)	0.0	833.09	3332.35	8330.87	16661.80	24992.60	33323.60	41654.50	49985.20		
	K-EFF	1.12394	1.10163	1.08770	1.06391	1.03097	1.00128	0.97364	0.94771	0.92336		
	C-RATIO	0.67289	0.68366	0.69376	0.70852	0.72991	0.75027	0.77997	0.80698	0.83875		
	AV.C-RATIO	1.00000	0.99163	0.97191	0.93276	0.87288	0.81711	0.76537	0.71666	0.67350		

NO.	D	V	E	1	2	3	4	5	6	7	8	9
<hr/>												
49   1.05   1.4   7.0   BURN-UP(DAY)	0.0	30.51	122.25	306.36	614.75	924.15	1234.62	1546.19	1858.89			
BURN-UP(MWD/TON)	0.0	832.87	3331.49	8328.72	16657.40	24986.10	33314.90	4163.70	49972.30			
K-EFF	1.14062	1.12364	1.10698	1.08315	1.05053	1.02115	0.99318	0.96801	0.94366			
C-RATIO	0.65150	0.66045	0.66970	0.68349	0.70351	0.72279	0.74167	0.76013	0.77803			
AV.C-RATIO	1.00000	0.99270	0.97393	0.93747	0.87998	0.82665	0.77669	0.72969	0.68598			
<hr/>												
50   1.05   1.4   8.0   BURN-UP(DAY)	0.0	30.51	122.24	306.30	614.55	923.80	1234.09	1545.46	1857.95			
BURN-UP(MWD/TON)	0.0	833.08	3332.34	8330.84	16661.70	24992.50	33323.40	41654.30	49985.00			
K-EFF	1.15713	1.14204	1.12571	1.10177	1.05931	1.04017	1.01351	0.98740	0.96311			
C-RATIO	0.63115	0.63872	0.64723	0.66027	0.67922	0.69757	0.71569	0.73360	0.75118			
AV.C-RATIO	1.00000	0.99344	0.97541	0.94093	0.88616	0.83484	0.78649	0.74040	0.69740			
<hr/>												
51   1.05   1.4   9.0   BURN-UP(DAY)	0.0	30.51	122.23	306.25	614.38	923.49	1233.62	1544.81	1857.09			
BURN-UP(MWD/TON)	0.0	832.91	3331.65	8329.10	16658.20	24987.30	33316.50	41645.60	49974.60			
K-EFF	1.17348	1.15910	1.14391	1.11985	1.08735	1.05829	1.03122	1.00566	0.98137			
C-RATIO	0.61181	0.61829	0.62616	0.63858	0.65667	0.67424	0.69170	0.70908	0.72631			
AV.C-RATIO	1.00000	0.99350	0.97656	0.94357	0.89175	0.84178	0.79475	0.75017	0.70817			

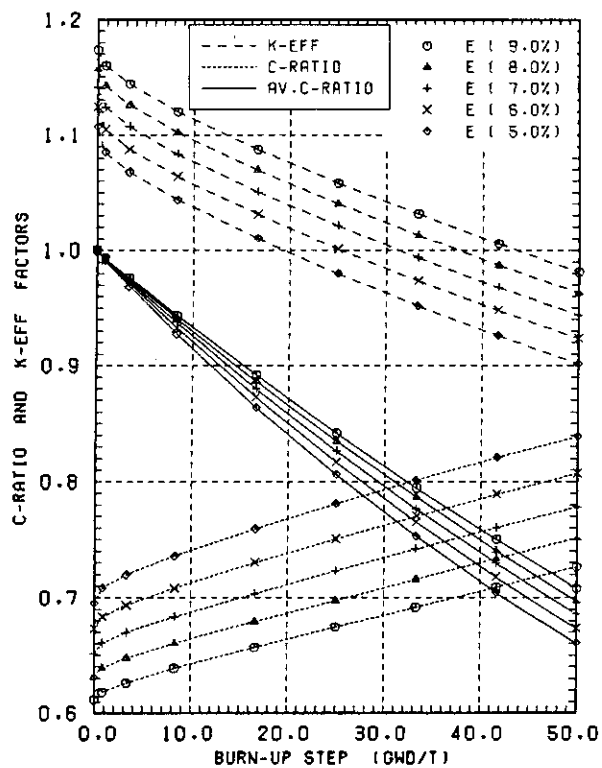


FIG. BURNUP CHARACTERISTICS OF C-RATIO AND K-EFF  
VM/VF=1.4 D=1.05(CM) CLAD= ZRY

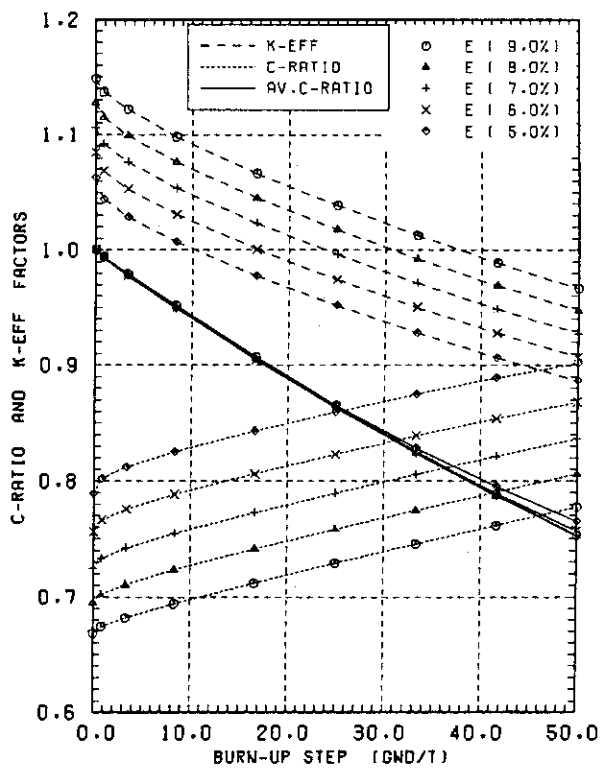


FIG. BURNUP CHARACTERISTICS OF C-RATIO AND K-EFF  
VM/VF=1.1 D=1.05(CM) CLAD= ZRY

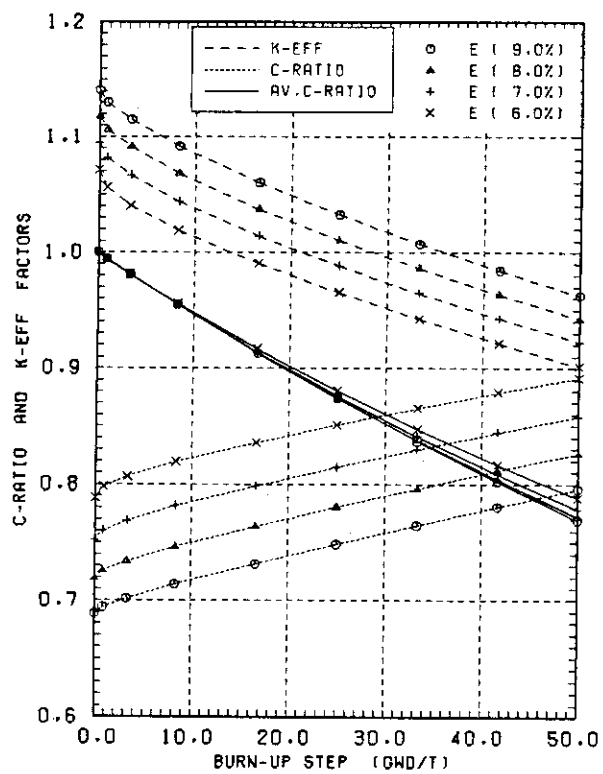


FIG. BURNUP CHARACTERISTICS OF C-RATIO AND K-EFF  
VM/VF=1.0 D=1.05(CM) CLAD= ZRY

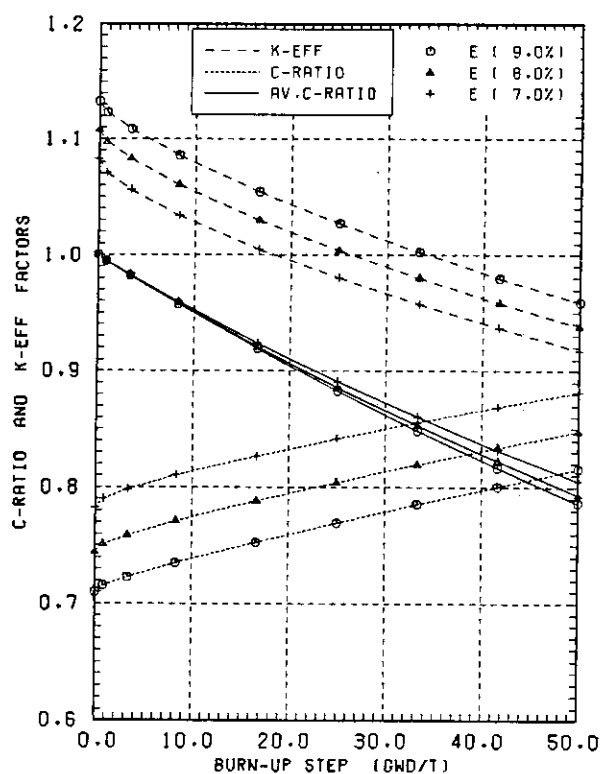


FIG. BURNUP CHARACTERISTICS OF C-RATIO AND K-EFF  
VM/VF=0.9 D=1.05(CM) CLAD= ZRY

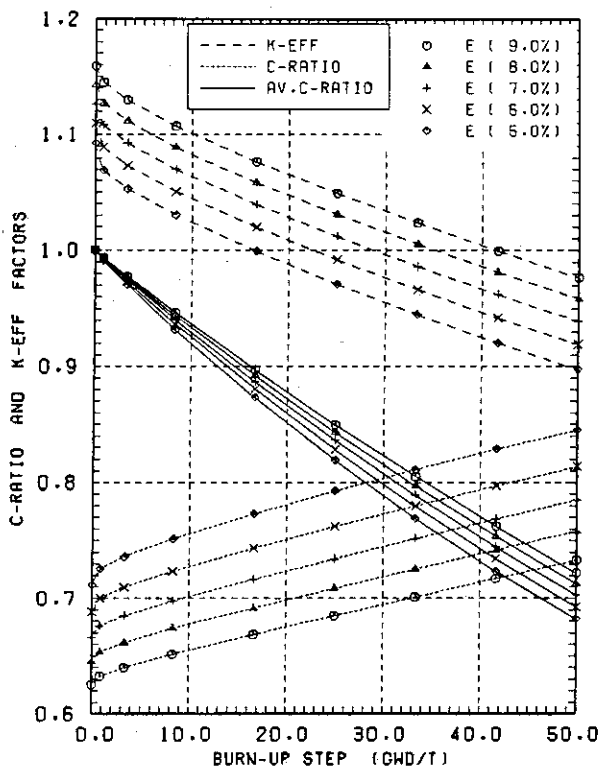


FIG. BURNUP CHARACTERISTICS OF C-RATIO AND K-EFF  
VM/VF=1.4 D=0.95(cm) CLAD= ZRY

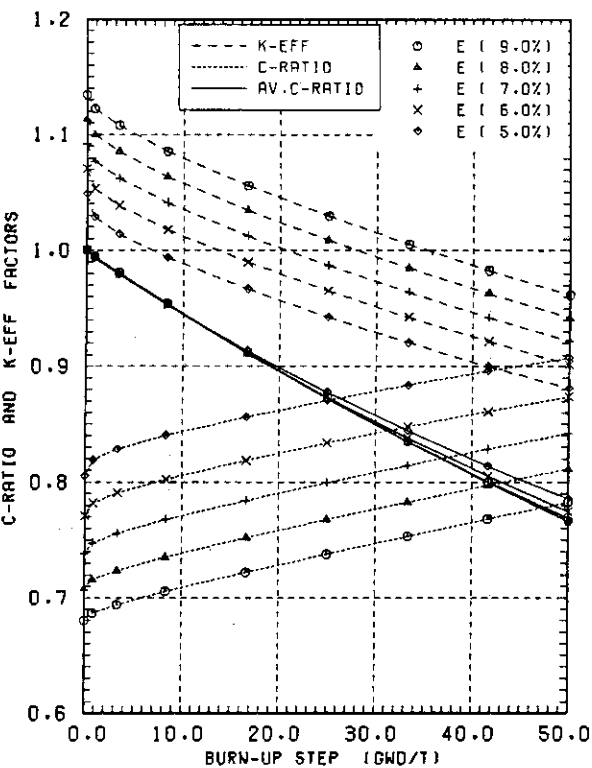


FIG. BURNUP CHARACTERISTICS OF C-RATIO AND K-EFF  
VM/VF=1.1 D=0.95(cm) CLAD= ZRY

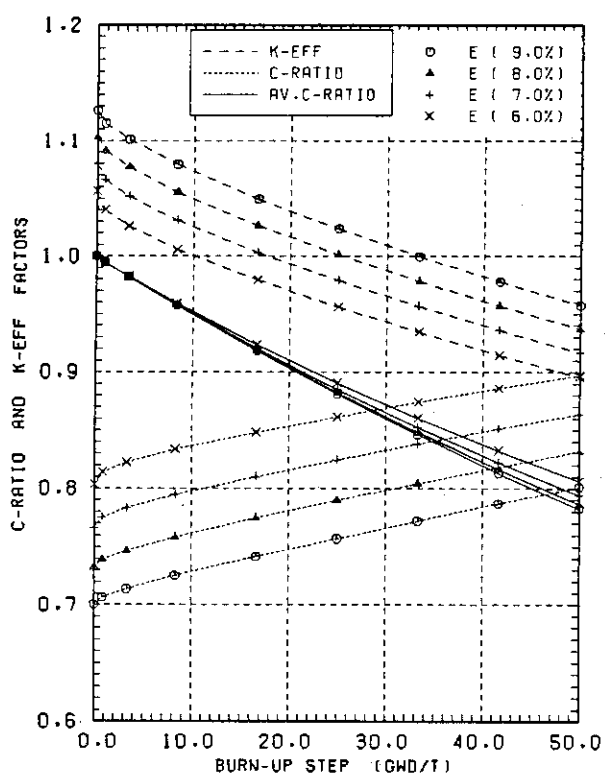


FIG. BURNUP CHARACTERISTICS OF C-RATIO AND K-EFF  
VM/VF=1.0 D=0.95(cm) CLAD= ZRY

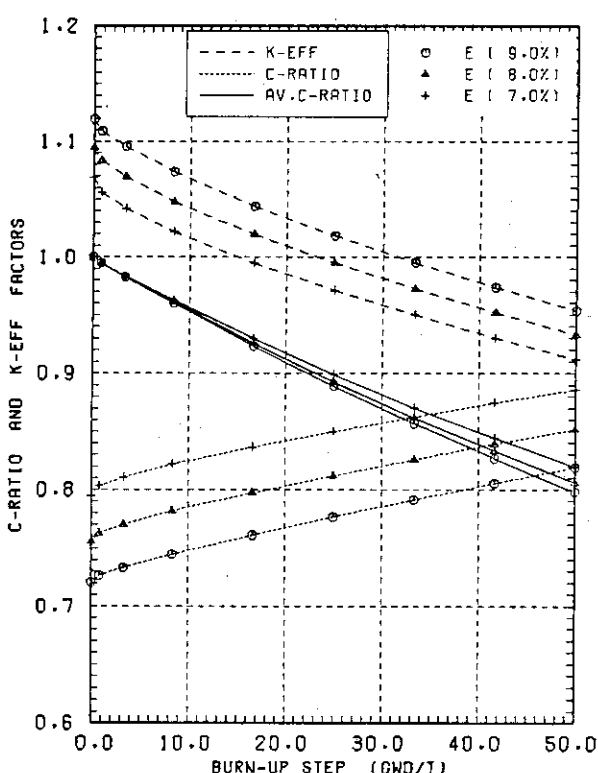
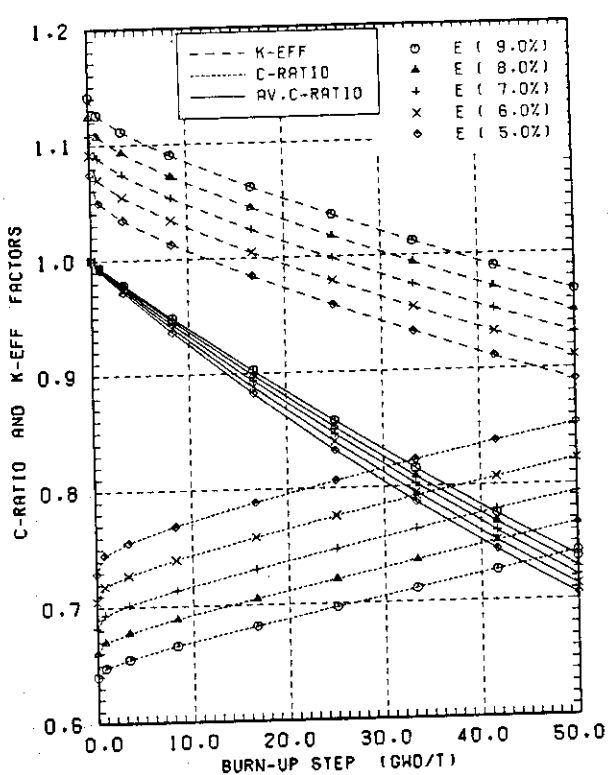
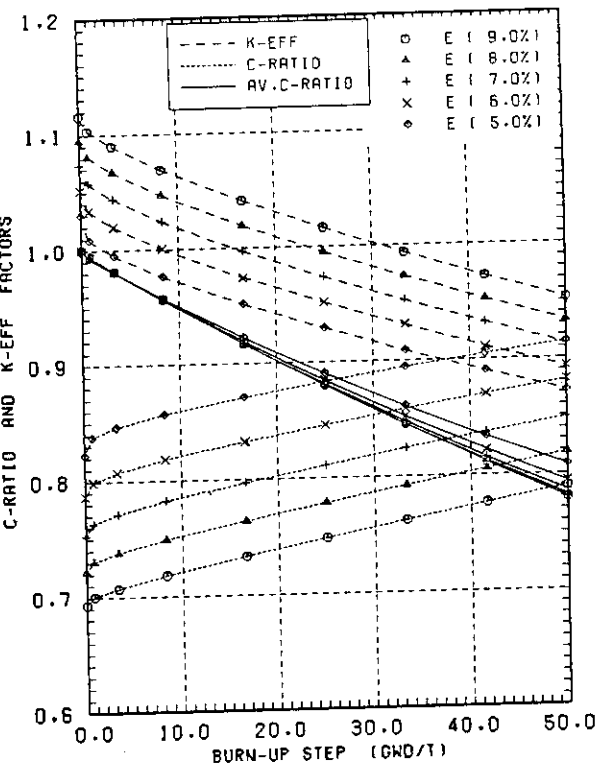
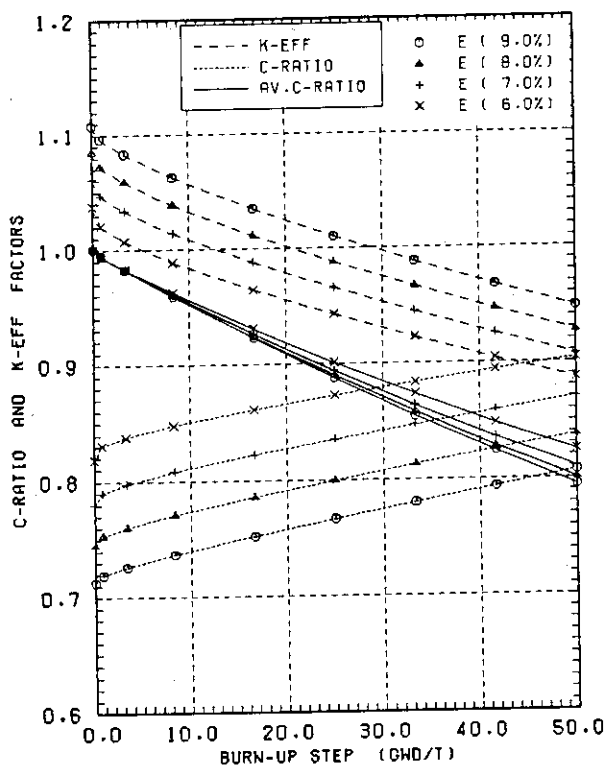
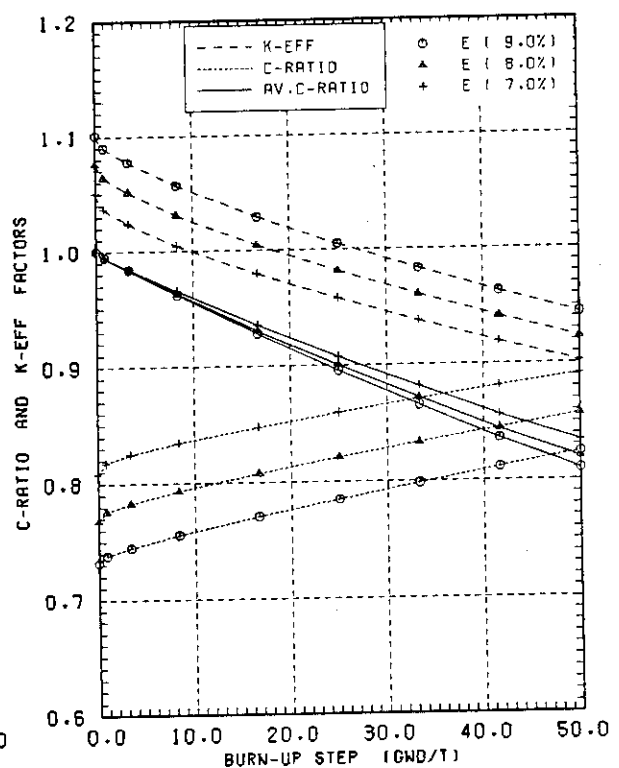


FIG. BURNUP CHARACTERISTICS OF C-RATIO AND K-EFF  
VM/VF=0.9 D=0.95(cm) CLAD= ZRY

FIG. BURNUP CHARACTERISTICS OF C-RATIO AND K-EFF  
VM/VF=1.4 D=0.05(cm) CLAD= ZRYFIG. BURNUP CHARACTERISTICS OF C-RATIO AND K-EFF  
VM/VF=1.1 D=0.85(cm) CLAD= ZRYFIG. BURNUP CHARACTERISTICS OF C-RATIO AND K-EFF  
VM/VF=1.0 D=0.85(cm) CLAD= ZRYFIG. BURNUP CHARACTERISTICS OF C-RATIO AND K-EFF  
VM/VF=0.9 D=0.85(cm) CLAD= ZRY

```
*****  
*****  
**      RESULT OF DEPLETION CALCULATION    **  
**      CLADDING MATERIAL IS SUS           **  
*****  
*****
```

NO.	D	V	E	1	2	3	4	5	6	7	8	9
52	1 0.851 0.61 7.01 BURN-UP(DAY)	0.0	20.91	83.69	209.50	419.90	631.28	843.66	1057.05	1271.47		
	BURN-UP(MWDT/TON)	0.0	832.87	3331.48	8328.73	16657.40	24386.40	33314.80	41643.50	49972.50		
	K-EFF	1.01727	1.00842	0.99782	0.98078	0.95858	0.94000	0.92358	0.90876	0.89526		
	C-RATIO	0.90974	0.91643	0.92170	0.92933	0.93856	0.94623	0.95303	0.95913	0.96457		
	AV. C-RATIO	1.00000	0.99614	0.99111	0.98147	0.96631	0.95246	0.93963	0.92791	0.91741		
53	1 0.851 0.61 8.01 BURN-UP(DAY)	0.0	20.91	83.71	209.59	420.17	631.68	844.15	1057.60	1272.06		
	BURN-UP(MWDT/TON)	0.0	833.08	3332.33	8330.84	16661.70	24992.50	33323.30	41654.10	49985.20		
	K-EFF	1.05282	1.04481	1.03380	1.01533	0.99035	0.96962	0.95108	0.93433	0.91903		
	C-RATIO	0.84864	0.85421	0.86008	0.86970	0.88270	0.89406	0.90435	0.91377	0.92237		
	AV. C-RATIO	1.00000	0.99584	0.98847	0.97484	0.95313	0.93356	0.91506	0.89837	0.88290		
54	1 0.851 0.61 9.01 BURN-UP(DAY)	0.0	20.91	83.73	209.66	420.35	631.94	844.47	1057.95	1272.41		
	BURN-UP(MWDT/TON)	0.0	832.91	3331.63	8329.11	16658.20	24987.30	33316.30	41645.40	49974.80		
	K-EFF	1.08652	1.07917	1.06795	1.04852	1.02174	0.9988	0.9754	0.96059	0.94318		
	C-RATIO	0.79528	0.80002	0.80613	0.81678	0.83210	0.84592	0.85869	0.87056	0.88160		
	AV. C-RATIO	1.00000	0.99611	0.98695	0.97027	0.94445	0.92033	0.89842	0.87768	0.85826		
55	1 0.851 0.71 8.01 BURN-UP(DAY)	0.0	20.91	83.70	209.54	419.99	631.38	843.72	1057.01	1271.29		
	BURN-UP(MWDT/TON)	0.0	832.87	3331.48	8328.73	16657.40	24986.10	33314.80	41643.50	49972.50		
	K-EFF	1.02584	1.01573	1.00442	0.98660	0.96339	0.94368	0.92604	0.90996	0.89520		
	C-RATIO	0.87679	0.88427	0.89020	0.89872	0.90928	0.91845	0.92687	0.93467	0.94182		
	AV. C-RATIO	1.00000	0.99570	0.98940	0.97578	0.95338	0.93789	0.92066	0.90491	0.89018		
56	1 0.851 0.71 8.01 BURN-UP(DAY)	0.0	20.91	83.72	209.61	420.22	631.71	844.12	1057.47	1271.77		
	BURN-UP(MWDT/TON)	0.0	833.08	3332.33	8330.84	16661.70	24992.50	33323.30	41654.10	49985.20		
	K-EFF	1.05827	1.04919	1.03761	1.01854	0.99311	0.97146	0.95207	0.93437	0.91808		
	C-RATIO	0.82311	0.82928	0.83551	0.84549	0.85898	0.87099	0.88214	0.89255	0.90226		
	AV. C-RATIO	1.00000	0.99545	0.98696	0.97108	0.94571	0.92268	0.90107	0.88096	0.86239		
57	1 0.851 0.71 9.01 BURN-UP(DAY)	0.0	20.91	83.73	209.67	420.37	631.93	844.38	1057.74	1272.05		
	BURN-UP(MWDT/TON)	0.0	832.91	3331.63	8329.11	16658.20	24987.30	33316.30	41655.40	49974.80		
	K-EFF	1.08919	1.08092	1.06923	1.04932	1.02214	0.99885	0.97795	0.95884	0.94118		
	C-RATIO	0.77559	0.78079	0.78707	0.79780	0.81310	0.82704	0.84012	0.85247	0.86414		
	AV. C-RATIO	1.00000	0.99576	0.98616	0.96793	0.93939	0.91230	0.88766	0.86453	0.84293		
58	1 0.851 0.71 9.01 BURN-UP(DAY)	0.0	20.91	83.71	209.58	420.11	631.52	843.84	1057.08	1271.25		
	BURN-UP(MWDT/TON)	0.0	832.87	3331.48	8328.73	16657.40	24986.10	33314.80	41643.50	49972.50		
	K-EFF	1.03536	1.02401	1.01207	0.99363	0.96953	0.94881	0.93007	0.91286	0.89695		
	C-RATIO	0.84526	0.85340	0.85991	0.86918	0.88095	0.89146	0.90131	0.91057	0.91922		
	AV. C-RATIO	1.00000	0.99525	0.98684	0.97092	0.94632	0.92357	0.90245	0.88255	0.86410		
59	1 0.851 0.81 8.01 BURN-UP(DAY)	0.0	20.91	83.73	209.64	420.29	631.79	844.16	1057.43	1271.61		
	BURN-UP(MWDT/TON)	0.0	833.08	3332.33	8330.84	16661.70	24992.50	33323.30	41643.10	49985.20		
	K-EFF	1.06499	1.05484	1.04275	1.02322	0.99726	0.97496	0.95480	0.93625	0.91906		
	C-RATIO	0.79805	0.80475	0.81131	0.82162	0.83557	0.84820	0.86012	0.87142	0.88210		
	AV. C-RATIO	1.00000	0.99563	0.98591	0.96749	0.93874	0.91215	0.88748	0.86354	0.84189		

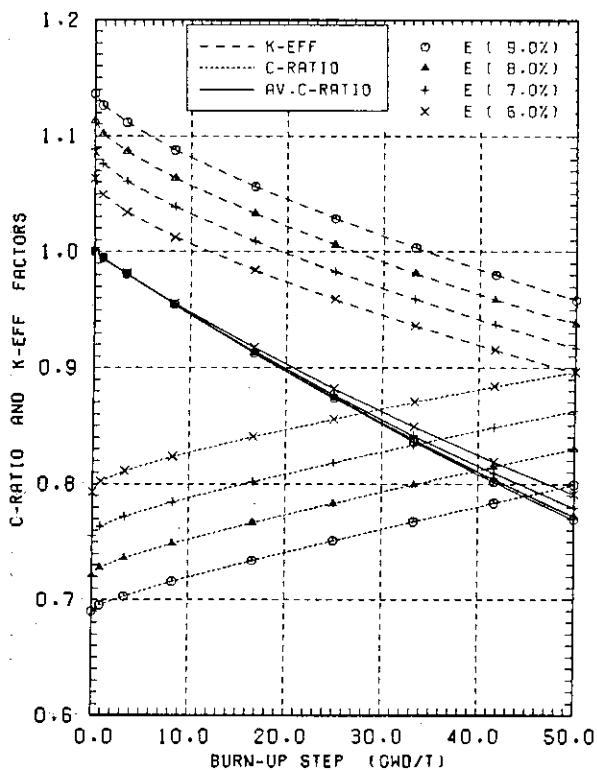
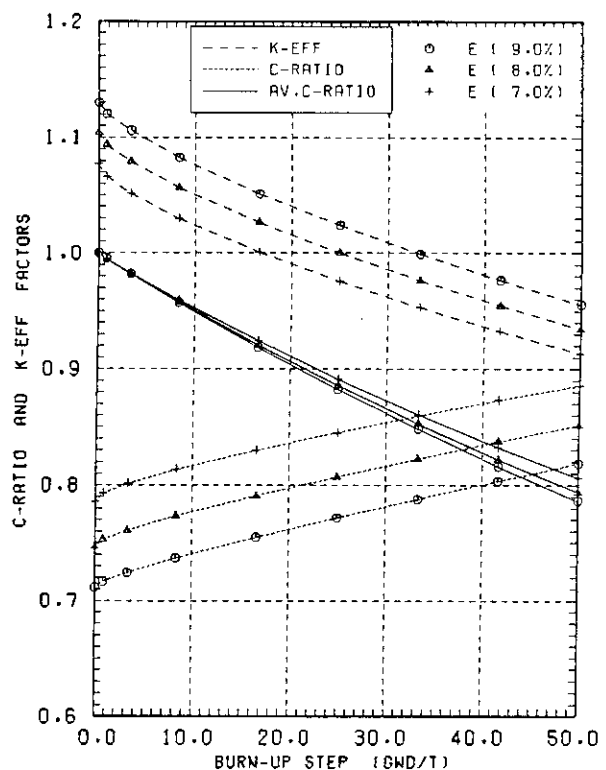
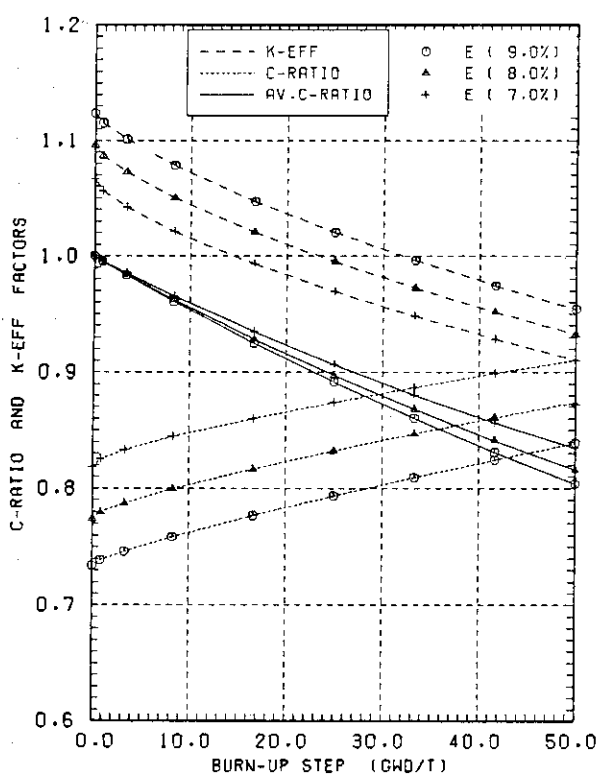
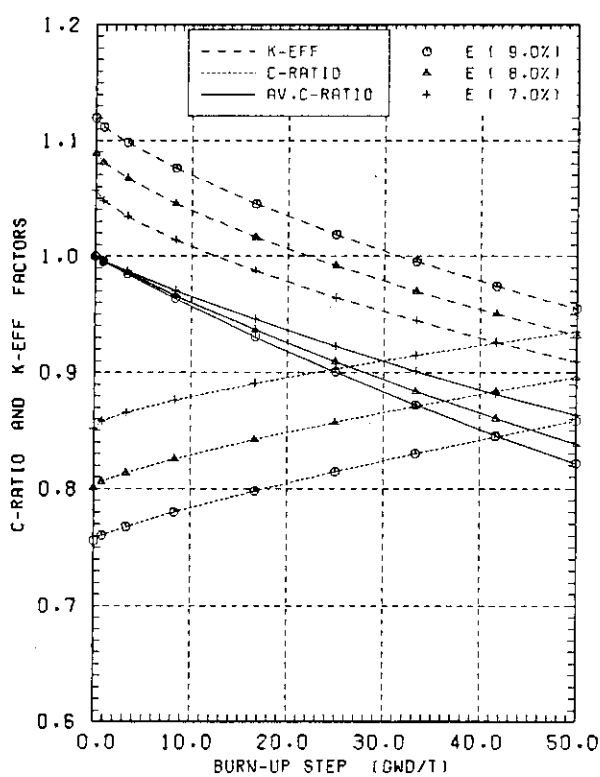
NO.	D	V	E	1	2	3	4	5	6	7	8	9
60	+ 0.851	0.81	9.01	BURN-UP(DAY)	0.0	20.91	83.73	209.68	420.41	631.96	844.35	1057.62
				BURN-UP(MWDT/TON)	0.0	832.91	3331.63	8329.11	16658.20	24987.30	33316.30	41645.40
				K-EFF	1.09339	1.08420	1.07208	1.05181	1.02435	1.00069	0.97930	0.95958
				C-RATIO	0.75575	0.76338	0.76783	0.77364	0.79395	0.80802	0.82440	0.84643
				AV.C-RATIO	1.00000	0.99541	0.98522	0.96477	0.93388	0.90462	0.87709	0.85138
61	+ 0.851	0.91	7.01	BURN-UP(DAY)	0.0	20.91	83.72	209.62	420.24	631.71	844.03	1057.22
				BURN-UP(MWDT/TON)	0.0	832.87	3331.48	8328.73	16657.40	24986.10	33314.80	4163.50
				K-EFF	1.04555	1.03301	1.02050	1.00152	0.97661	0.95495	0.93520	0.91695
				C-RATIO	0.81509	0.82280	0.83079	0.84073	0.85362	0.86534	0.87647	0.88703
				AV.C-RATIO	1.00000	0.99474	0.98478	0.96633	0.93683	0.90962	0.88377	0.83801
62	+ 0.851	0.91	8.01	BURN-UP(DAY)	0.0	20.91	83.73	209.67	420.37	631.89	844.25	1057.46
				BURN-UP(MWDT/TON)	0.0	833.08	3332.33	8330.84	16661.70	24992.50	33323.30	41654.10
				K-EFF	1.07268	1.06150	1.04893	1.02903	1.00260	0.97969	0.95881	0.93947
				C-RATIO	0.77350	0.78068	0.78754	0.79815	0.81256	0.82579	0.83842	0.85054
				AV.C-RATIO	1.00000	0.99518	0.98416	0.96355	0.93125	0.90137	0.87229	0.84685
63	+ 0.851	0.91	9.01	BURN-UP(DAY)	0.0	20.91	83.74	209.70	420.46	632.01	844.37	1057.57
				BURN-UP(MWDT/TON)	0.0	832.91	3331.63	8329.11	16658.20	24987.30	33316.30	41645.40
				K-EFF	1.09881	1.08872	1.07620	1.05565	1.02796	1.00459	0.98298	0.96180
				C-RATIO	0.73583	0.74186	0.74848	0.75938	0.77474	0.78898	0.80667	0.81590
				AV.C-RATIO	1.00000	0.99501	0.98371	0.96237	0.92836	0.89628	0.86627	0.83793
64	+ 0.851	1.01	6.01	BURN-UP(DAY)	0.0	20.91	83.72	209.63	420.26	631.73	844.04	1057.21
				BURN-UP(MWDT/TON)	0.0	833.09	3332.34	8330.88	16661.60	24992.40	33323.40	41654.30
				K-EFF	1.03078	1.01516	1.00225	0.98382	0.95942	0.93789	0.91815	0.88282
				C-RATIO	0.82567	0.83699	0.84461	0.85442	0.86697	0.87843	0.88928	0.89953
				AV.C-RATIO	1.00000	0.99424	0.98372	0.96400	0.93263	0.90381	0.87667	0.85210
65	+ 0.851	1.01	7.01	BURN-UP(DAY)	0.0	20.91	83.73	209.68	420.40	631.92	844.27	1057.45
				BURN-UP(MWDT/TON)	0.0	832.87	3331.48	8328.33	16657.40	24986.10	33314.80	41643.50
				K-EFF	1.05663	1.04289	1.02986	1.01038	0.98465	0.96206	0.94133	0.92027
				C-RATIO	0.78547	0.79466	0.80208	0.81264	0.82661	0.83949	0.85181	0.86358
				AV.C-RATIO	1.00000	0.99481	0.98319	0.96144	0.92745	0.89553	0.86612	0.83822
66	+ 0.851	1.01	8.01	BURN-UP(DAY)	0.0	20.91	83.74	209.71	420.48	632.03	844.39	1057.57
				BURN-UP(MWDT/TON)	0.0	833.08	3332.33	8330.84	16661.70	24992.50	33323.30	41654.10
				K-EFF	1.08151	1.06128	1.05627	1.03602	1.00910	0.98556	0.96396	0.94385
				C-RATIO	0.74884	0.75644	0.76357	0.77448	0.78939	0.80324	0.81669	0.82948
				AV.C-RATIO	1.00000	0.99473	0.98282	0.95990	0.92438	0.89047	0.85998	0.82974
67	+ 0.851	1.01	9.01	BURN-UP(DAY)	0.0	20.91	83.74	209.73	420.53	632.09	844.44	1057.59
				BURN-UP(MWDT/TON)	0.0	832.91	3331.63	8329.11	16658.20	24987.30	33316.30	41645.40
				K-EFF	1.10558	1.09463	1.08174	1.06094	1.03303	1.00869	0.98688	0.96557
				C-RATIO	0.71533	0.72171	0.72851	0.73950	0.75497	0.76944	0.78336	0.79711
				AV.C-RATIO	1.00000	0.99511	0.98307	0.95926	0.92289	0.88783	0.85519	0.82410

NO.	V	E	1	2	3	4	5	6	7	8	9
<hr/>											
68   0.95   0.61 7.0 BURN-UP(DAY)	0.0	26.69	106.85	267.50	536.21	806.16	1077.39	1349.94	1623.81		
BURN-UP(MWDT/TON)	0.0	832.87	3331.48	8328.72	16657.40	24986.20	33314.80	4163.60	49972.40		
K-EFF	4.03515	1.02673	1.01520	0.99676	0.97279	0.95275	0.93510	0.91924	0.90485		
C-RATIO	0.89767	0.90377	0.90978	0.91868	0.92979	0.93913	0.94744	0.95489	0.96153		
AV.C-RATIO	1.00000	0.99666	0.99053	0.97887	0.96136	0.94542	0.93062	0.91707	0.90487		
<hr/>											
69   0.95   0.61 8.0 BURN-UP(DAY)	0.0	26.69	106.88	267.62	536.53	806.65	1078.00	1350.62	1624.53		
BURN-UP(MWDT/TON)	0.0	833.08	3332.33	8330.84	16661.70	24992.60	33323.30	41654.20	49985.10		
K-EFF	1.07062	1.06293	1.05104	1.03120	1.00465	0.98228	0.96252	0.94472	0.92852		
C-RATIO	0.83810	0.84323	0.84970	0.86035	0.87494	0.88773	0.89934	0.90996	0.91966		
AV.C-RATIO	1.00000	0.99624	0.98790	0.97250	0.94861	0.92709	0.90739	0.88902	0.87200		
<hr/>											
70   0.95   0.61 9.0 BURN-UP(DAY)	0.0	26.69	106.90	267.69	536.75	806.97	1078.38	1351.03	1624.95		
BURN-UP(MWDT/TON)	0.0	832.91	3331.63	8329.11	16658.20	24987.40	33316.40	41645.60	49974.70		
K-EFF	1.10425	1.09714	1.08507	1.06429	1.03575	1.01144	0.98948	0.97038	0.95256		
C-RATIO	0.78598	0.79040	0.79699	0.80853	0.82521	0.84027	0.85461	0.86717	0.87921		
AV.C-RATIO	1.00000	0.99396	0.98645	0.96859	0.94072	0.91476	0.89121	0.86899	0.84859		
<hr/>											
71   0.95   0.71 7.0 BURN-UP(DAY)	0.0	26.69	106.87	267.55	536.34	806.32	1077.51	1349.95	1623.66		
BURN-UP(MWDT/TON)	0.0	832.87	3331.48	8328.72	16657.40	24986.20	33314.80	41643.60	49972.40		
K-EFF	1.04347	1.03388	1.02159	1.00235	0.97732	0.95608	0.93713	0.91993	0.90419		
C-RATIO	0.86362	0.87042	0.87707	0.88682	0.89924	0.91011	0.92009	0.92929	0.93773		
AV.C-RATIO	1.00000	0.99622	0.98816	0.97311	0.95059	0.92994	0.91067	0.89310	0.87659		
<hr/>											
72   0.95   0.71 8.0 BURN-UP(DAY)	0.0	26.69	106.89	267.65	536.61	806.72	1078.00	1350.49	1624.22		
BURN-UP(MWDT/TON)	0.0	833.08	3332.33	8330.84	16661.70	24992.60	33323.30	41654.20	49985.10		
K-EFF	1.07574	1.06707	1.05456	1.03410	1.00687	0.98372	0.96304	0.94423	0.92696		
C-RATIO	0.81145	0.81711	0.82393	0.83494	0.84999	0.86345	0.87595	0.88763	0.89350		
AV.C-RATIO	1.00000	0.99591	0.98645	0.96862	0.94102	0.91598	0.89253	0.87669	0.85058		
<hr/>											
73   0.95   0.71 9.0 BURN-UP(DAY)	0.0	26.69	106.90	267.71	536.79	806.98	1078.30	1350.81	1624.54		
BURN-UP(MWDT/TON)	0.0	832.91	3331.63	8329.11	16658.20	24987.40	33316.40	41645.60	49974.70		
K-EFF	1.10653	1.09858	1.08599	1.06471	1.03574	1.01097	0.98379	0.96819	0.94994		
C-RATIO	0.76519	0.77001	0.77678	0.78387	0.80503	0.82023	0.83451	0.84800	0.86073		
AV.C-RATIO	1.00000	0.99561	0.98560	0.96533	0.93506	0.90658	0.87974	0.85503	0.83198		
<hr/>											
74   0.95   0.81 7.0 BURN-UP(DAY)	0.0	26.69	106.88	267.61	536.51	806.53	1077.71	1350.08	1623.67		
BURN-UP(MWDT/TON)	0.0	832.87	3331.48	8328.72	16657.40	24986.20	33314.80	41643.60	49972.40		
K-EFF	1.05290	1.04215	1.02920	1.00932	0.98335	0.96104	0.94091	0.92250	0.90554		
C-RATIO	0.83110	0.83851	0.84570	0.85617	0.86976	0.88198	0.89342	0.90415	0.91413		
AV.C-RATIO	1.00000	0.99578	0.98625	0.96812	0.94033	0.91470	0.89149	0.86903	0.84882		
<hr/>											
75   0.95   0.81 8.0 BURN-UP(DAY)	0.0	26.69	106.90	267.68	536.72	806.84	1078.08	1350.48	1624.07		
BURN-UP(MWDT/TON)	0.0	833.08	3332.33	8330.84	16661.70	24992.60	33323.30	41654.20	49985.10		
K-EFF	1.08232	1.07267	1.05961	1.03867	1.01088	0.98702	0.96551	0.94577	0.92553		
C-RATIO	0.78536	0.79151	0.79864	0.80695	0.82543	0.83952	0.85283	0.86545	0.8735		
AV.C-RATIO	1.00000	0.99546	0.98476	0.96492	0.93337	0.90465	0.87784	0.85241	0.82210		

NO.	V	E	1	2	3	4	5	6	7	8	9			
76	1	0.95	0.81	9.01	BURN-UP(DAY)	0.0	26.69	106.91	267.73	536.85	807.03	1078.29	1350.70	1624.26
					BURN-UP(MWD/TON)	0.0	832.91	3331.63	8329.11	16658.20	24987.40	33316.40	41645.60	49974.70
			K-EFF			1.11054	1.10116	1.08871	1.06705	1.03777	1.01258	0.98955	0.94959	
			C-RATIO			0.74431	0.74952	0.75645	0.76812	0.78476	0.80010	0.81420	0.82868	
			AV.C-RATIO			1.00000	0.99526	0.98415	0.96294	0.92939	0.89819	0.86841	0.84111	
77	1	0.95	1.0.91	7.01	BURN-UP(DAY)	0.0	26.69	106.89	267.68	536.69	806.79	1077.99	1350.32	1623.82
					BURN-UP(MWD/TON)	0.0	832.87	3331.48	8328.72	16657.40	24986.20	33314.80	41643.60	49972.40
			K-EFF			1.06311	1.05124	1.03771	1.01728	0.99044	0.96712	0.94591	0.92338	
			C-RATIO			0.80007	0.80199	0.81564	0.82671	0.84339	0.85483	0.86757	0.87963	
			AV.C-RATIO			1.00000	0.99520	0.98414	0.96281	0.93071	0.90050	0.87955	0.84646	
78	1	0.95	1.0.91	8.01	BURN-UP(DAY)	0.0	26.69	106.90	267.73	536.84	807.00	1078.22	1350.57	1624.05
					BURN-UP(MWD/TON)	0.0	833.08	3332.33	8330.84	16667.70	24992.60	33323.50	41634.20	49985.10
			K-EFF			1.09739	1.07939	1.06584	1.04450	1.01621	0.99168	0.96937	0.94878	
			C-RATIO			0.75989	0.76646	0.77386	0.78544	0.80136	0.81607	0.83012	0.84358	
			AV.C-RATIO			1.00000	0.99501	0.98353	0.96092	0.92627	0.89371	0.8620	0.83424	
79	1	0.95	1.0.91	9.01	BURN-UP(DAY)	0.0	26.69	106.91	267.76	536.93	807.12	1078.35	1350.67	1624.11
					BURN-UP(MWD/TON)	0.0	832.91	3331.63	8329.11	16658.20	24987.40	33316.40	41645.60	49974.70
			K-EFF			1.11592	1.10630	1.09284	1.07088	1.04134	1.01575	0.99249	0.97096	
			C-RATIO			0.72344	0.72900	0.73609	0.74782	0.76449	0.78001	0.79405	0.80393	
			AV.C-RATIO			1.00000	0.99485	0.98310	0.95998	0.92372	0.88914	0.85734	0.82735	
80	1	0.95	1.01	6.01	BURN-UP(DAY)	0.0	26.69	106.90	267.70	536.76	806.89	1078.10	1350.43	1623.89
					BURN-UP(MWD/TON)	0.0	833.09	3332.34	8330.88	16661.80	24992.70	33323.50	41654.40	49985.40
			K-EFF			1.04867	1.03394	1.01994	0.99999	0.93533	0.95021	0.92889	0.90920	
			C-RATIO			0.80843	0.81867	0.82702	0.83815	0.85278	0.86623	0.87894	0.89091	
			AV.C-RATIO			1.00000	0.99477	0.98214	0.95993	0.92491	0.89259	0.8620	0.83502	
81	1	0.95	1.01	7.01	BURN-UP(DAY)	0.0	26.69	106.91	267.75	536.90	807.09	1078.33	1350.67	1624.11
					BURN-UP(MWD/TON)	0.0	832.87	3331.48	8328.72	16657.40	24986.20	33314.80	41643.60	49972.40
			K-EFF			1.07426	1.06128	1.04720	1.02626	0.99856	0.97424	0.95199	0.93137	
			C-RATIO			0.76974	0.77809	0.78613	0.79776	0.81347	0.82806	0.84221	0.85532	
			AV.C-RATIO			1.00000	0.99463	0.98183	0.95780	0.92048	0.88620	0.85308	0.82353	
82	1	0.95	1.01	8.01	BURN-UP(DAY)	0.0	26.69	106.92	267.78	536.99	807.20	1078.44	1350.75	1624.16
					BURN-UP(MWD/TON)	0.0	833.08	3332.33	8330.84	16661.70	24992.60	33323.30	41654.20	49985.10
			K-EFF			1.09890	1.08731	1.07330	1.05160	1.02277	0.99756	0.97448	0.95305	
			C-RATIO			0.73444	0.74138	0.74903	0.76086	0.77725	0.79257	0.80734	0.82162	
			AV.C-RATIO			1.00000	0.99456	0.98162	0.95721	0.91866	0.88257	0.84860	0.81690	
83	1	0.95	1.01	9.01	BURN-UP(DAY)	0.0	26.69	106.92	267.79	537.03	807.24	1078.46	1350.73	1624.07
					BURN-UP(MWD/TON)	0.0	832.91	3331.63	8329.11	16658.20	24987.40	33316.40	41645.60	49974.70
			K-EFF			1.12274	1.11232	1.09846	1.07625	1.04646	1.02049	0.99673	0.97462	
			C-RATIO			0.70210	0.70796	0.71521	0.72700	0.74376	0.75951	0.77479	0.78967	
			AV.C-RATIO			1.00000	0.99496	0.98190	0.95672	0.91764	0.88053	0.84554	0.81281	

NO.	0	V	E	1.	2.	3.	4.	5.	6.	7.	8.	9.
84   1.051 0.61 7.01 BURN UP(DAY)	0.0	33.18	132.85	332.60	666.76	1002.47	1339.78	1678.74	2019.38			
BURN UP(MWD/TON)	0.0	832.87	3331.49	8328.73	16657.50	24986.10	33314.90	41643.60	49972.40			
K-EFF	1.04846	1.04030	1.02787	1.00809	0.98240	0.96097	0.94216	0.92533	0.91013			
C-RATIO	0.88677	0.89249	0.89924	0.90937	0.92232	0.93332	0.94310	0.95185	0.95964			
AV.C-RATIO	1.00000	0.99647	0.98929	0.97621	0.95628	0.93818	0.92136	0.90663	0.89272			
85   1.051 0.61 8.01 BURN UP(DAY)	0.0	33.18	132.87	332.73	667.15	1003.05	1340.51	1679.54	2020.23			
BURN UP(MWD/TON)	0.0	833.08	3332.34	8330.84	16661.70	24992.50	33323.40	41654.20	49985.10			
K-EFF	1.08377	1.07627	1.06352	1.04235	1.01407	0.99032	0.96940	0.95064	0.93362			
C-RATIO	0.82854	0.83342	0.84046	0.85217	0.86834	0.88257	0.89548	0.90729	0.91806			
AV.C-RATIO	1.00000	0.99613	0.98733	0.97055	0.94450	0.92096	0.89948	0.87945	0.86144			
86   1.051 0.61 9.01 BURN UP(DAY)	0.0	33.18	132.89	332.82	667.41	1003.43	1340.96	1680.03	2020.72			
BURN UP(MWD/TON)	0.0	832.91	3331.65	8329.11	16658.20	24987.30	33314.50	41645.50	49974.70			
K-EFF	1.11726	1.11028	1.09738	1.07527	1.04500	1.01930	0.99658	0.97611	0.95747			
C-RATIO	0.77753	0.78177	0.78886	0.80130	0.81937	0.83571	0.85082	0.86486	0.87790			
AV.C-RATIO	1.00000	0.99581	0.98589	0.96675	0.93684	0.90956	0.88432	0.86106	0.83923			
87   1.051 0.71 7.01 BURN UP(DAY)	0.0	33.18	132.86	332.67	666.95	1002.70	1339.98	1678.81	2019.26			
BURN UP(MWD/TON)	0.0	832.87	3331.49	8328.73	16657.50	24986.10	33314.90	41643.60	49972.40			
K-EFF	1.05690	1.04763	1.03440	1.01379	0.98698	0.96427	0.94407	0.92582	0.90919			
C-RATIO	0.85165	0.852802	0.86535	0.87632	0.89056	0.90310	0.91460	0.92518	0.93484			
AV.C-RATIO	1.00000	0.99609	0.98686	0.97031	0.94531	0.92244	0.90115	0.88166	0.86346			
88   1.051 0.71 8.01 BURN UP(DAY)	0.0	33.18	132.88	332.77	667.26	1003.17	1340.55	1679.45	2019.92			
BURN UP(MWD/TON)	0.0	833.08	3332.34	8330.84	16661.70	24992.50	33323.40	41643.60	49972.40			
K-EFF	1.08896	1.08053	1.06713	1.04530	1.01631	0.99170	0.96170	0.9493	0.93177			
C-RATIO	0.80082	0.80617	0.81356	0.82539	0.84221	0.85712	0.87098	0.88390	0.89591			
AV.C-RATIO	1.00000	0.99574	0.98582	0.96605	0.93673	0.90911	0.88376	0.86026	0.83853			
89   1.051 0.71 9.01 BURN UP(DAY)	0.0	33.18	132.90	332.85	667.47	1003.47	1340.90	1679.81	2020.26			
BURN UP(MWD/TON)	0.0	832.91	3331.65	8329.11	16658.20	24987.30	33314.50	41645.50	49974.70			
K-EFF	1.11957	1.11180	1.09834	1.07570	1.04497	1.01875	0.99334	0.97407	0.95455			
C-RATIO	0.75568	0.76029	0.76754	0.78003	0.79806	0.81454	0.83503	0.84645	0.85843			
AV.C-RATIO	1.00000	0.99545	0.98453	0.96375	0.93057	0.90066	0.87207	0.84578	0.82181			
90   1.051 0.81 7.01 BURN UP(DAY)	0.0	33.18	132.88	332.74	667.17	1002.99	1340.28	1679.05	2019.35			
BURN UP(MWD/TON)	0.0	832.87	3331.49	8328.73	16657.50	24986.10	33314.90	41643.60	49972.40			
K-EFF	1.06650	1.05615	1.04224	1.02096	0.99316	0.96929	0.94784	0.92829	0.91036			
C-RATIO	0.81822	0.82514	0.83299	0.84461	0.86000	0.87389	0.88688	0.89903	0.91031			
AV.C-RATIO	1.00000	0.99558	0.98488	0.96526	0.93492	0.90629	0.88039	0.85663	0.83464			
91   1.051 0.81 8.01 BURN UP(DAY)	0.0	33.18	132.90	332.83	667.41	1003.34	1340.69	1679.49	2019.79			
BURN UP(MWD/TON)	0.0	833.08	3332.34	8330.84	16661.70	24992.50	33323.40	41654.20	49985.10			
K-EFF	1.09570	1.08635	1.07237	1.05004	1.02044	0.99506	0.97224	0.95137	0.93217			
C-RATIO	0.77378	0.77957	0.78725	0.79924	0.81657	0.83212	0.84681	0.86072	0.87382			
AV.C-RATIO	1.00000	0.99529	0.98413	0.96229	0.92839	0.89755	0.86822	0.84112	0.81620			

NO.	D	V	E	1	2	3	4	5	6	7	8	9		
				BURN-UP(DAY)	BURN-UP(MWD/TON)									
92	1	1.051	0.81	9.01	BURN-UP(DAY)	0.0	33.18	132.91	332.88	667.56	1003.55	1340.92	1679.71	2019.98
				BURN-UP(MWD/TON)	0.0	832.91	3331.65	8329.11	16658.20	24987.30	33316.50	41645.50	49974.70	
	K-EFF	1.12372	1.11516	1.10121	1.07818	1.04710	1.02040	0.99638	0.97436	0.95403				
	C-RATIO	0.73384	0.73878	0.74620	0.75833	0.77671	0.79335	0.80919	0.82434	0.83378				
	AV.C-RATIO	1.00000	0.99510	0.98353	0.96049	0.92475	0.89155	0.86054	0.83110	0.80387				
93	1	1.051	0.91	7.01	BURN-UP(DAY)	0.0	33.18	132.90	332.83	667.42	1003.36	1340.68	1679.43	2019.65
				BURN-UP(MWD/TON)	0.0	832.87	3331.49	8328.73	16657.50	24986.10	33314.90	41643.60	49972.40	
	K-EFF	1.07740	1.06597	1.05143	1.02956	1.00778	0.97579	0.95376	0.91320					
	C-RATIO	0.78555	0.79293	0.80121	0.81341	0.82988	0.84503	0.85938	0.87295	0.88569				
	AV.C-RATIO	1.00000	0.99500	0.98271	0.95981	0.92439	0.89117	0.86041	0.83236	0.80620				
94	1	1.051	0.91	8.01	BURN-UP(DAY)	0.0	33.18	132.91	332.89	667.58	1003.57	1340.92	1679.66	2019.86
				BURN-UP(MWD/TON)	0.0	833.08	3332.34	8330.84	16661.70	24992.50	33323.40	41654.20	49985.10	
	K-EFF	1.10404	1.09376	1.07924	1.0568	1.02628	1.00013	0.97642	0.95459	0.93438				
	C-RATIO	0.74669	0.75286	0.76081	0.77354	0.79080	0.80699	0.82247	0.83729	0.85140				
	AV.C-RATIO	1.00000	0.99484	0.98227	0.95218	0.92056	0.88575	0.85289	0.82203	0.79384				
95	1	1.051	0.91	9.01	BURN-UP(DAY)	0.0	33.18	132.92	332.92	667.67	1003.69	1341.03	1679.73	2019.86
				BURN-UP(MWD/TON)	0.0	832.91	3331.65	8329.11	16658.20	24987.50	33316.50	41645.50	49974.70	
	K-EFF	1.12971	1.12035	1.10594	1.08257	1.05116	1.02398	0.99933	0.97659	0.95547				
	C-RATIO	0.71140	0.71665	0.72422	0.73679	0.75480	0.77163	0.78784	0.80350	0.81835				
	AV.C-RATIO	1.00000	0.99521	0.98193	0.95743	0.91842	0.88230	0.85119	0.81606	0.78644				
96	1	1.051	0.91	9.01	BURN-UP(DAY)	0.0	33.18	132.91	332.87	667.55	1003.55	1340.92	1679.68	2019.89
				BURN-UP(MWD/TON)	0.0	833.09	3332.35	8330.89	16661.80	24992.60	33323.60	41654.40	49985.40	
	K-EFF	1.06303	1.04893	1.03390	1.01249	0.98401	0.95895	0.93612	0.91513	0.89578				
	C-RATIO	0.79282	0.80230	0.81132	0.82268	0.84032	0.85567	0.87017	0.88377	0.89610				
	AV.C-RATIO	1.00000	0.99462	0.98131	0.95576	0.91741	0.88183	0.84906	0.81885	0.79411				
97	1	1.051	1.01	6.01	BURN-UP(DAY)	0.0	33.18	132.92	332.92	667.69	1003.74	1341.13	1679.88	2020.06
				BURN-UP(MWD/TON)	0.0	832.87	3331.49	8328.73	16657.50	24986.10	33314.90	41643.60	49972.40	
	K-EFF	1.08836	1.07591	1.06083	1.03847	1.00881	0.98280	0.95907	0.93716	0.91685				
	C-RATIO	0.75544	0.76320	0.77181	0.78448	0.80190	0.81814	0.83367	0.84848	0.86250				
	AV.C-RATIO	1.00000	0.99450	0.98047	0.95468	0.91403	0.87668	0.84164	0.80943	0.77942				
98	1	1.051	1.01	7.01	BURN-UP(DAY)	0.0	33.18	132.93	332.95	667.77	1003.84	1341.21	1679.92	2020.03
				BURN-UP(MWD/TON)	0.0	833.08	3332.34	8330.84	16661.70	24992.50	33323.40	41654.20	49985.10	
	K-EFF	1.11276	1.10160	1.08661	1.06311	1.03278	1.00592	0.98139	0.95868	0.93754				
	C-RATIO	0.72130	0.72778	0.73594	0.74866	0.76653	0.78329	0.79948	0.81511	0.83010				
	AV.C-RATIO	1.00000	0.99439	0.98087	0.95441	0.91282	0.87450	0.83794	0.80446	0.77227				
99	1	1.051	1.01	8.01	BURN-UP(DAY)	0.0	33.18	132.93	332.97	667.80	1003.86	1341.19	1679.84	2019.86
				BURN-UP(MWD/TON)	0.0	832.91	3331.65	8329.11	16658.20	24987.30	33316.50	41645.50	49974.70	
	K-EFF	1.13638	1.12628	1.11147	1.08786	1.05621	1.02862	1.00343	0.98007	0.95825				
	C-RATIO	0.68999	0.69551	0.70320	0.71519	0.73384	0.75087	0.76741	0.78352	0.79915				
	AV.C-RATIO	1.00000	0.99481	0.98072	0.95163	0.91269	0.87354	0.83624	0.80177	0.76925				

FIG. BURNUP CHARACTERISTICS OF C-RATIO AND K-EFF  
VM/VF=1.0 D=1.05(CM) CLAD= SUSFIG. BURNUP CHARACTERISTICS OF C-RATIO AND K-EFF  
VM/VF=0.9 D=1.05(CM) CLAD= SUSFIG. BURNUP CHARACTERISTICS OF C-RATIO AND K-EFF  
VM/VF=0.8 D=1.05(CM) CLAD= SUSFIG. BURNUP CHARACTERISTICS OF C-RATIO AND K-EFF  
VM/VF=0.7 D=1.05(CM) CLAD= SUS

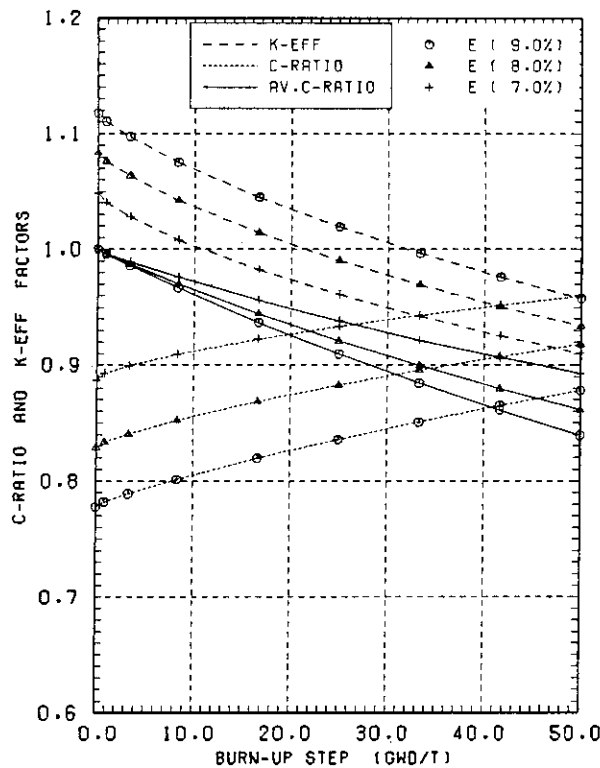


FIG. BURNUP CHARACTERISTICS OF C-RATIO AND K-EFF  
VM/VF=0.6 D=1.05(CM) CLAD= SUS

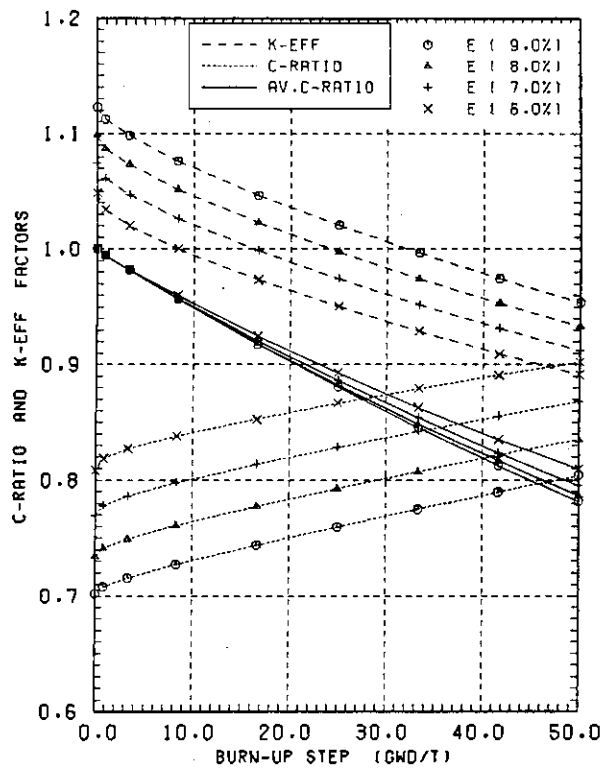


FIG. BURNUP CHARACTERISTICS OF C-RATIO AND K-EFF  
VM/VF=1.0 D=0.95(CM) CLAD= SUS

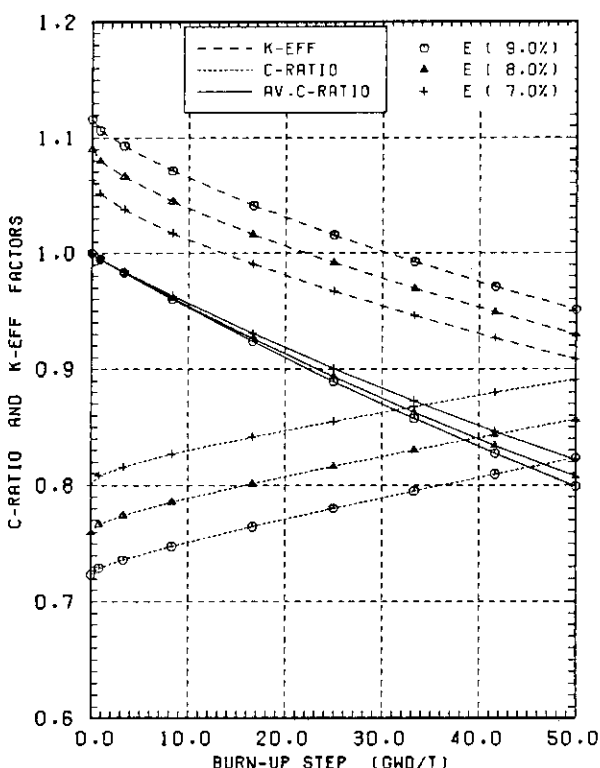


FIG. BURNUP CHARACTERISTICS OF C-RATIO AND K-EFF  
VM/VF=0.9 D=0.95(CM) CLAD= SUS

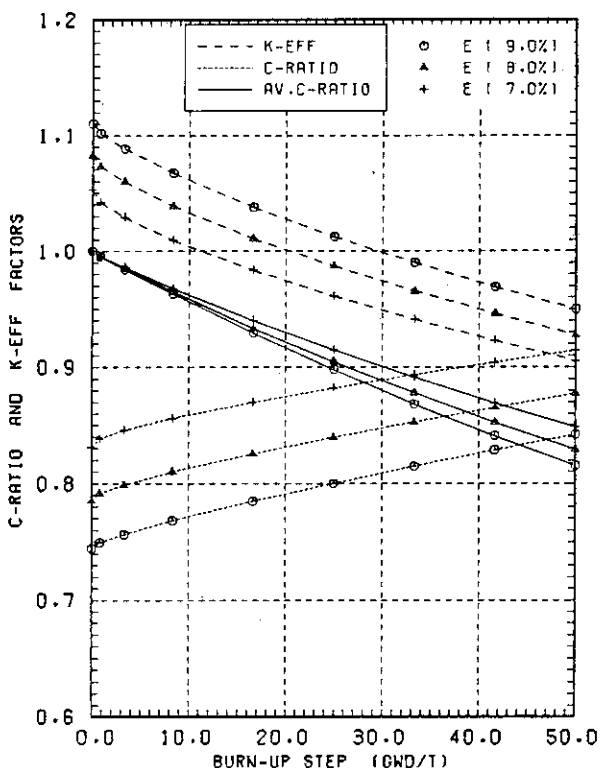


FIG. BURNUP CHARACTERISTICS OF C-RATIO AND K-EFF  
VM/VF=0.8 D=0.95(CM) CLAD= SUS

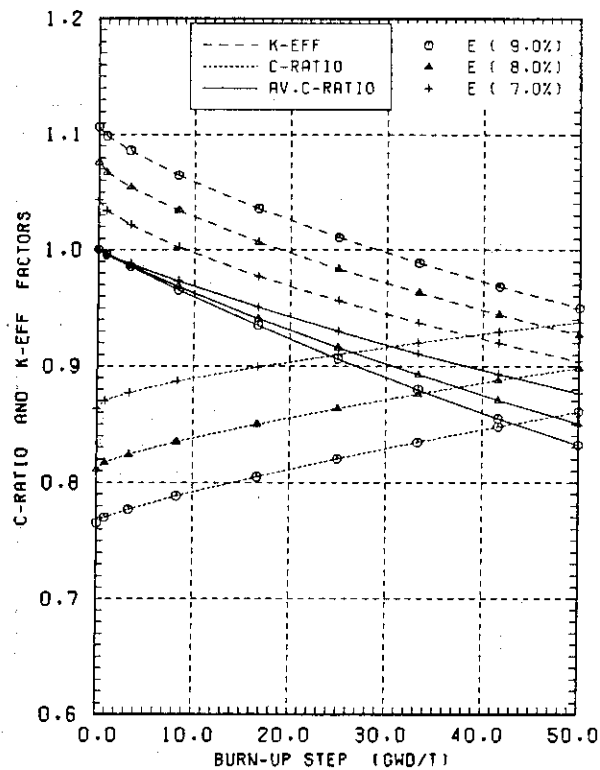


FIG. BURNUP CHARACTERISTICS OF C-RATIO AND K-EFF  
VM/VF=0.7 D=0.95(CM) CLAD= SUS

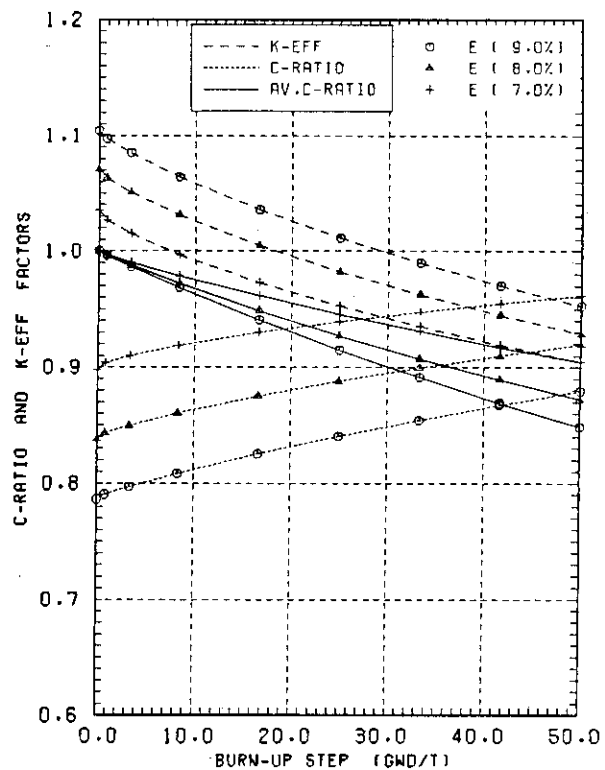


FIG. BURNUP CHARACTERISTICS OF C-RATIO AND K-EFF  
VM/VF=0.6 D=0.95(CM) CLAD= SUS

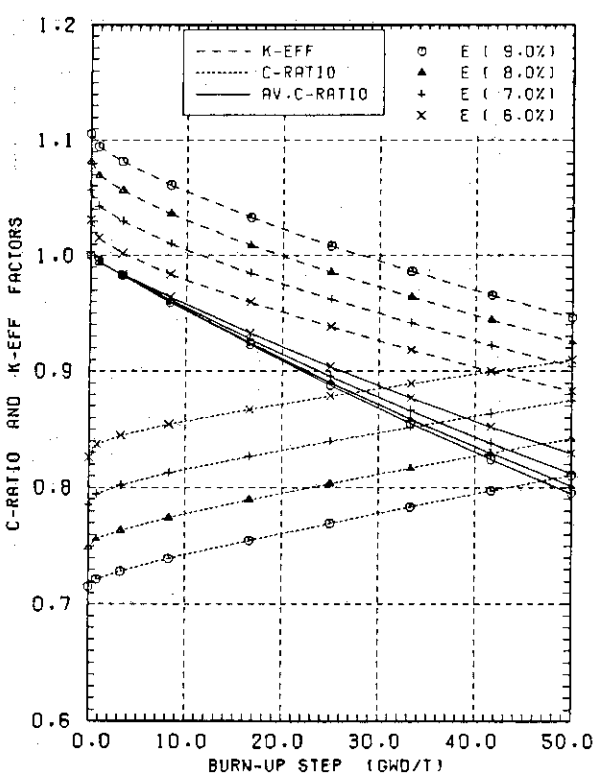


FIG. BURNUP CHARACTERISTICS OF C-RATIO AND K-EFF  
VM/VF=1.0 D=0.85(CM) CLAD= SUS

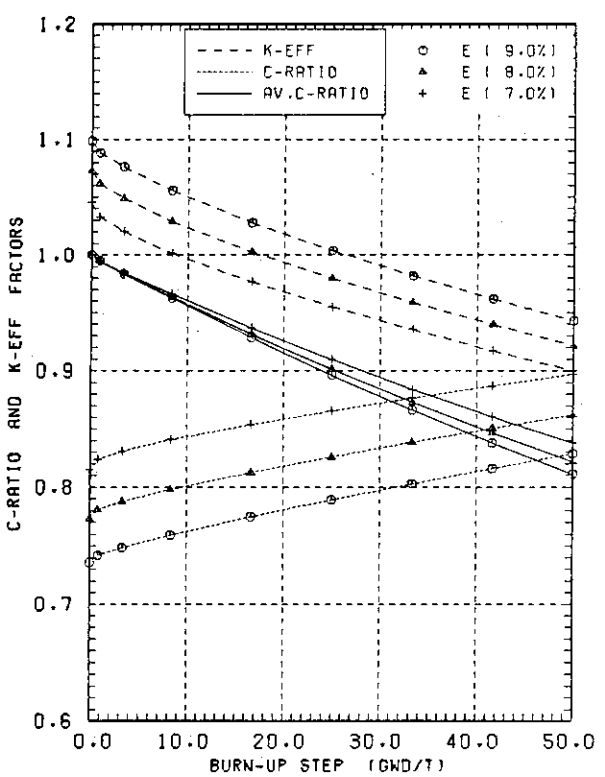


FIG. BURNUP CHARACTERISTICS OF C-RATIO AND K-EFF  
VM/VF=0.9 D=0.85(CM) CLAD= SUS

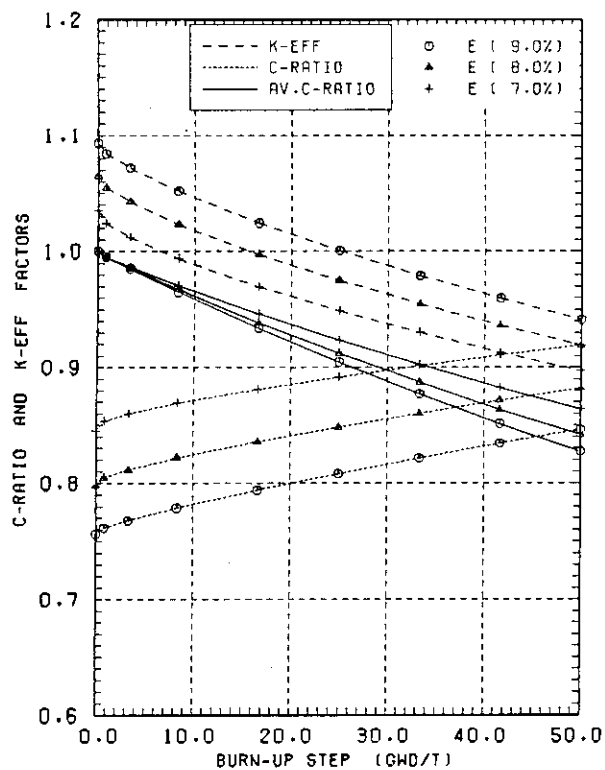


FIG. BURNUP CHARACTERISTICS OF C-RATIO AND K-EFF  
VM/VF=0.8 D=0.85(CM) CLRD= SUS

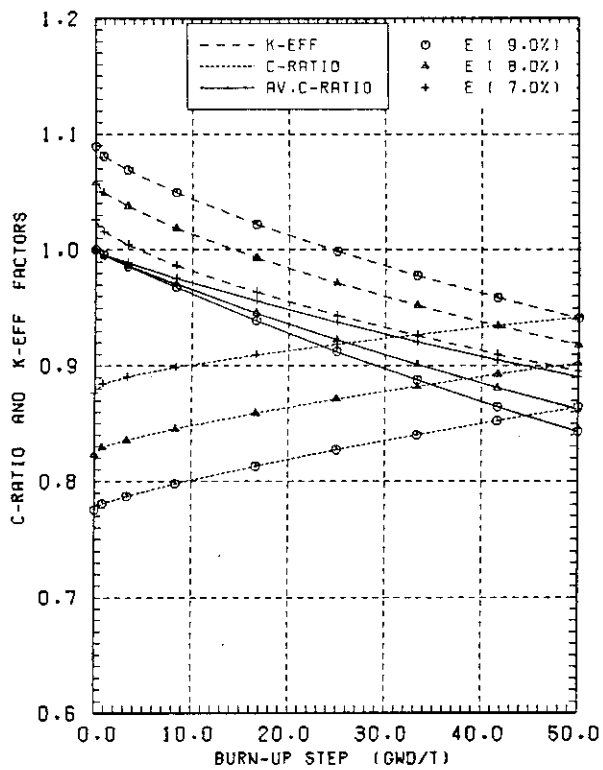


FIG. BURNUP CHARACTERISTICS OF C-RATIO AND K-EFF  
VM/VF=0.7 D=0.85(CM) CLRD= SUS

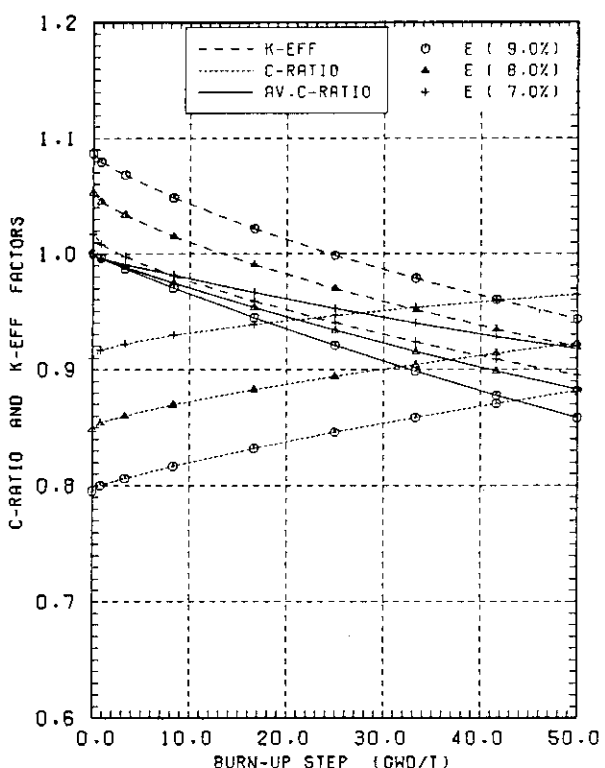


FIG. BURNUP CHARACTERISTICS OF C-RATIO AND K-EFF  
VM/VF=0.8 D=0.85(CM) CLRD= SUS

## 付録2. ボイド反応度計算結果

燃焼度 0 GWD / t (INITIAL) 及び 50 GWD / t 時でのボイド 0 % 状態 (OPERATION) と 99.99 % 状態 (VOID) における  $k_{eff}$  と  $k_{\infty}$  及びボイド反応度 (REACTIVITY) をまとめた表を示す。

\*\*\*-----\*\*  
 \*\*\*-----\*\*  
 \*\* RESULT OF VOID REACTIVITY CALCULATION \*\*  
 \*\* -----\* CLADDING MATERIAL IS ZRY -----\*\*  
 \*\*-----\*\*  
 \*\*\*-----\*\*

NO.	D	V	E	BURN-UP	K-EFF			K-INF			CONVERSION	
					OPERATION	VOID	REACTIVITY	OPERATION	VOID	REACTIVITY	RATIO	
1	0.85	0.9	7.0	INITIAL	1.0503	0.9074	-1.49956E-01	1.0818	1.0660	-1.37108E-02	0.8082	
				SOGWD/TON	0.9018	0.8270	-1.00391E-01	0.9288	0.9747	5.06649E-02	0.8912	
2	0.85	0.9	8.0	INITIAL	1.0760	0.9775	-9.35922E-02	1.1080	1.1440	2.84021E-02	0.7682	
				SOGWD/TON	0.9228	0.8820	-5.00784E-02	0.9503	1.0364	8.74792E-02	0.8569	
3	0.85	0.9	9.0	INITIAL	1.1009	1.0434	-5.00721E-02	1.1334	1.2166	6.02999E-02	0.7317	
				SOGWD/TON	0.9437	0.9351	-9.83620E-03	0.9717	1.0954	1.16243E-01	0.8240	
4	0.85	1.0	6.0	INITIAL	1.0378	0.8287	-2.43142E-01	1.0670	0.9810	-8.21136E-02	0.8187	
				SOGWD/TON	0.8864	0.7526	-2.00596E-01	0.9112	0.8938	-2.14128E-02	0.9036	
5	0.85	1.0	7.0	INITIAL	1.0617	0.9035	-1.64926E-01	1.0913	1.0651	-2.25666E-02	0.7805	
				SOGWD/TON	0.9069	0.8114	-1.29783E-01	0.9322	0.9604	3.14522E-02	0.8700	
6	0.85	1.0	8.0	INITIAL	1.0851	0.9734	-1.05738E-01	1.1152	1.1430	2.18648E-02	0.7452	
				SOGWD/TON	0.9273	0.8683	-7.32679E-02	0.9530	1.0243	7.30916E-02	0.8377	
7	0.85	1.0	9.0	INITIAL	1.1080	1.0391	-5.98246E-02	1.1385	1.2156	5.57466E-02	0.7127	
				SOGWD/TON	0.9478	0.9229	-2.84691E-02	0.9739	1.0852	1.05355E-01	0.8067	
8	0.85	1.1	5.0	INITIAL	1.0302	0.7454	-3.70839E-01	1.0575	0.8898	-1.78272E-01	0.8223	
				SOGWD/TON	0.8719	0.6721	-3.41033E-01	0.8950	0.8048	-1.25266E-01	0.9144	
9	0.85	1.1	6.0	INITIAL	1.0520	0.8249	-2.61675E-01	1.0797	0.9803	-9.39518E-02	0.7866	
				SOGWD/TON	0.8925	0.7350	-2.40252E-01	0.9160	0.8768	-4.87804E-02	0.8808	
10	0.85	1.1	7.0	INITIAL	1.0737	0.8995	-1.80438E-01	1.1018	1.0643	-3.19811E-02	0.7532	
				SOGWD/TON	0.9128	0.7958	-1.61018E-01	0.9366	0.9460	1.06421E-02	0.8489	
11	0.85	1.1	8.0	INITIAL	1.0951	0.9692	-1.18658E-01	1.1235	1.1422	1.45490E-02	0.7221	
				SOGWD/TON	0.9329	0.8541	-9.89103E-02	0.9571	1.0119	5.65102E-02	0.8183	
12	0.85	1.1	9.0	INITIAL	1.1161	1.0347	-7.05311E-02	1.1449	1.2147	5.02201E-02	0.6932	
				SOGWD/TON	0.9524	0.9103	-4.85821E-02	0.9770	1.0749	9.31824E-02	0.7892	
13	0.85	1.4	5.0	INITIAL	1.0746	0.7348	-4.30226E-01	1.0987	0.8879	-2.16073E-01	0.7292	
				SOGWD/TON	0.8897	0.6195	-4.90322E-01	0.9097	0.7527	-2.29286E-01	0.8524	
14	0.85	1.4	6.0	INITIAL	1.0913	0.8135	-3.12945E-01	1.1156	0.9782	-1.25841E-01	0.7052	
				SOGWD/TON	0.9108	0.6870	-3.57653E-01	0.9312	0.8313	-1.28963E-01	0.8215	
15	0.85	1.4	7.0	INITIAL	1.1079	0.8872	-2.24577E-01	1.1325	1.0621	-5.85324E-02	0.6823	
				SOGWD/TON	0.9307	0.7521	-2.55092E-01	0.9513	0.9064	-5.20344E-02	0.7931	
16	0.85	1.4	8.0	INITIAL	1.1245	0.9562	-1.56586E-01	1.1493	1.1398	-7.22110E-03	0.6605	
				SOGWD/TON	0.9499	0.8143	-1.75310E-01	0.9708	0.9776	7.14302E-03	0.7664	
17	0.85	1.4	9.0	INITIAL	1.1411	1.0210	-1.03027E-01	1.1660	1.2122	3.26859E-02	0.6398	
				SOGWD/TON	0.9680	0.8737	-1.11556E-01	0.9893	1.0450	5.38980E-02	0.7415	
18	0.95	0.9	7.0	INITIAL	1.0686	0.9441	-1.23432E-01	1.0920	1.0646	-2.35420E-02	0.7947	
				SOGWD/TON	0.9117	0.8520	-7.68089E-02	0.9316	0.9634	3.54414E-02	0.8858	
19	0.95	0.9	8.0	INITIAL	1.0942	1.0163	-7.00564E-02	1.1180	1.1428	1.94105E-02	0.7558	
				SOGWD/TON	0.9326	0.9088	-2.79989E-02	0.9528	1.0253	7.41672E-02	0.8517	
20	0.95	0.9	9.0	INITIAL	1.1191	1.0841	-2.88984E-02	1.1433	1.2156	5.20727E-02	0.7203	
				SOGWD/TON	0.9534	0.9641	-1.16405E-02	0.9740	1.0852	1.05126E-01	0.8191	
21	0.95	1.0	6.0	INITIAL	1.0561	0.8626	-2.12473E-01	1.0780	0.9796	-9.31770E-02	0.8031	
				SOGWD/TON	0.8959	0.7739	-1.75860E-01	0.9144	0.8813	-4.10595E-02	0.8971	
22	0.95	1.0	7.0	INITIAL	1.0800	0.9397	-1.38174E-01	1.1022	1.0638	-3.26900E-02	0.7661	
				SOGWD/TON	0.9164	0.8351	-1.06261E-01	0.9353	0.9485	1.49250E-02	0.8637	
23	0.95	1.0	8.0	INITIAL	1.1033	1.0117	-8.20279E-02	1.1258	1.1420	1.25623E-02	0.7319	
				SOGWD/TON	0.9367	0.8937	-5.13182E-02	0.9559	1.0126	5.86120E-02	0.8317	
24	0.95	1.0	9.0	INITIAL	1.1261	1.0793	-3.85324E-02	1.1489	1.2147	4.71475E-02	0.7004	
				SOGWD/TON	0.9571	0.9506	-7.14397E-03	0.9766	1.0744	9.32222E-02	0.8009	
25	0.95	1.1	5.0	INITIAL	1.0485	0.7762	-3.34624E-01	1.0692	0.8882	-1.90530E-01	0.8050	
				SOGWD/TON	0.8810	0.6897	-3.14864E-01	0.8983	0.7914	-1.50374E-01	0.9072	

NO.	D	V	E	BURN-UP	K-EFF			K-INF			CONVERSION	
					OPERATION	VOID	REACTIVITY	OPERATION	VOID	REACTIVITY	RATIO	
26	0.95	1.1	6.0	INITIAL	1.0703	0.8584	-2.30712E-01	1.0913	0.9789	-1.05177E-01	0.7704	
				50GWD/TON	0.9017	0.7550	-2.15508E-01	0.9193	0.8639	-6.97927E-02	0.8737	
27	0.95	1.1	7.0	INITIAL	1.0920	0.9352	-1.53482E-01	1.1132	1.0631	-4.23428E-02	0.7382	
				50GWD/TON	0.9219	0.8180	-1.37730E-01	0.9399	0.9335	-7.26032E-03	0.8419	
28	0.95	1.1	8.0	INITIAL	1.1132	1.0070	-9.48063E-02	1.1348	1.1412	4.94975E-03	0.7081	
				50GWD/TON	0.9420	0.8784	-7.68433E-02	0.9603	0.9998	4.11634E-02	0.8115	
29	0.95	1.1	9.0	INITIAL	1.1341	1.0743	-4.91556E-02	1.1559	1.2139	4.13068E-02	0.6801	
				50GWD/TON	0.9615	0.9366	-2.76373E-02	0.9800	1.0632	7.98278E-02	0.7827	
30	0.95	1.4	5.0	INITIAL	1.0926	0.7643	-3.93113E-01	1.1114	0.8866	-2.28112E-01	0.7115	
				50GWD/TON	0.8973	0.6334	-4.64363E-01	0.9128	0.7383	-2.58970E-01	0.8448	
31	0.95	1.4	6.0	INITIAL	1.1093	0.8455	-2.81309E-01	1.1283	0.9771	-1.37111E-01	0.6883	
				50GWD/TON	0.9189	0.7034	-3.33309E-01	0.9346	0.8172	-1.53684E-01	0.8135	
32	0.95	1.4	7.0	INITIAL	1.1260	0.9215	-1.97139E-01	1.1451	1.0611	-6.91386E-02	0.6662	
				50GWD/TON	0.9390	0.7708	-2.32346E-01	0.9549	0.8925	-7.31773E-02	0.7848	
33	0.95	1.4	8.0	INITIAL	1.1426	0.9924	-1.32407E-01	1.1618	1.1390	-1.72285E-02	0.6452	
				50GWD/TON	0.9583	0.8352	-1.53887E-01	0.9745	0.9642	-1.10369E-02	0.7580	
34	0.95	1.4	9.0	INITIAL	1.1590	1.0590	-8.14638E-02	1.1784	1.2116	2.32176E-02	0.6252	
				50GWD/TON	0.9765	0.8967	-9.12142E-02	0.9930	1.0322	3.82385E-02	0.7332	
35	1.05	0.9	7.0	INITIAL	1.0826	0.9678	-1.09551E-01	1.1014	1.0660	-3.01862E-02	0.7822	
				50GWD/TON	0.9172	0.8650	-6.57978E-02	0.9331	0.9549	2.45113E-02	0.8816	
36	1.05	0.9	8.0	INITIAL	1.1081	1.0414	-5.78707E-02	1.1272	1.1412	1.32347E-02	0.7444	
				50GWD/TON	0.9379	0.9231	-1.70927E-02	0.9541	1.0172	6.50063E-02	0.8478	
37	1.05	0.9	9.0	INITIAL	1.1329	1.1102	-1.80402E-02	1.1522	1.2172	4.63174E-02	0.7098	
				50GWD/TON	0.9587	0.9794	2.20480E-02	0.9751	1.0771	9.71533E-02	0.8154	
38	1.05	1.0	6.0	INITIAL	1.0709	0.8845	-1.96762E-01	1.0886	0.9808	-1.00951E-01	0.7879	
				50GWD/TON	0.9015	0.7839	-1.66480E-01	0.9164	0.8713	-5.65071E-02	0.8914	
39	1.05	1.0	7.0	INITIAL	1.0946	0.9631	-1.24748E-01	1.1126	1.0652	-4.00133E-02	0.7520	
				50GWD/TON	0.9220	0.8464	-9.69095E-02	0.9371	0.9387	1.80721E-03	0.8581	
40	1.05	1.0	8.0	INITIAL	1.1178	1.0363	-7.03127E-02	1.1360	1.1434	5.69648E-03	0.7189	
				50GWD/TON	0.9421	0.9063	-4.19502E-02	0.9576	1.0032	4.75199E-02	0.8263	
41	1.05	1.0	9.0	INITIAL	1.1404	1.1049	-2.81565E-02	1.1589	1.2163	4.07130E-02	0.6884	
				50GWD/TON	0.9624	0.9644	2.09045E-03	0.9781	1.0654	8.37301E-02	0.7958	
42	1.05	1.1	5.0	INITIAL	1.0629	0.7962	-3.15138E-01	1.0799	0.8893	-1.98412E-01	0.7893	
				50GWD/TON	0.8862	0.6974	-3.05381E-01	0.9003	0.7809	-1.69828E-01	0.9016	
43	1.05	1.1	6.0	INITIAL	1.0847	0.8800	-2.14403E-01	1.1018	0.9802	-1.12676E-01	0.7557	
				50GWD/TON	0.9069	0.7642	-2.05917E-01	0.9212	0.8536	-8.59718E-02	0.8681	
44	1.05	1.1	7.0	INITIAL	1.1063	0.9583	-1.39564E-01	1.1236	1.0645	-4.94789E-02	0.7244	
				50GWD/TON	0.9271	0.8287	-1.28129E-01	0.9417	0.9236	-2.08578E-02	0.8363	
45	1.05	1.1	8.0	INITIAL	1.1274	1.0313	-8.26945E-02	1.1450	1.1427	-1.81127E-03	0.6953	
				50GWD/TON	0.9472	0.8905	-6.71873E-02	0.9620	0.9903	2.97585E-02	0.8060	
46	1.05	1.1	9.0	INITIAL	1.1482	1.0997	-3.84574E-02	1.1660	1.2155	3.49112E-02	0.6681	
				50GWD/TON	0.9665	0.9497	-1.83239E-02	0.9816	1.0539	6.99361E-02	0.7774	
47	1.05	1.4	5.0	INITIAL	1.1072	0.7835	-3.73145E-01	1.1229	0.8878	-2.35835E-01	0.6954	
				50GWD/TON	0.9015	0.6387	-4.56430E-01	0.9144	0.7268	-2.82207E-01	0.8388	
48	1.05	1.4	6.0	INITIAL	1.1239	0.8662	-2.64727E-01	1.1398	0.9785	-1.44698E-01	0.6729	
				50GWD/TON	0.9234	0.7100	-3.25350E-01	0.9364	0.8058	-1.73159E-01	0.8070	
49	1.05	1.4	7.0	INITIAL	1.1406	0.9435	-1.83122E-01	1.1566	1.0626	-7.65310E-02	0.6515	
				50GWD/TON	0.9437	0.7789	-2.24142E-01	0.9570	0.8815	-8.94051E-02	0.7780	
50	1.05	1.4	8.0	INITIAL	1.1571	1.0157	-1.20338E-01	1.1733	1.1406	-2.43966E-02	0.6312	
				50GWD/TON	0.9631	0.8446	-1.45647E-01	0.9766	0.9534	-2.48833E-02	0.7512	
51	1.05	1.4	9.0	INITIAL	1.1735	1.0833	-7.09053E-02	1.1898	1.2133	1.63134E-02	0.6118	
				50GWD/TON	0.9814	0.9076	-8.28495E-02	0.9951	1.0219	2.63952E-02	0.7263	

\*\*\*-----\*\*  
 \*\*\*-----\*\*  
 \*\* RESULT OF VOID REACTIVITY CALCULATION \*\*  
 \*\* -----\* CLADDING MATERIAL IS SUS \*-----\*\*  
 \*\*\*-----\*\*

NO.	D	V	E	K-EFF			K-INF			CONVERSION	
				BURN-UP	OPERATION	VOID	REACTIVITY	OPERATION	VOID	REACTIVITY	RATIO
1	0.85	0.6	7.0	INITIAL	1.0173	0.9427	-7.77492E-02	1.0507	1.0740	2.06124E-02	0.9097
				50GWD/TON	0.8953	0.8996	5.35202E-03	0.9247	1.0260	1.06761E-01	0.9646
2	0.85	0.6	8.0	INITIAL	1.0528	1.0139	-3.64804E-02	1.0872	1.1517	5.15238E-02	0.8486
				50GWD/TON	0.9190	0.9479	3.31516E-02	0.9490	1.0787	1.26697E-01	0.9224
3	0.85	0.6	9.0	INITIAL	1.0865	1.0806	-5.03355E-03	1.1217	1.2240	7.45332E-02	0.7953
				50GWD/TON	0.9432	0.9957	5.59464E-02	0.9738	1.1308	1.42551E-01	0.8816
4	0.85	0.7	7.0	INITIAL	1.0258	0.9389	-9.02649E-02	1.0564	1.0729	1.45657E-02	0.8768
				50GWD/TON	0.8952	0.8832	-1.52168E-02	0.9219	1.0109	9.55042E-02	0.9418
5	0.85	0.7	8.0	INITIAL	1.0583	1.0099	-4.52889E-02	1.0896	1.1506	4.86586E-02	0.8231
				50GWD/TON	0.9181	0.9339	1.84288E-02	0.9453	1.0665	1.20211E-01	0.9022
6	0.85	0.7	9.0	INITIAL	1.0892	1.0764	-1.08836E-02	1.1212	1.2229	7.41763E-02	0.7756
				50GWD/TON	0.9412	0.9837	4.58946E-02	0.9689	1.1208	1.39873E-01	0.8641
7	0.85	0.8	7.0	INITIAL	1.0353	0.9350	-1.03661E-01	1.0637	1.0720	7.27081E-03	0.8453
				50GWD/TON	0.8969	0.8671	-3.84207E-02	0.9215	0.9962	8.14085E-02	0.9192
8	0.85	0.8	8.0	INITIAL	1.0650	1.0058	-5.52877E-02	1.0939	1.1496	4.42553E-02	0.7980
				50GWD/TON	0.9191	0.9197	7.10487E-04	0.9441	1.0541	1.10596E-01	0.8821
9	0.85	0.8	9.0	INITIAL	1.0934	1.0721	-1.81274E-02	1.1229	1.2218	7.21183E-02	0.7557
				50GWD/TON	0.9412	0.9712	3.27635E-02	0.9667	1.1105	1.33958E-01	0.8464
10	0.85	0.9	7.0	INITIAL	1.0456	0.9310	-1.17667E-01	1.0720	1.0710	-8.62181E-04	0.8151
				50GWD/TON	0.9000	0.8507	-6.44360E-02	0.9228	0.9812	6.45313E-02	0.8970
11	0.85	0.9	8.0	INITIAL	1.0727	1.0016	-6.61982E-02	1.0997	1.1486	3.87321E-02	0.7735
				50GWD/TON	0.9214	0.9054	-1.91989E-02	0.9447	1.0418	9.87135E-02	0.8621
12	0.85	0.9	9.0	INITIAL	1.0988	1.0677	-2.64911E-02	1.1263	1.2208	6.87464E-02	0.7358
				50GWD/TON	0.9428	0.9586	1.74599E-02	0.9665	1.1003	1.25817E-01	0.8286
13	0.85	1.0	6.0	INITIAL	1.0308	0.8515	-2.04217E-01	1.0553	0.9866	-6.60136E-02	0.8257
				50GWD/TON	0.8828	0.7756	-1.56611E-01	0.9038	0.9010	-3.49903E-03	0.9091
14	0.85	1.0	7.0	INITIAL	1.0566	0.9269	-1.32496E-01	1.0816	1.0702	-9.86665E-03	0.7855
				50GWD/TON	0.9041	0.8341	-9.27429E-02	0.9255	0.9663	4.56476E-02	0.8748
15	0.85	1.0	8.0	INITIAL	1.0815	0.9972	-7.81942E-02	1.1069	1.1477	3.20858E-02	0.7488
				50GWD/TON	0.9250	0.8906	-4.17566E-02	0.9468	1.0290	8.43951E-02	0.8419
16	0.85	1.0	9.0	INITIAL	1.1056	1.0632	-3.60899E-02	1.1314	1.2198	6.40914E-02	0.7153
				50GWD/TON	0.9460	0.9454	-6.93321E-04	0.9682	1.0894	1.14950E-01	0.8103
17	0.95	0.6	7.0	INITIAL	1.0351	0.9747	-5.98702E-02	1.0599	1.0731	1.16236E-02	0.8977
				50GWD/TON	0.9049	0.9228	2.14615E-02	0.9264	1.0168	9.59326E-02	0.9615
18	0.95	0.6	8.0	INITIAL	1.0706	1.0478	-2.03519E-02	1.0960	1.1510	4.36088E-02	0.8381
				50GWD/TON	0.9285	0.9728	4.89693E-02	0.9505	1.0702	1.17611E-01	0.9197
19	0.95	0.6	9.0	INITIAL	1.1042	1.1161	9.66287E-03	1.1302	1.2235	6.74863E-02	0.7860
				50GWD/TON	0.9526	1.0219	7.12711E-02	0.9750	1.1225	1.34764E-01	0.8792
20	0.95	0.7	7.0	INITIAL	1.0435	0.9705	-7.20340E-02	1.0663	1.0721	5.06449E-03	0.8636
				50GWD/TON	0.9042	0.9051	1.08719E-03	0.9240	1.0012	8.34404E-02	0.9377
21	0.95	0.7	8.0	INITIAL	1.0757	1.0433	-2.88678E-02	1.0991	1.1500	4.02156E-02	0.8114
				50GWD/TON	0.9270	0.9574	3.43208E-02	0.9471	1.0573	1.09960E-01	0.8985
22	0.95	0.7	9.0	INITIAL	1.1065	1.1115	4.06539E-03	1.1304	1.2224	6.66077E-02	0.7652
				50GWD/TON	0.9499	1.0085	6.10863E-02	0.9705	1.1117	1.30881E-01	0.8607
23	0.95	0.8	7.0	INITIAL	1.0529	0.9662	-8.52043E-02	1.0743	1.0712	-2.70253E-03	0.8311
				50GWD/TON	0.9055	0.8873	-2.27518E-02	0.9239	0.9855	6.75564E-02	0.9141
24	0.95	0.8	8.0	INITIAL	1.0823	1.0388	-3.87080E-02	1.1041	1.1490	3.53298E-02	0.7854
				50GWD/TON	0.9275	0.9419	1.64032E-02	0.9463	1.0442	9.90915E-02	0.8773
25	0.95	0.8	9.0	INITIAL	1.1105	1.1068	-3.05933E-03	1.1328	1.2214	6.40661E-02	0.7443
				50GWD/TON	0.9496	0.9948	4.78182E-02	0.9687	1.1008	1.23904E-01	0.8420

NO.	D	V	E	K-EFF			K-INF			CONVERSION	
				BURN-UP	OPERATION	VOID	REACTIVITY	OPERATION	VOID	REACTIVITY	RATIO
26	0.95	0.9	7.0	INITIAL	1.0631	0.9618	-9.90713E-02	1.0833	1.0703	-1.12207E-02	0.8001
				50GWD/TON	0.9083	0.8696	-4.89845E-02	0.9256	0.9699	4.93803E-02	0.8910
27	0.95	0.9	8.0	INITIAL	1.0900	1.0342	-4.95465E-02	1.1106	1.1480	2.93729E-02	0.7599
				50GWD/TON	0.9296	0.9259	-4.28677E-03	0.9472	1.0307	8.55131E-02	0.8564
28	0.95	0.9	9.0	INITIAL	1.1159	1.1019	-1.13853E-02	1.1369	1.2204	6.02466E-02	0.7234
				50GWD/TON	0.9509	0.9808	3.21007E-02	0.9688	1.0897	1.14538E-01	0.8233
29	0.95	1.0	6.0	INITIAL	1.0487	0.8799	-1.82942E-01	1.0676	0.9857	-7.78355E-02	0.8084
				50GWD/TON	0.8910	0.7910	-1.41799E-01	0.9071	0.8882	-2.34346E-02	0.9020
30	0.95	1.0	7.0	INITIAL	1.0743	0.9572	-1.13799E-01	1.0935	1.0695	-2.05472E-02	0.7697
				50GWD/TON	0.9122	0.8516	-7.79428E-02	0.9286	0.9541	2.88496E-02	0.8679
31	0.95	1.0	8.0	INITIAL	1.0989	1.0293	-6.14954E-02	1.1185	1.1472	2.23680E-02	0.7344
				50GWD/TON	0.9330	0.9101	-2.69804E-02	0.9497	1.0175	7.02014E-02	0.8353
32	0.95	1.0	9.0	INITIAL	1.1227	1.0969	-2.09818E-02	1.1426	1.2195	5.52016E-02	0.7021
				50GWD/TON	0.9539	0.9605	1.36671E-02	0.9708	1.0784	1.02716E-01	0.8041
33	1.05	0.6	7.0	INITIAL	1.0485	0.9956	-5.05985E-02	1.0681	1.0743	5.42992E-03	0.8868
				50GWD/TON	0.9101	0.9354	2.96831E-02	0.9271	1.0102	8.86554E-02	0.9596
34	1.05	0.6	8.0	INITIAL	1.0838	1.0698	-1.20136E-02	1.1039	1.1523	3.81039E-02	0.8285
				50GWD/TON	0.9336	0.9863	5.72109E-02	0.9510	1.0637	1.11471E-01	0.9181
35	1.05	0.6	9.0	INITIAL	1.1173	1.1392	1.72607E-02	1.1378	1.2250	6.25750E-02	0.7775
				50GWD/TON	0.9575	1.0364	7.95682E-02	0.9751	1.1164	1.29731E-01	0.8779
36	1.05	0.7	7.0	INITIAL	1.0569	0.9911	-6.27661E-02	1.0752	1.0733	-1.63788E-03	0.8516
				50GWD/TON	0.9092	0.9164	8.71277E-03	0.9250	0.9937	7.47490E-02	0.9348
37	1.05	0.7	8.0	INITIAL	1.0890	1.0651	-2.05624E-02	1.1077	1.1513	3.42105E-02	0.8008
				50GWD/TON	0.9318	0.9696	4.18949E-02	0.9478	1.0498	1.02497E-01	0.8959
38	1.05	0.7	9.0	INITIAL	1.1196	1.1343	1.15989E-02	1.1387	1.2240	6.11889E-02	0.7557
				50GWD/TON	0.9546	1.0219	6.90632E-02	0.9709	1.1049	1.24899E-01	0.8584
39	1.05	0.8	7.0	INITIAL	1.0665	0.9865	-7.59965E-02	1.0838	1.0724	-9.82511E-03	0.8182
				50GWD/TON	0.9104	0.8974	-1.58386E-02	0.9252	0.9771	5.74770E-02	0.9103
40	1.05	0.8	8.0	INITIAL	1.0957	1.0603	-3.04974E-02	1.1134	1.1504	2.88721E-02	0.7738
				50GWD/TON	0.9322	0.9529	2.33936E-02	0.9473	1.0360	9.04638E-02	0.8738
41	1.05	0.8	9.0	INITIAL	1.1237	1.1292	4.35829E-03	1.1417	1.2230	5.81821E-02	0.7338
				50GWD/TON	0.9540	1.0069	5.50671E-02	0.9694	1.0931	1.16713E-01	0.8388
42	1.05	0.9	7.0	INITIAL	1.0774	0.9818	-9.03869E-02	1.0940	1.0716	-1.91000E-02	0.7855
				50GWD/TON	0.9132	0.8782	-4.36430E-02	0.9273	0.9605	3.72887E-02	0.8857
43	1.05	0.9	8.0	INITIAL	1.1040	1.0553	-4.18612E-02	1.1209	1.1495	2.21815E-02	0.7467
				50GWD/TON	0.9344	0.9358	1.63555E-03	0.9487	1.0218	7.54197E-02	0.8514
44	1.05	0.9	9.0	INITIAL	1.1297	1.1240	-4.48895E-03	1.1468	1.2220	5.36368E-02	0.7114
				50GWD/TON	0.9555	0.9919	3.84293E-02	0.9700	1.0813	1.06066E-01	0.8186
45	1.05	1.0	6.0	INITIAL	1.0630	0.8984	-1.72398E-01	1.0787	0.9868	-8.63107E-02	0.7928
				50GWD/TON	0.8958	0.7976	-1.37341E-01	0.9090	0.8780	-3.88422E-02	0.8964
46	1.05	1.0	7.0	INITIAL	1.0884	0.9770	-1.04730E-01	1.1043	1.0708	-2.83383E-02	0.7554
				50GWD/TON	0.9168	0.8596	-7.26948E-02	0.9303	0.9444	1.60370E-02	0.8625
47	1.05	1.0	8.0	INITIAL	1.1128	1.0502	-5.35238E-02	1.1290	1.1486	1.51762E-02	0.7213
				50GWD/TON	0.9375	0.9193	-2.11515E-02	0.9512	1.0083	5.94834E-02	0.8301
48	1.05	1.0	9.0	INITIAL	1.1364	1.1187	-1.38674E-02	1.1528	1.2211	4.85386E-02	0.6900
				50GWD/TON	0.9582	0.9768	1.98183E-02	0.9722	1.0695	9.35926E-02	0.7991